

Азәрбајҹан ССР
Елмләр Академијасы
Академия наук
Азербайджанской ССР

ISSN 0002—3078

МӘРУЗӘДƏР
ДОКЛАДЫ

ЧИЛД

XLV

ТОМ

5

1989

27/11/89

ДАН Азерб. ССР публикует краткие сообщения об оригинальных, никогда не печатанных ранее, результатах научных исследований, представленные академиками АН Азерб. ССР, которые тем самым берут на себя ответственность за научные достоинства представляемой статьи.

В «Докладах» не публикуются крупные статьи, механически разделенные на ряд отдельных сообщений, статьи полемического характера, без новых фактических сообщений, статьи полемического характера, без новых фактических данных, статьи с описанием промежуточных опытов, без определенных выводов и обобщений, чисто методические статьи, если предлагаемый метод не является принципиально новым, а также статьи по систематике растений и животных (за исключением описания особо интересных для науки находок).

Будучи органом срочной информации, журнал «ДАН Азерб. ССР» принимает и отбирает к печати статьи, объем которых допускает их публикацию в установленные решение Президиума АН Азерб. ССР сроки.

В связи со всеми перечисленными ограничениями отклонение статьи редакцией «Доклады АН Азерб. ССР» означает только, что она не согласуется с требованиями и возможностями этого журнала и не исключает ее публикации в других изданиях.

ПРАВИЛА ДЛЯ АВТОРОВ

Редакция журнала «Доклады АН Азерб. ССР» просит авторов руководствоваться приведенными правилами и надеется, что авторы ознакомятся с ними прежде, чем пришлют статьи.

Статьи, присланные без *1989 Доклады АН Азерб. ССР* N5 прини-

маются.

1. Статьи, направляемые СССР или академика АН Аз-

Статьи с просьбой напечатать.

2. Статья публикуется очередной публикации являния приоритета. Для этого 1

3. Как правило, редакции

4. «Доклады» помещаются не распространяется на ч

5. Авторы должны оговаривать также дать индекс статьи, статья прилагается отпечатанной для передачи

6. В конце статьи выполнено исследование, факсимиле номер телефона (служебное)

Кроме того, авторский будет вести переговоры и

7. Возвращение рукописи к печати. После получения редактором статьи, а также дата получения редакции

8. В «Докладах» публикуются (6 страниц машинописи), включая и обозначения «а». Вклейки даются только рисунки (карты, схемы). Текст и графический материал и тех же данных должны быть выполнены четкими фотографиями. Продолжительность должна быть напечатана странице. На обороте рисунков должна быть напечатана страница с именем и номером

(Продолжение)

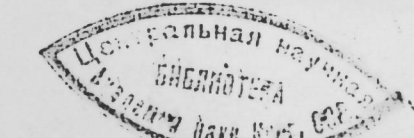
МӘРҮЗӘЛӘР ДОКЛАДЫ

ТАМ XLV ЧИЛД

№ 5

«ЕЛМ» НӘШРИЙАТЫ—ИЗДАТЕЛЬСТВО «ЭЛМ»

БАКЫ — 1989 — БАКУ



Б. А. ИСКЕНДЕРОВ, Л. Ф. МУСТАФАЕВА

ПРИНЦИП ПРЕДЕЛЬНОЙ АМПЛИТУДЫ
ДЛЯ КОРРЕКТНЫХ, ПО И. Г. ПЕТРОВСКОМУ,
УРАВНЕНИЙ

(Представлено академиком АН Азербайджанской ССР Ф. Г. Максудовым)

Принцип предельной амплитуды для гиперболических уравнений изучен в многочисленных работах [1, 2], более подробно можно найти в [3].

В работе [4] показана разрешимость смешанной задачи для корректных, по И. Г. Петровскому, систем уравнений с постоянными коэффициентами в четверти пространства. Поведение решения краевой задачи для корректных, по И. Г. Петровскому, уравнений при $t \rightarrow +\infty$ в многомерном пространстве изучено в [5]. В [6] обоснован принцип предельной амплитуды для корректных, по И. Г. Петровскому, уравнений высокого порядка в четверти пространства.

В данной работе рассмотрена смешанная задача для корректных, по И. Г. Петровскому, уравнений высокого порядка с переменными коэффициентами в четверти плоскости и изучено поведение решения этой задачи при больших значениях времени. Получено разложение решения смешанной задачи, из чего, в частности, при конечном числе условий ортогональности на правую часть следует принцип предельной амплитуды.

Обозначим через R_2 двумерное евклидово пространство $R_2^+ = \{(t, x) : (t, x) \in R_2, t > 0, x > 0\}$, $R_1^+ = \{x : x \in R_1, x > 0\}$. Рассмотрим в R_2^+ смешанную задачу для корректного, по И. Г. Петровскому, уравнения

$$L\left(\frac{\partial}{\partial t}, \frac{\partial}{\partial x}\right)u(t, x) + T\left(x, \frac{\partial}{\partial t}, \frac{\partial}{\partial x}\right)u(t, x) = f(x) e^{i\omega t} \quad (1)$$

с начальными

$$u(0, x) = 0, \quad \frac{\partial u(0, x)}{\partial t} = 0, \dots, \quad \frac{\partial^m u(0, x)}{\partial t^{m-1}} = 0 \quad (2)$$

и граничными условиями

$$u(t, 0) = 0, \quad \frac{\partial u(t, 0)}{\partial x} = 0, \dots, \quad \frac{\partial^{r-1} u(t, 0)}{\partial x^{r-1}} = 0, \quad (3)$$

где $L(p, \xi)$ — полином степени m по p и степени l по ξ с вещественными коэффициентами, $\omega \neq 0$ — вещественное число. $T\left(x, \frac{\partial}{\partial t}, \frac{\partial}{\partial x}\right)$ — дифференциальный оператор по $\frac{\partial}{\partial t}$ порядка меньше $m-1$ и по $\frac{\partial}{\partial x}$ порядка меньше $l-1$.

РЕДАКЦИОННАЯ КОЛЛЕГИЯ:

Э. Ю. Салаев (главный редактор), Г. Б. Абдуллаев, М. Т. Абасов,
В. С. Алиев, Г. А. Алиев, Дж. А. Алиев, И. Г. Алиев, Дж. Б. Гулиев,
Н. А. Гулиев, М. З. Джазаров, Ф. Г. Максудов, А. А. Надиров,
Ю. М. Сенцов (зам. главного редактора), М. А. Усейнов,
Г. Г. Зейналов (ответств. секретарь).

© Издательство «Элм», 1989 г.

с финитными бесконечно дифференцируемыми коэффициентами, $f(x)$ — принадлежащая $L_2(R_1^+)$ финитная, достаточно гладкая функция, а число $r \leq m-1$ определено ниже.

Через $L_{2,\psi}(R_1^+)$ будем обозначать пространство функций $F(x)$, для которых $\psi(x) F(x) \in L_2(R_1^+)$, где $\psi(x) = e^{-\epsilon|x|}$, $\epsilon > 0$ — малое число.

Определение. Уравнение (1) называется корректным, по И. Г. Петровскому, если p — корни уравнения

$$L(p, i\xi) = 0$$

при всех вещественных ξ удовлетворяют неравенствам

$$\operatorname{Re} p_j(\xi) \leq C,$$

где $j=1, 2, \dots, l$. Мы будем полагать $C=0$.

Лемма. При $\operatorname{Re} p > 0$ λ -корни уравнения

$$L(p, \lambda) = 0$$

распадаются на две группы:

$$\begin{aligned} \operatorname{Re} \lambda_1(p) &< 0, \quad \operatorname{Re} \lambda_2(p) < 0, \dots, \operatorname{Re} \lambda_r(p) < 0, \\ \operatorname{Re} \lambda_{r+1}(p) &> 0, \quad \operatorname{Re} \lambda_{r+2}(p) > 0, \dots, \operatorname{Re} \lambda_m(p) > 0, \end{aligned}$$

плечем число r не зависит от p .

В условии (3) число r равно числу λ -корней уравнения с отрицательными вещественными частями. Через $H^s(R_1^+)$ обозначим пространство Соболева—Слободецкого, состоящее из функций $u(x)$, определенных в R_1^+ преобразование Фурье которых является локально интегрируемой функцией $\tilde{u}(\xi)$ такой, что

$$\|u\|_{H^s(R_1^+)}^2 = \int_{-\infty}^{\infty} (1 + |\xi|^2)^s |\tilde{u}(\xi)|^2 d\xi < +\infty$$

Совершив в (1)–(3) преобразование Лапласа по t , получим следующую задачу

$$L\left(p, \frac{\partial}{dx}\right) \hat{u}(p, x) + T\left(x, p, \frac{d}{dx}\right) \hat{u}(p, x) = \frac{f(x)}{p - i\omega} \quad (5)$$

$$\hat{u}(p, 0) = 0, \quad \frac{d\hat{u}(p, 0)}{dx} = 0, \dots, \quad \frac{d^{r-1}\hat{u}(p, 0)}{dx^{r-1}} = 0. \quad (6)$$

Нами в [6] доказано, что при $\operatorname{Re} p > 0$ для принадлежащего $L_2(R_1^+)$ решения задачи (5)–(6), когда $T\left(x, \frac{\partial}{dt}, \frac{\partial}{dx}\right) = 0$ имеет место формула

$$\hat{u}_1(p, x) = L^{-1}(p) f(x) = \int_0^\infty G(p, x, \eta) f(\eta) d\eta.$$

где функция Грина этой задачи определяется следующим образом

$$G(p, x, \eta) = \begin{cases} G_1 = \sum_{i=1}^r \frac{1}{\prod_{j=1}^i (\lambda_j(p) - \lambda_i(p))} \sum_{j=i+1}^m \frac{e^{\lambda_i(p)x - \lambda_j(p)\eta}}{\prod_{\mu=i+1}^j (\lambda_\mu(p) - \lambda_i(p))} & \text{при } x > \eta \\ G_2 = - \sum_{j=r+1}^m \frac{1}{\prod_{\mu=r+1}^j (\lambda_\mu(p) - \lambda_i(p))} \sum_{i=1}^r \frac{e^{\lambda_i(p)x - \lambda_j(p)\eta}}{\prod_{v=j+1}^i (\lambda_v(p) - \lambda_i(p))} & \text{при } x < \eta \end{cases}$$

здесь $\lambda_j(p)$ — корни уравнения (4), а штрих у знака произведения означает, что множители с одинаковыми индексами отсутствуют.

Из леммы 1 следует, что корни уравнения $L(1, \alpha)$ вещественны и

$$\alpha_1 < \alpha_2 < \dots < \alpha_r < 0, \quad \alpha_{r+1} > \alpha_{r+2} > \dots > \alpha > 0.$$

Приведем лемму, которая необходима в дальнейшем.

Лемма 2. а) Функция Грина $G(p, x, \eta)$ голоморфна по p в полу-плоскости $\operatorname{Re} p > 0$ и в этой полу-плоскости для нее имеет место оценка

$$\left| \frac{\partial^l G(p, x, \eta)}{\partial x^l} \right| \leq \frac{C}{1 + |p|^{k(m-1-l)}} e^{\operatorname{Re} p k (\alpha_r (x - \alpha_m \eta))}, \quad x \neq \eta \quad (7)$$

б) Функция $G(p, x, \eta)$ аналитически продолжается в полу-плоскость $\operatorname{Re} p < 0$ и в этой полу-плоскости для нее справедлива

$$\left| \frac{\partial^l G(p, x, \eta)}{\partial x^l} \right| \leq \frac{C_l}{1 + |p|^{k(m-1-l)}} e^{\operatorname{Re} p k (\alpha_l x - \alpha_{l+1} \eta)}$$

в)

$$\frac{\partial^l G(p, 0, \eta)}{\partial x^l} = 0, \quad \eta > 0, \quad l \leq r-1$$

при всех p , здесь C_l — постоянная.

Отметим, что точка $p=0$ является устранимой особой точкой для функции $G(p, x, \eta)$.

Так же, как в [7] (стр. 546), можно показать, что формула

$$\hat{u}(p, x) = L^{-1}(p) V(p, x)$$

при каждом p ($\operatorname{Re} p > 0$) устанавливает взаимно однозначное соответствие между принадлежащими $H^m(R_1^+)$ решениями задачи (5)–(6) и принадлежащими $L_2(R_1^+)$ решениями уравнения

$$V(p, x) + A(p) V(p, x) = \frac{f(x)}{p - i\omega}, \quad (10)$$

где $A(p) = T\left(x, p, \frac{\partial}{dx}\right) L^{-1}(p)$ — есть вполне непрерывный оператор, аналитически зависящий от параметра p и действующий из пространства $L_2(R_1^+)$ в себя. В силу леммы 2 оператор $L^{-1}(p)$, следовательно, и $A(p)$ допускают аналитическое продолжение в область $\operatorname{Re} p < 0$. В этой области $A(p)$ является вполне непрерывным оператором в пространстве $L_{2,\psi}(R_1^+)$. Так как $T(x, \frac{\partial}{dt}, \frac{\partial}{dx})$ есть дифференциальный оператор порядка меньше $m-1$, то из (7) следует, что при достаточно больших положительных p

$$\|A(p)\| < \epsilon.$$

Поэтому для таких p резольвента $R(p) = (I + A(p))^{-1}$ уравнения (10) существует. В силу аналитической теоремы Фредгольма $R(p)$ в области $\operatorname{Re} p > -\beta$, ($\beta > 0$) является оператором, конечно мероморфно зависящим от параметра p . Так как полюсов $R(p)$ в этой области конечное число, то можно выбрать число $\delta < \beta$ такое, чтобы на прямой $\operatorname{Re} p = -\delta$ резольвента не имела полюсов.

Лемма 3. Для решения краевой задачи (5)–(6) при $\operatorname{Re} p = -\delta$ имеет место оценка

$$\|\hat{u}(p, x)\|_{L_{2,q}(R_1^+)} \leq \frac{c}{1+|p|^m} \|f(x)\|_{L_q(R_1^+)}$$

Пусть s_i , ($i = 1, 2, \dots, n$) — полюсы порядка q_i , резасьвенты $R(p)$, расположенные в полуплоскости $\operatorname{Re} p > -\delta$, и первые k из них расположены в полуплоскости $\operatorname{Re} p > -\delta$. Тогда для $R(p)$ имеет место разложение

$$R(p) = \sum_{j=1}^n \sum_{v=1}^{q_j} \frac{B_{vj}}{(p-s_j)^{q_j}} + D(p),$$

где B_{vj} — конечномерные операторы, $D(p)$ — регулярная оператор-функция от p .

Рассмотрим два случая: а) точка $i\omega$ отлична от полюсов резольвенты $R(p)$, лежащих на мнимой оси, б) точка $i\omega$ совпадает с одним из этих полюсов, например, $s_1 = i\omega$.

ТЕОРЕМА 1. Пусть имеет место а) и $m \geq 2$. Тогда при $t > 0$ для решения задачи (1)–(3) справедливо разложение

$$\begin{aligned} u(t, x) = & \hat{u}(i\omega, x) e^{i\omega t} + \sum_{j=1}^n \frac{1}{(q_j-1)!} \frac{d^{q_j-1}}{dp^{q_j-1}} \sum_{v=1}^{q_j} (p-s_j)^{q_j-v} \times \\ & \times \left. \frac{e^{pt} L^{-1}(p)}{p-i\omega} B_{vj} f(x) \right|_{p=s_j} + W(t, x), \end{aligned}$$

где для $W(t, x)$ имеет место следующая оценка

$$\|W(t, x)\| \leq C e^{-\delta t} \|f(x)\|_{L_q(R_1^+)}. \quad (13)$$

Из этой теоремы следует

ТЕОРЕМА 2. Пусть выполнены условия теоремы 1 и $f(x)$ удовлетворяет конечному числу условий типа ортогональности. Тогда при $t \rightarrow +\infty$ для задачи (1)–(3) имеет место принцип предельной амплитуды, т. е.

$$u(t, x) = \hat{u}(i\omega, x) e^{i\omega t} + U(t, x),$$

$$\|U(t, x)\|_{L_{2,q}(R_1^+)} \leq C e^{-\gamma t}.$$

Здесь $0 < \gamma \leq \delta$.

ТЕОРЕМА 3. Пусть имеет место случай б) и $m \geq 2$. Тогда при $t \rightarrow +\infty$ для решения задачи (1)–(3) справедливо разложение

$$\begin{aligned} u(t, x) = & \frac{1}{q_1!} \frac{d^{q_1}}{dp^{q_1}} \sum_{v=1}^{q_1+1} (p-s_1)^{q_1+1-v} e^{pt} L^{-1}(p) B_{1v} f(x) \Big|_{p=s_1} + \\ & + \sum_{j=2}^n \frac{1}{(q_j-1)!} \frac{d^{q_j-1}}{dp^{q_j-1}} \sum_{v=1}^{q_j} (p-s_j)^{q_j-v} e^{pt} \frac{L^{-1}(p)}{p-s_1} B_{vj} f(x) \Big|_{p=s_j} + \\ & + e^{i\omega t} L^{-1}(i\omega) D(i\omega) f(x) + W(t, x), \end{aligned}$$

где для $W(t, x)$ удовлетворяется оценка (13).

Литература

1. Гасымов М. Г., Искендеров Б. А. — Докл. АН СССР, т. 220, № 5, 1975, 1012—1014.
2. Искендеров Б. А. — Докл. АН АзССР, 1982, т. 38, № 5, 17—21.
3. Вайнберг Б. Р., Манделштам Л. А. — Квантовая механика. Том 1. М.: Наука, 1962.

б) берг Б. Р. Асимптотические методы в уравнениях математической физики. — М.: Изд-во МГУ, 1982. 4. Зарницкая И. В., Селезнева Ф. Г., Эйдельман С. Д. — Сибирский матем. ж., 15, № 2, 1974. 5. Искендеров Б. А., Мустафаева Л. Ф. — Деп. в ВИНИТИ 10. XII. 1987, № 8625 — В87. 6. Мустафаева Л. Ф. — Изв. АН АзССР, серия ФТ и МН, 1988, № 1. 7. Вайнберг Б. Р. — Матем. сб., т. 78, № 4, 542—578, 1969. 8. Лионс Ж. — Л., Мандженес Э. Неоднородные граничные задачи и их приложения. — М.: Мир, 1971.

Институт математики и механики
АН АзССР

Б. А. Искендеров, Л. Ф. Мустафаева

Поступило 28.IX 1988

ПЕТРОВСКИЙ КЕРЭ ҚОРРЕКТ ТӘНЛИК ҮЧҮН ЛИМИТ АМПЛИТУДУ ПРИНСИПИ

Мәгалаада дөрддә бир мүстәвидә Петровский көрэ коррект, јүксәк тәртибли, дәйишилән эмсаллы тәнлик үчүн гоулумыш гарышыг мәсәләнин һәлли үчүн лимит амплитуду принципи исбат едилемишдир.

Б. А. Izkenderov, L. F. Mustafaeva

THE LIMIT AMPLITUDE PRINCIPLE FOR THE CORRECT BY PETROVSKY EQUATIONS

In this paper the limit amplitude principle is proved for the mixed problem for the correct by Petrovsky equations of high order with variable coefficients in quarter of plane.

А. А. САЛИМОВ

ОБОБЩЕННЫЙ ОПЕРАТОР ТАТИБАНЫ И ЕГО СВОЙСТВА

(Представлено академиком АН Азербайджанской ССР Ф. Г. Максудовым)

1. Пусть $\Pi = \{\varphi_{ij}\}$ ($i, j, \dots = 1, \dots, n$)—полиаффирорная структура на дифференцируемом многообразии M_n класса C^r , которая изоморфно представляет некоторую ассоциативную коммутативную уникальную алгебру A_m . Предположим, что алгебра A_m допускает сопряжение $\psi: a \rightarrow \bar{a}$, т. е. такой автоморфизм, что $\psi^2 = id$. Переход к сопряженному элементу как в A_m , так и в ее представлении обозначается чертой. Если в координатной окрестности каждой точки M_n существуют такие голономные координаты, в которых все аффиноры Π -структурь имеют постоянные компоненты, то такую структуру называют интегрируемой. Π -структура называется почти интегрируемой [1], если в координатной окрестности каждой точки существует связность без кручения, в которой все аффиноры структуры ковариантно постоянны.

2. Пусть дан тензор типа (r, s) на M_n , и его индексы (как верхние, так и нижние) разбиты на две серии, причем индексы первой серии не начеркиваются, а второй—начеркиваются: $t^{i_1 \dots i_p \bar{i}_{p+1} \dots \bar{i}_r}_{j_1 \dots j_q \bar{j}_{q+1} \dots \bar{j}_s}$ (конечно, неначеркнутые индексы могут стоять и вперемежку с начеркнутыми). Этот тензор называется гибридным [2 с. 121], если свертка тензора t по каждому из индексов первой группы с произвольным аффинором $\varphi \in \Pi$ и по каждому из индексов второй группы с сопряженным аффинором $\bar{\varphi} = \psi(\varphi)$ дает один и тот же результат;

$$\begin{aligned} t^{i_1 \dots i_p \bar{i}_{p+1} \dots \bar{i}_r}_{(j)} \varphi^i_m &= \dots = t^{(j)}_{j_1 \dots j_q \bar{j}_{q+1} \dots \bar{j}_s} \varphi^m_q = \dots \\ &\dots = t^{i_1 \dots i_p \bar{m} \dots \bar{i}_r}_{(j)} \bar{\varphi}^m_{\bar{i}} &= \dots = t^{(j)}_{j_1 \dots j_q \bar{j}_{q+1} \dots \bar{j}_s} \bar{\varphi}^m_{\bar{i}} = t^{(j)}_{\bar{i}} \end{aligned} \quad (1)$$

Рассмотренные в работах [1, 3, 4] чистые тензоры можно считать частным случаем гибридных, когда сопряжение ψ есть тождество.

На множестве всех гибридных тензоров типа (r, s) многообразия M_n определяем операторы, связанные с каждым аффинором Π -структурь, в виде

$$S_k t^{(j)}_{(j)} = \frac{1}{2} (\Phi_k t^{(j)}_{(j)} + \bar{\Phi}_k t^{(j)}_{(j)}), \quad (2)$$

где

$$\begin{aligned} \Phi_k t^{(j)}_{(j)} &= \varphi^m_k \partial_m t^{(j)}_{(j)} - \partial_k t^{(j)}_{(j)} + \sum_{\mu=1}^s (\partial_{j_\mu} \varphi^m_k) t^{(j)}_{j_1 \dots j_m \dots \bar{j}_s} + \\ &+ \sum_{\lambda=1}^r (\partial_k \varphi^l_\lambda) d_m \varphi^l_\lambda t^{(j)}_{j_1 \dots j_m \dots \bar{i}_r}, \end{aligned}$$

8

 Φ —аналогичный оператор для сопряженного аффинора.

Имеет место

Теорема 1. Оператор (2) определяет тензор типа $(r, s+1)$.Заменяя в (1) частные производные тензоров φ^i_j , $t^{(j)}_{(j)}$ их ковариантными производными, получим

$$\begin{aligned} 2S_k t^{(j)}_{(j)} &= \varphi^m_k \nabla_m t^{(j)}_{(j)} - \nabla_k t^{(j)}_{(j)} + \bar{\varphi}^m_k \nabla_m t^{(j)}_{(j)} - \nabla_k \bar{t}^{(j)}_{(j)} + \\ &+ 2 \sum_{\lambda=1}^r (\nabla_{[k} \varphi^l_{\lambda]} + Q^l_{mr} \varphi^r_k - Q^r_{mk} \varphi^l_r) t^{l_1 \dots l_m \dots \bar{i}_r}_{j_1 \dots j_q \bar{j}_{q+1} \dots \bar{j}_s} + \\ &+ \sum_{\mu=1}^s [\nabla_m \varphi^m_k + 2(Q^m_{rj_\mu} \varphi^r_k - Q^r_{kj_\mu} \varphi^m_k)] t^{l_1 \dots l_p \bar{l}_{p+1} \dots \bar{i}_r}_{j_1 \dots j_m \dots \bar{j}_s} + \\ &+ 2 \sum_{\lambda=1}^r [\nabla_{[k} \bar{\varphi}^l_{\lambda]} + Q^l_{mr} \bar{\varphi}^r_k - Q^r_{mk} \bar{\varphi}^l_r] t^{l_1 \dots l_m \dots \bar{i}_r}_{j_1 \dots j_q \bar{j}_{q+1} \dots \bar{j}_s} + \\ &+ \sum_{\mu=1}^s [\nabla_{j_\mu} \bar{\varphi}^m_k + 2(Q^m_{rj_\mu} \bar{\varphi}^r_k - Q^r_{kj_\mu} \bar{\varphi}^m_k)] t^{l_1 \dots l_p \bar{l}_{p+1} \dots \bar{i}_r}_{j_1 \dots j_m \dots \bar{j}_s} + \\ &+ \sum_{\lambda=1}^r \Gamma_{kl}^{\lambda} (t^{l_1 \dots l_m \dots \bar{i}_r}_{(j)} - \varphi^l_m t^{l_1 \dots l_m \dots \bar{i}_r}_{(j)}) + \sum_{\mu=1}^s \Gamma_{kj_\mu}^l (\varphi^m_l t^{(j)}_{j_1 \dots j_m \dots \bar{j}_s} - \\ &- t^{(j)}_{j_1 \dots j_m \dots \bar{j}_s}) + \sum_{\lambda=1}^r \Gamma_{kl}^{\lambda} (\bar{t}^{l_1 \dots l_m \dots \bar{i}_r}_{(j)} - \bar{\varphi}^l_m t^{l_1 \dots l_m \dots \bar{i}_r}_{(j)}) + \\ &+ \sum_{\mu=1}^s \Gamma_{kj_\mu}^l (\bar{\varphi}^m_l t^{(j)}_{j_1 \dots j_m \dots \bar{j}_s} - t^{(j)}_{j_1 \dots j_m \dots \bar{j}_s}), \end{aligned} \quad (3)$$

где Γ_{ij}^k —коэффициенты аффинной связности, Q_{ij}^k —тензор кручения связности, ∇ —символ ковариантного производного в аффинной связности.

Доказательство теоремы следует из (1) и (3).

В частности, если $\psi = id$, то $S_k t^{(j)}_{(j)} = \Phi_k t^{(j)}_{(j)}$, т. е. для чистых тензоров-операторы S и Φ совпадают.Оператор Φ для чистых тензоров впервые был введен в работе Татибана [3] (см. также [5]) и некоторые его свойства изучались в работах [1, 4, 6]. Исходя из этих фактов, оператор S , который применяется к гибридному тензору, будем называть обобщенным оператором Татибаны.Пусть Π -структура почти интегрируема. Из (3) видно, что в этом случае S -оператор приводится к виду

$$S_k t^{(j)}_{(j)} = \frac{1}{2} [\varphi^m_k \nabla_m t^{(j)}_{(j)} + \bar{\varphi}^m_k \nabla_m t^{(j)}_{(j)} - \nabla_k t^{(j)}_{(j)} - \nabla_k \bar{t}^{(j)}_{(j)}], \quad (4)$$

Если Π -структура интегрируема, тогда S -оператор в адаптированных локальных координатах имеет вид

$$S_k t^{(j)}_{(j)} = \frac{1}{2} [\varphi^m_k \partial_m t^{(j)}_{(j)} + \bar{\varphi}^m_k \partial_m t^{(j)}_{(j)} - \varphi^l_m \partial_k t^{(j)}_{(j)} - \bar{\varphi}^l_m \partial_k t^{(j)}_{(j)}].$$

3. Пусть интегрируемая фробениусовская Π -структура на M_n ($n=mr$) является r -регулярной, т. е. структурные аффиноры, соответствующие базисным единицам e_α алгебры A_m , в адаптированных координатах имеют вид $\varphi^i_j = \delta_\alpha^\beta C_{\alpha\beta}^i$, где δ_α^β —символ Кронекера, $C_{\alpha\beta}^i$ —структурные константы алгебры

A_m , $\alpha, \beta, \sigma = 1, \dots, m$; $u, v = 1, \dots, r$. Известно [2, с. 75], что интегрируемая r -регулярная П-структура вносит в многообразие M_n строение A -многообразие $X_r(A)$ и гибридный тензор $t_{j_1 \dots j_q j_{q+1} \dots j_r}^{u_1 \dots u_p \bar{u}_{p+1} \dots \bar{u}_r}$ вещественно реализует эрмитов тензор $t_{v_1 \dots v_q \bar{v}_{q+1} \dots \bar{v}_s}^{u_1 \dots u_p \bar{u}_{p+1} \dots \bar{u}_r} = t_{v_1 \dots v_s}^{u_1 \dots u_r} c_u$ из A -многообразия.

Эрмитов тензор $t_{(v)}^{(u)}$ будем называть ψ -голоморфным, если

$$C_{\alpha\gamma}^0 \partial_{w0} t_{(v)}^{(u)} + C_{\alpha\gamma}^0 \partial_{w1} t_{(v)}^{(u)} - C_{\alpha0}^0 \partial_{w1} t_{(v)}^{(u)} - C_{\alpha0}^0 \partial_{w\gamma} t_{(v)}^{(u)} = 0, \quad (5)$$

где $C_{\alpha\beta}^0 = C_{\alpha\beta}^0 \psi_\alpha^\beta$. В частности, если сопряжение ψ -тождество, то условия (5) являются условиями Шефферса для голоморфности $t_{(v)}^{(u)}$.

Роль оператора S определяется следующим предложением

Теорема 2. Пусть на M_n задана интегрируемая r -регулярная фробениусская П-структура. Для того, чтобы гибридный тензор $t_{(j)}^{(i)}$ порождал в A -многообразии ψ -голоморфный тензор $t_{(v)}^{(u)}$ необходимо и достаточно, чтобы

$$\sum_a S_a t_{(j)}^{(i)} = 0, \quad a = 1, \dots, m.$$

Отметим, что частный случай этой теоремы в предположении, что $t_{(i)}^{(i)}$ — чистый тензор, имеется в [1].

В случае неинтегрируемой П-структуры гибридные тензоры на M_n удовлетворяющие условиям (6), называются почти ψ -голоморфными. Ясно, что почти ψ -голоморфные тензоры являются обобщениями почти голоморфных тензоров (см. [3], [4], [7]).

Замечание. В частности, если A_m ($m=2$) является комплексной алгеброй, то из (2) видно, что условия (6) тождественно выполняются, т. е. гибридные тензоры относительно почти комплексной структуры всегда являются почти ψ -голоморфными.

4. Пусть на многообразии M_n , снабженном неинтегрируемой П-структурой, задана гибридная риманова метрика (A — эрмитовая метрика). Тензор A -эрмитовой метрики g_{ij} называется почти полуголоморфным, если $\Phi_j g_{it} + \sum_a \overline{\Phi_t} g_{ai} = 0$, $a = 1, \dots, m$ [8], которые эквивалентны условиям почти интегрируемости структуры. Из (4) видно, что имеет место

Теорема 3. Если тензор A -эрмитовой метрики является почти полуголоморфным, то он будет и почти ψ -голоморфным.

Можно проверить, что справедливы следующие равенства:

$$\nabla_i (\sum_a \overline{\Phi_j} g_{ai}) = g^{kt} (S_j g_{it} + S_i g_{jt}), \quad a = 1, \dots, m. \quad (7)$$

В частности, если $\psi = id$, то из (7) получим, что чистый тензор g_{ij} является почти голоморфным тогда и только тогда, когда П-структура почти интегрируема в римановой связности [7].

5. Автор выражает глубокую благодарность В. В. Вишневскому за ценные обсуждения.

Литература

- Круцкович Г. И. В сб.: Труды семин. по векторн. и тензорн. анализу.—М., 1972, вып. 16, с. 174—201.
- Вишневский В. В., Широков А. П., Шурыгин В. В.

Пространства над алгебрами.—Казань, 1985, —262 с. 3. Tachibana S.—Tohoku Math. J., 1960, v. 12, № 2, p. 208—221. 4. Широков А. П.—Уч. зап. Казанск. ун-та, 1966, т. 126, № 1, с. 81—89. 5. Tachibana S., Koto S.—Tohoku Math. J., 1962, v. 14, p. 177—186. 6. Yaro K., Ako M.—Kodai Math. Semin. Repts., 1968, v. 20, 4, p. 414—436. 7. Салимов А. А. В сб.: Труды геом. семин.—Казань, 1983, вып. 15, с. 72—78. 8. Салимов А. А.—Изв. вузов. матем., 1985, № 12, с. 70—71.

Азербайджанский государственный университет им. С. М. Кирова

Поступило 30. V 1988

A. A. Salimov

THE TACHIBANA GENERALIZED OPERATOR AND ITS PROPERTIES

We introduce the generalized Tachibana operator for hybrid tensors on differentiable submanifolds, and with the aid of it we investigate the properties of almost ψ -holomorphic tensors.

ФИЗИКА ПОЛУПРОВОДНИКОВ

С. Г. ИБРАГИМОВ, Г. Д. СУЛТАНОВ, Н. Г. ГУСЕИНОВ, А. С. ШУКЮРОВ

МЕТАЛЛОГРАФИЧЕСКИЙ И РЕНТГЕНОВСКИЙ АНАЛИЗЫ
КОБАЛТГАЛИЕВЫХ ШПИНЕЛЕЙ $\text{CoGa}_{1,9}\text{Fe}_{0,1}\text{O}_4$ и $\text{CoGa}_{1,4}\text{Fe}_{0,6}\text{O}_4$

(Представлено академиком АН Азербайджанской ССР Г. Б. Абдуллаевым)

Как известно, выбор оптимальных условий ферритизации зависит от типа замещающего иона, его ионного радиуса, требуемой плотности образца, и, безусловно, он должен обеспечить однофазность состава. В технологической части работы особое внимание было обращено на контроль однофазности полученных ферритов. Для этой цели использовались традиционные методы исследования — металлографический и рентгеновский.

1. Металлографический анализ

Металлографический анализ дает возможность исследовать разнообразие микроструктур, проследить за уменьшением пористости, ростом зерен, образованием основной фазы, тем самым определить условия синтеза ферритов.

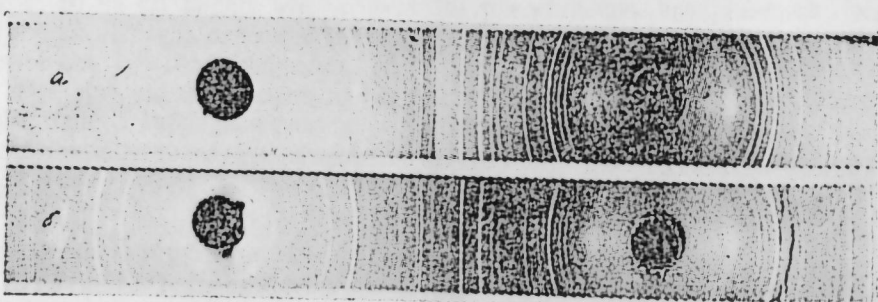


Рис. 1. Микрофотография шлифа феррита $\text{CoGa}_{1,4}\text{Fe}_{0,6}\text{O}_4$ (б); а — калибровочная линейка

В данной работе исследовались образцы кобальтгалиевых шпинелей, полученные по металлокристаллической технологии ($T=1150^\circ$, $t=360$ ч). Цель исследования — определение однородности ферритов, изготовленных по данной технологии. Шлифы изготавливались с использованием алмазных и притирочных паст. Как было выяснено, указанный технологический режим не обеспечил высокую плотность образца. Высокая плотность является необходимым условием для получения исчерпывающей информации о микроструктуре образца. Как было выяснено, только длительный и высокотемпературный отжиг 1250° (15 ч.) позволил получить образцы с высокой плотностью ($\rho \sim 0,9\rho_{\text{реи}}$).

Для выявления микроструктуры шлиф подвергался отжигу при температуре окончательного спекания, т. е. при $T=1250^\circ$ в течение

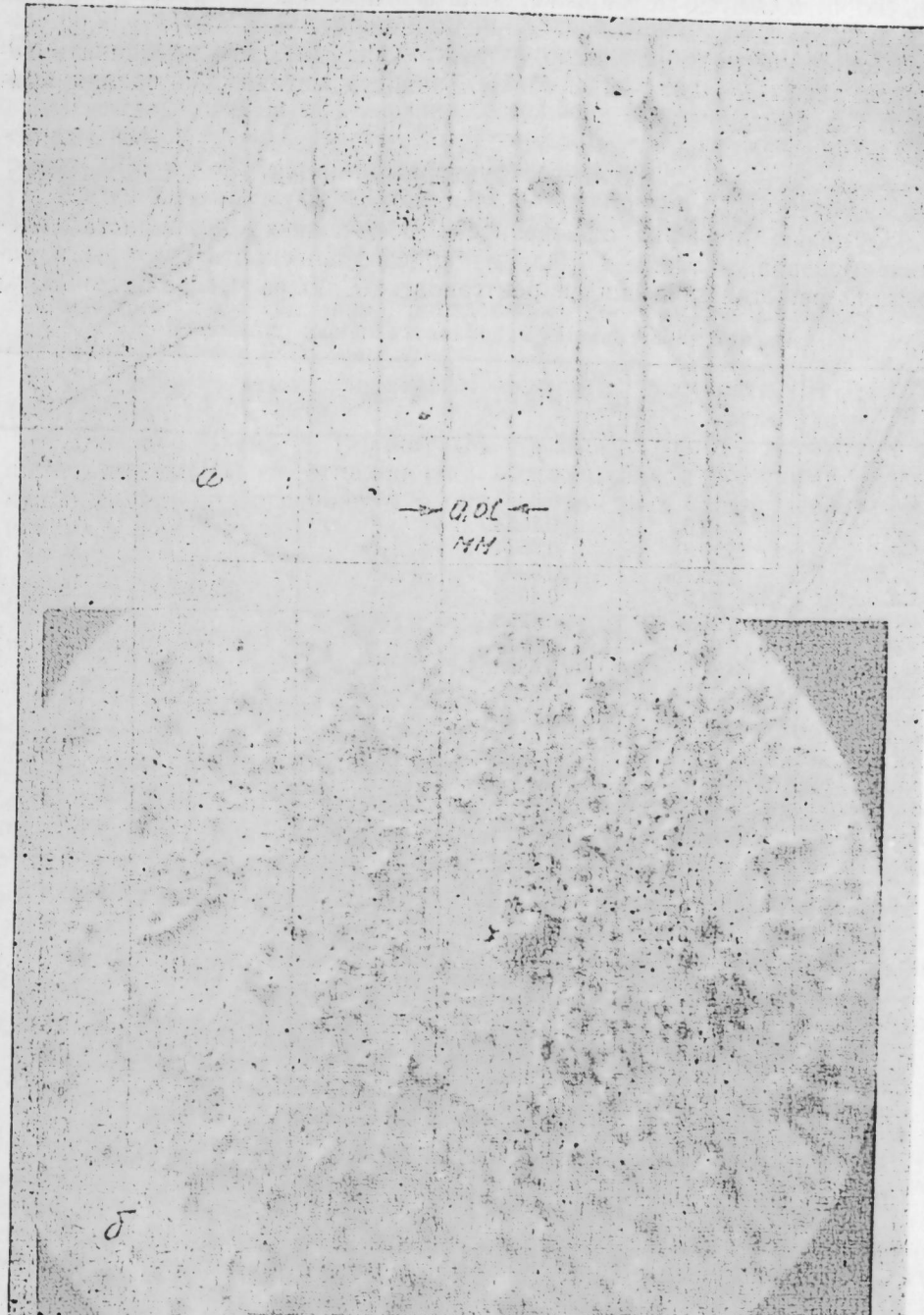


Рис. 2. Дебаеграмма кобальт-галиевых шпинелей (300°): а — $\text{CoGa}_{1,4}\text{Fe}_{0,6}\text{O}_4$; б — $\text{CoGa}_{1,9}\text{Fe}_{0,1}\text{O}_4$

20—30 мин. Исследования проводились на металлографическом микроскопе типа МИМ-8М. В качестве иллюстрации на рис. 1 приведена

микрофотография шлифа обрэзца $\text{CoGa}_{1.4}\text{Fe}_{0.6}\text{O}_4$. Отчетливо видны зерна (светлые) одной основной фазы. Примесных фаз, зерна которых обычно отличаются по окраске, рельефу поверхности либо по форме зерна, в исследуемом образце не обнаружено.

Используя колибровочную линейку (рис. 1а), можно оценить величину зерна ($\sim 0,001\text{--}0,03 \text{ ММ}$). Точность метода для оценки примесных фаз не более 5%.

2. Рентгеноструктурный анализ

С целью проверки однофазности полученных поликристаллических образцов, а также выявления кристаллической структуры и параметра решетки применялся рентгеновский, более чувствительный по

Расчет дебаеграмм для кобальтгалиевых шпинелей

<i>J</i>	θ°	$\sin \theta$	α или β	<i>hkl</i> Fe_3O_4	<i>a</i> , Å
О. сл.	12,1	0,2096	α	(111)	
Сл.	17,8	0,3057	β_3		
Ср.	19,6	0,3354	σ	(220)	
Ср.	210	0,3584	β_4		
О. с.	23,15	0,3923	α	(311)	
Сл.	24,2	0,4099	α	(222)	
Ср.	25,2	0,4258	β_8		
О. сл.	28,1	0,4710	α	.400)	
Сл.	31,5	0,5225	β_{11}		
Ср.	33,5	0,5519	β_{13}		
Ср.	35,0	0,5736	α	(422)	8,28
О. с.	37	0,6018	β_{14}		
О. с.	37,5	0,6088	α	(511)	8,26
О. сл.	41,5	0,6626	α	(440)	
О. сл.	42,0	0,6691	β_{18}		
О. сл.	44,0	0,6743			
Сл.	44,8	0,6794	β_{10}		
Ср.	47,6	4,73846	α	(620)	8,29
Сл.	50,0	0,7660	α	(533)	
О. сл.	50,8	0,7749			
Сл.	52,3	0,7912	β_{25}		
Сл.	53,85	0,8069	β_{26}	+ (444)	
Сл.	54,1	0,8100			
С.	57,5	0,8434	β_{28}		
С.	60,5	0,8704	α	(642)	8,33
Сл.	63,35	0,3934	α	(553)	8,32
Ср.	65,8	0,9121	α	(800)	8,33
О. сл.	68,4	0,9298	α		
	70,5	0,9426			

Примечание. Межплоскостные расстояния взяты из [1].

сравнению с металлографическим, метод. Для этого использовался УРС-60. Дебаеграммы (рис. 2) были сняты в нефильтрованном Fe-излучении при 293 К. Исследования проводились на образцах двух составов: $\text{CoGa}_{1.4}\text{Fe}_{1.6}\text{O}_4$ и $\text{CoGa}_{1.9}\text{Fe}_{1.1}\text{O}_4$. Результаты расшифровки дебаеграммы феррита $\text{CoGa}_{1.4}\text{Fe}_{1.6}\text{O}_4$ приведены в таблице. Для сравнения там же приведены индексы *h k e* для Fe_3O_4 (по предположению структура синтезированных составов идентична Fe_3O_4). Как видно из рис. 2, дебаеграммы исследуемых составов идентичны.

Из данных таблицы следует, что структура исследуемых образцов

соответствует структуре типа шпинели $F\ d3m$. Все наблюдаемые линии для CoGa шпинелей структурные. Наличие нескольких линий слабой интенсивности (о. сл., о. о. сл.) в области брэгговских углов $\Theta=42^\circ$; 44° ; $50,8^\circ$; $54,1^\circ$; $57,5^\circ$, обусловлены тем, что структурный фактор $\text{Co}-\text{Ga}$ — шпинели и Fe_3O_4 различен (разные компоненты входят в состав феррита-шпинели).

Проведенный подробный анализ содержания примесных фаз (исходные окислы, Co_3O_4 , CoFe_2O_4) позволяет утверждать, что синтезированные ферриты $\text{CoGa}_{1.4}\text{Fe}_{1.6}\text{O}_4$ и $\text{CoGa}_{1.9}\text{Fe}_{1.1}\text{O}_4$ однофазны.

Расчет параметра *a* проводился по обычной формуле [1]

$$\frac{1}{d^2} = \frac{h^2 + k^2 + l^2}{a^2}$$

d — межплоскостное расстояние, определялось по формуле Вульфа-Брэгга $d = \lambda/2 \sin \theta$, $\lambda_{\text{Fe}} = 1,94 \text{ \AA}$.

Для расчета использовались отражения от плоскости (511), (422), (642), (553), (800), (533).

Данные сведены в таблицу. Как известно, расчет параметра решетки по линиям от отражающих плоскостей под большими углами, наиболее точен. Погрешность в определении постоянной решетки определялась по формуле:

$$\frac{\Delta a}{a} = -\operatorname{ctg} \theta \cdot \Delta \theta$$

$$\Delta \theta = 0,25^\circ = 0,004 \text{ рад.}$$

$$\Delta a = -\operatorname{ctg} \theta \cdot \Delta \theta \cdot a$$

$$\Delta a = -\frac{1}{2,5257} \cdot 0,004 \cdot 8,33 = 0,01.$$

В таком случае постоянная решетки образца $\text{CoGa}_{1.4}\text{Fe}_{1.6}\text{O}_4$ равна $a = 8,33 \text{ \AA} \pm 0,01$. Как и следовало ожидать, постоянная решетки уменьшается по сравнению с магнетитом, т. к. в структуре шпинели часть ионов Fe^{3+} и Fe^{2+} замещается ионами Ga^{3+} и Co^{2+} , имеющими меньший ионный радиус.

Литература

Гиллер Я. Л. Таблицы межплоскостных расстояний.—М.: Недра, 1966, т. 1.—264 с.

Институт физики АН АзССР

Поступило 25. X 1988

С. Г. Ибраимов, Г. Ч. Султанов, Н. Г. Гусейнов, Э. С. Шукров
ШПИНЕЛЛЭРИН $\text{CoGa}_{1.9}\text{Fe}_{0.4}\text{O}_4$ И $\text{CoGa}_{1.4}\text{Fe}_{0.6}\text{O}_4$
МЕТАЛЛОГРАФИК ВЭ РЕНКЕНСТРУКТУР АНАЛИЗИ

Мэголэдэ тэгдим олуулан технологија эсасын шпинеллэрийн металлографик вэ ренкенструктур анализэлээр анпарылышдыр. Көстэрилмишдир ки, синтез олуумуш ферритээр шпинел структуруна маликдир вэ бирфазалыдыр.

S. G. Ibragimov, G. D. Sultanov, N. G. Guseinov, A. S. Shukurov

THE METALLOGRAPHIC AND X-RAY ANALYZE OF COBALTGALLIUM SPINELS OF $\text{CoGa}_{1.9}\text{Fe}_{0.4}\text{O}_4$ AND $\text{CoGa}_{1.4}\text{Fe}_{0.6}\text{O}_4$

In order to control to technology of growth of cobaltgallium spinels it has been carried out the metallographic and X-ray investigation.

It has been shown that these compounds have spinels structure and were single phase.

УДК 621.315.592

ФИЗИКА ПОЛУПРОВОДНИКОВ

Г. А. ГАЛАНДАРОВ, Р. Б. РУСТАМОВ, Ф. Э. ФАРАДЖЕВ,
А. Г. ГАСАНОВ, Т. И. АЛИЕВ

**СОБСТВЕННАЯ КОНЦЕНТРАЦИЯ НОСИТЕЛЕЙ ЗАРЯДА
В ТВЕРДЫХ РАСТВОРАХ $PbSe_{1-x}Te_x$**

(Представлено академиком АН Азербайджанской ССР М. И. Алиевым)

Твердые растворы $PbSe_{1-x}Te_x$ в последнее время являются объектом интенсивных исследований, в первую очередь из-за большого интереса, который они представляют для создания лазерных диодов [1] и приемников ИК-излучения [2, 3]. Интерпретация ряда оптических и электрических свойств этих соединений сталкивается с необходимостью знания собственной концентрации носителей заряда в зависимости от состава и в широкой области температур. В литературе имеются сведения о расчетах температурной зависимости собственной концентрации носителей зарядов в бинарных соединениях $PbSe$, $PbTe$ и PbS [1]. Расчеты собственной концентрации проводились в работе [5] также и для твердых растворов $PbS_{1-x}Sn_xTe$.

Для $PbSe_{1-x}Te_x$ сведения о подобных расчетах в литературе отсутствуют.

В настоящей работе приведены результаты расчета собственной концентрации носителей заряда в $PbSe_{1-x}Te$ ($0 \leq x \leq 1$) в области температур 50–300К. Расчеты проводились на основании полученных нами экспериментальных данных о параметрах зонного спектра в модели Кейна с учетом непорогичности зон в твердых растворах $PbSe_{1-x}Te_x$ [6].

Для собственных полупроводников концентрация, как известно, определяется следующим образом [7]:

$$n_i = 2 \int_{E_c}^{\infty} \rho_c(E) f(E) dE = 2 \int_{-\infty}^{E_v} \rho_v(E) [1 - f(E)] dE, \quad (1)$$

где E_c , E_v —энергии, соответствующие краям зоны проводимости и валентной зоны; $\rho(E)$ —плотность состояний; $f(E)$ —функция распределения Ферми—Дирака. В модели Кейна плотность состояний, согласно [4], имеет вид

$$\rho(E) = \frac{(2m_{do}^*)^{3/2}}{4\pi^2 h^3} \left[\left(1 + \frac{E}{\epsilon_g} \right)^{1/2} \left(1 + \frac{2E_0}{\epsilon_g} \right) \right], \quad (2)$$

где m_{do}^* —эффективная масса плотности состояний вблизи края зоны; ϵ_g —ширина запрещенной зоны. Тогда, принимая, что

$$f(E) = \exp \left(-\frac{|E - E_F|}{kT} \right) \quad (3)$$

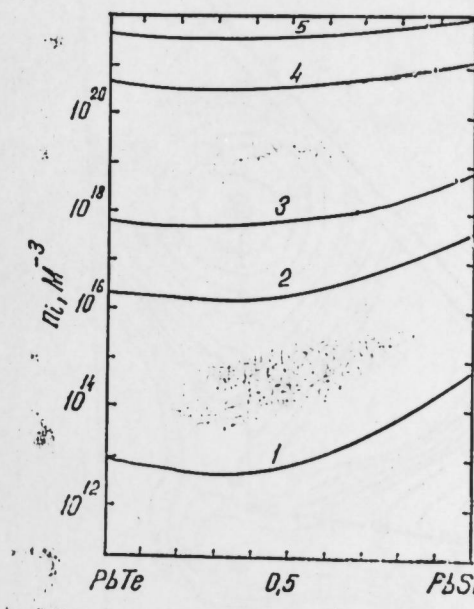
для собственной концентрации получаем следующее выражение

$$n_i = \frac{1}{2\pi^2 h^3} \left(2 \sqrt{\frac{m_{dv}^* m_{dc}^*}{m_{do}^*}} \kappa T \right)^{3/2} \exp \left(-\frac{\epsilon_g}{2\kappa T} \right) \times \int_0^{\infty} e^{-x} [x(1+zx)]^{1/2} (1+2zx) dx, \quad (4)$$

где $x = E/\kappa T$; $z = \kappa T/\epsilon_g$.

Расчеты проводились согласно формуле (4) в приближении зеркальности электронного и дырочного законов дисперсии. Эффективная масса плотности состояний определялась в соответствии с выражением $m_d^* = (N^2 m_i^* m_t^*)^{1/3}$, где число эллипсоидов N , согласно [8, 9], принималось равным 4. Компоненты эффективной массы на краю зоны определялись нами из измерений эффекта Шубникова—де Гааза в твердых растворах $PdSe_{1-x}Te_x$ [6, 10]. Ширина запрещенной зоны твердых растворов и ее температурная зависимость определялись из исследований спектров фоточувствительности $p-n$ -переходов из $PbSe_{1-x}Te_x$ [11]. Принималось, что эффективная масса меняется с температурой пропорционально температурному изменению ширины запрещенной зоны [4, 12].

Результаты расчета собственной концентрации носителей заряда в $PbSe_{1-x}Te_x$ приведены на рисунке.



Зависимость собственной концентрации носителей заряда от состава твердого раствора $PbSe_{1-x}Te_x$ при различных температурах: $T(K)$: 1 — 50; 2 — 77; 3 — 100; 4 — 200; 5 — 300

Литература

1. Kasemset D., Rotter S. Fonstad C.—J. Electr. Mater., 1981, v. 10, № 5, p. 863—878.
2. Фараджев Ф. Э. —ФТП, 1984, т. 18, вып. 1, с. 181—182.
3. Галандаров г. А., Фараджев Ф. Э. и др.—ФТП, 1984, т. 18, вып. 1, с. 185—186.
4. Равич Ю. И., Ефимова В. А., Смирнов И. А. Методы исследования полупроводников в применении к халькогенидам свинца $PbTe$, $PbSe$, PbS .—М., 1968.—384 с.
5. Melngailis I., Harman T. C. In.: Semiconductor and Semimetals, № 4, 1970, p. 111—174.
6. Фараджев Ф. Э., Тагиров В. И.—ФТП, 1983, т. 17, вып. 2.
7. Смит Р. Полупроводники.—М., 1962.—468 с.
8. Акопян Э. А., Мехтиев А. Ш. и др.—ФТП, 1981, т. 15, вып. 10, с. 2012—2016.
9. Фараджев Ф. Э., Тагиров В. И. и др.—ФТП, 1982, т. 24.

вып. 4, с. 971—974. 10. Фараджев Ф. Э., Тагиров В. И. и др.—ФТП, 1982, т. 16, вып. 5, с. 908—910. 11. Фараджев Ф. Э., Тагиров В. И. и др.—ФТП, 1983, т. 17, вып. 1, с. 184.

12. Preier H. Appl. Phys., 1979, v. 20, № 3, pp. 189—206.

Научно-производственное объединение
космических исследований

Поступило 10. II 1989

Г. Э. Гәләндәров, Р. Б. Рустэмов, Ф. Э. Фәрачов, А. Г. һәсәнов, Т. И. Элијев

**PbSe_{1-x}Te_x БӘРК МӘҮЛУЛУНДА КЕЧИРИЧИЛӘРИН МӘХСУСИ
КОНСЕНТРАЦИЯСЫ**

Мәгәләдә 50÷300 K температур интервалында PbSe_{1-x}Te_x ($0 < x < 1$) бәрк мәүлүлундакы кеçиричиләрин мәхсуси концентрациясы несабланышты.

G. A. Galaodarov, R. B. Rustamov, F. E. Farajev, A. G. Gasanov, T. I. Aliev

INTRINSIC CARRIER CHARGE DENSITY IN SOLID SOLUTION PbSe_{1-x}Te_x

There are presented the calculations of intrinsic carrier charge density in solid solution PbSe_{1-x}Te_x ($0 < x < 1$) in temperature range 50÷300K in this paper.

АЗӘРБАЙЧАН ССР ЕЛМЛӘР АКАДЕМИЈАСЫНЫҢ МӘРҮЗӘЛӘРИ

ДОКЛАДЫ АКАДЕМИИ НАУК АЗЕРБАЙДЖАНСКОП ССР

ТОМ XLV ЧИЛД

№ 5

1989

УДК 621.315.592

ФИЗИКА ТВЕРДОГО ТЕЛА

Чл.-корр. АН АзССР Ф. М. ГАШИМЗАДЕ, Д. А. ГУСЕИНОВА,
А. М. АЛИЕВ, А. М. КУЛИБЕКОВ

ЗАРЯДНАЯ ПЛОТНОСТЬ В ОРТОРОМБИЧЕСКОМ SnSe

В настоящем сообщении приводятся результаты расчета распределения электронного заряда отдельных групп валентных зон— для орторомбического соединения SnSe. Данное соединение кристаллизу-

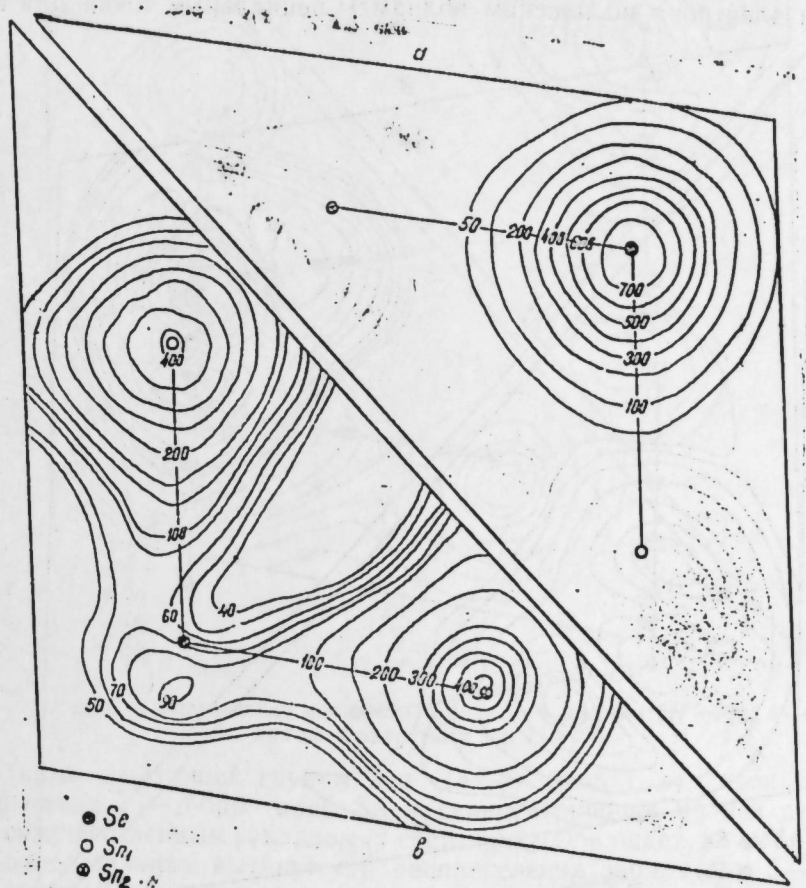


Рис. 1. Распределение плотности заряда: а—для зон (1—4); б—для зон (5—8)

ется в сильно анизотропной слоистой структуре, элементарная ячейка кристалла содержит два слоя, причем каждый слой состоит из двух попарно соединенных, слегка гофрированных плоскостей и одинаково

отстоит от Sn, а третий расположена на соседней гофрированной плоскости и отстоит от Sn на несколько меньшее расстояние. Углы между связями близки к 90° , что указывает на слабую $s-p$ -гибридизацию.

Распределение заряда рассчитывалось с использованием волновых функций, полученных из расчета зонной структуры SnSe методом псевдопотенциала [1]. Нами рассматривалось пять групп по четыре зоны в валентной зоне этих соединений. Зарядовая плотность для каждой из групп зон рассчитывалась по формуле

$$\rho(\vec{r}) = \frac{2}{\Omega_0 n_t} \sum \alpha_i \sum \sum \left| \sum_{\vec{G}} G_{\vec{G}}^2 \exp^{i\vec{G}\vec{T}_i} \right|^2,$$

где Ω_0 — объем элементарной ячейки, n_t — порядок фактор-группы по подгруппе трансляций пространственной группы D_{2h}^{16} , α_i — вес i -ой специальной точки зон Бриллюэна, \vec{r} — индекс валентной зоны, \vec{T}_i — операция симметрии волновой функции электрона, $G_{\vec{G}}^2$ — коэффициенты разложения волновой функции электрона по плоским волнам. Специальные точки для зоны

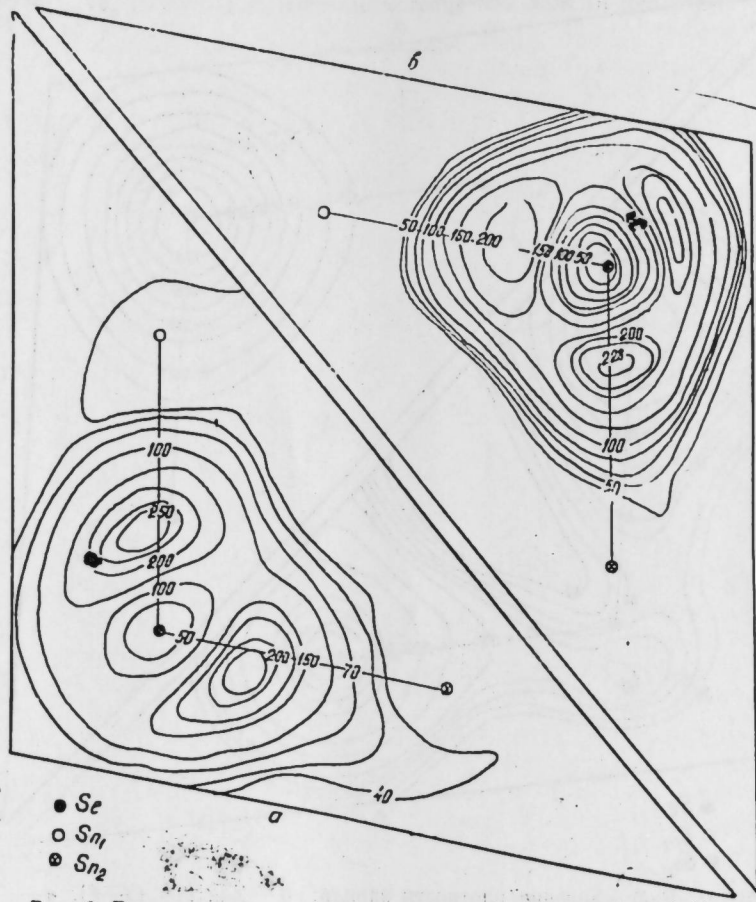


Рис. 2. Распределение плотности заряда: а — для зон (9—12); б — для зон (13—16)

Бриллюэна орторомбической решетки были определены нами по схеме, предложенной в работе [2]. Плоскость, на которой приводится

распределение заряда, выбрана так, что она содержит две различные связи Sn — Se, причем одна из связей расположена вдоль слоев, а другая — поперек. Из распределения заряда 4-х (рис. 1, а) самых нижних зон видно, что большая часть электронной плотности сосредоточена около атома Se. Эти зоны соответствуют почти негибридизированным s -состояниям атомов Se, т. е. принадлежат несвязывающим состояниям.

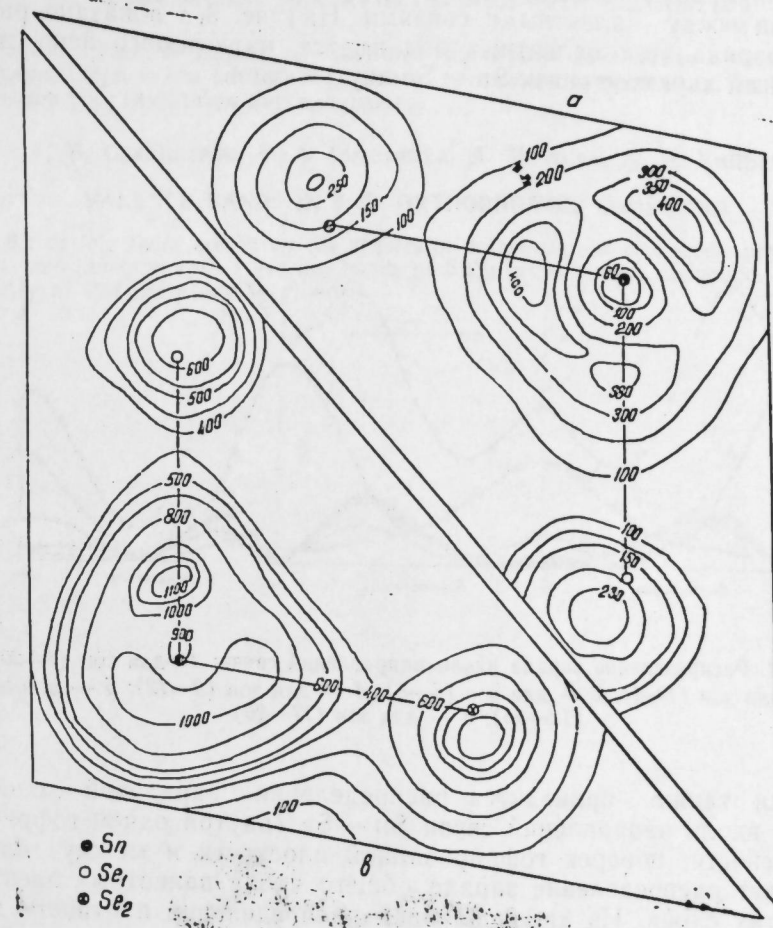


Рис. 3. Распределение плотности заряда: а — для зон (17—20); б — для всех валентных зон (1—20)

Заряд следующей группы зон (5—8) (рис. 1, в) происходит из смешивания $s-p$ -орбиталей Sn и сконцентрирован вблизи атома Sn с преимущественным вкладом s -состояний. Обращает на себя внимание более сильная вытянутость распределения заряда зон 5—8 поперек слоев, по сравнению с направлением вдоль слоев. Возможно, что это обстоятельство связано с укорочением связи Sn — Se в соответствующем направлении и большим перекрыванием электронных облак вдоль той связи.

Для распределения зарядовой плотности двух следующих групп зон (9—12) и (13—16) (рис. 2а и в) характерно наличие максимума

плотности заряда посередине линии, связывающей атомы {Sn и Se. Следовательно, эти зоны соответствуют связывающим состояниям Sn—Se и происходит преимущественно из *p*-подобных орбиталей. Фактически имеются 3 связи Sn—Se, одна из них вне плоскости.

Зарядовая плотность самой верхней группы 17—20 (рис. 3, *a*) имеет антисвязывающий характер, поскольку заряд сконцентрирован вне линии, связывающей соседние атомы Sn—Se. По-видимому, заряд, сконцентрированный между валентными штрихами, обеспечивает жесткость угла между валентными связями. На рис. 3, *b* показано распределение заряда всех валентных зон вместе, из которого ясно виден ковалентный характер связи Sn—Se внутри слоя.

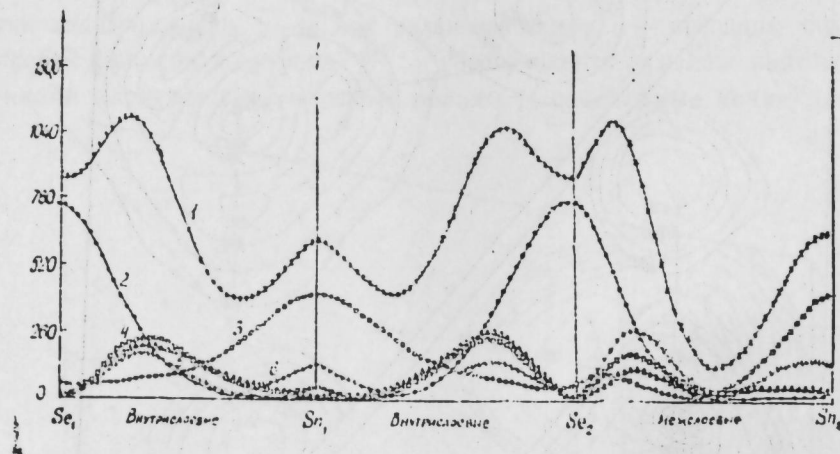


Рис. 4. Распределение заряда вдоль направлений связи: 1 — для зон (1—20); 2 — для зон (1—4); 3 — для зон (5—8); 4 — для зон (9—12); 5 — для зон (13—16); 6 — для зон (17—20)

Нами также приводится распределение зарядовой плотности (рис. 4) вдоль направлений связи Sn—Se (внутри одной гофрированной плоскости, поперек гофрированной плоскости и между слоями). Кр. 1 дает распределение заряда общего числа валентных электронов вдоль этих слоев. Из кр. 2, дающей распределение плотности заряда для зон (1—4), ясно видно, что по мере удаления от атомов Se происходит резкий спад, что указывает на происхождение этих зон из *s*-состояний Se, тогда как для зон (5—8) кр. 3 слабо/по мере удаления от атомов Sn, что свидетельствует о их вкладе в связывающие состояния. Здесь возможен и вклад *p*-состояний, на что указывает характерное распределение заряда около Se. Кр. 4 и 5 для зон (9—12) и (13—16) практически совпадают, имеют максимум на внутрислоевой связи и минимум на межслоевой. Для зон (17—20) характерна особенность, наличие которой позволяет сделать вывод, что эти зоны обязаны *s*-состояниям Sn и *p*-состояниям Se как в связующем, так и антисвязывающем состоянии. Оценка ионности соединения SnSe дала значение 0,7 *e*, где *e* — заряд электрона.

Литература

1. Валюконис Г. Р., Гашимзаде Ф. М., Гусейнова Д. А., Кутзайте Г. З., Мамедов М. М., Оруджев Г. С., Шилейка А. Ю.—Лит. физ. журнал, XXV, № 1, 39—49, 1985. 2. Chadi M. G., Marvin Z., Cohen M. L.—Phys. Rev., B, 8, 5747, 1973.

Институт физики АН АзССР

Поступило 21. I 1989

Ф. М. Ғашымзадә, Д. Э. Ғүсейнова, А. М. Әлиев, А. М. Гулубәјов

ОРТОРОМБИК SnSe КРИСТАЛЫНДА ЙУҚ СЫХЛЫГЫ

Мәғаләдә айры-айры валент зоналарының группаларына дахил олан электронларының ўқ сыйхлыгы нағлаймасы несабаламаларының иетічелері верилмишdir. Sn Se бирлешмениниң ион ўқу гијматләри көтирилмишdir.

F. M. Gashimzade, D. A. Guseinova, A. M. Aliev, A. M. Kulibekov

VALENCE BANDS IN SnSe ORTHORHOMBIC COMPOUND

In the article there are given the results of calculation of charge density distribution for individual groups of valence bands of SnSe orthorhombic compound. The value of ionicity of this compound is given.

Т. Г. ДИЛЬБАЗОВ, Н. Ф. МИРЗОЕВА

ОПТИЧЕСКАЯ СИСТЕМА С ПОВЫШЕННОЙ ДИСПЕРСИЕЙ

(Представлено академиком АН Азербайджанской ССР Г. Ф. Султановым)

Развитие различных областей науки и техники привело к новому этапу спектрального приборостроения. Развиваются новые методы спектроскопии, созданы высококачественные спектральные приборы, позволяющие выполнять различные исследовательские работы [1]. Несмотря на большие возможности этих приборов, классические приборы с одномерной дисперсией остаются основными при фундаментальных и прикладных исследованиях. Поэтому одним из направлений всего оптического приборостроения является улучшение характеристик оптических систем.

В настоящей работе приводятся результаты исследований, посвященных повышению одного из основных параметров оптимальной системы — дисперсии.

Существующие методы повышения дисперсии оптических систем [2—5] малоэффективны и, как правило, связаны с усложнением оптической системы, что приводит к увеличению поглощения и aberrаций системы.

Линейная дисперсия оптической системы определяется формулой

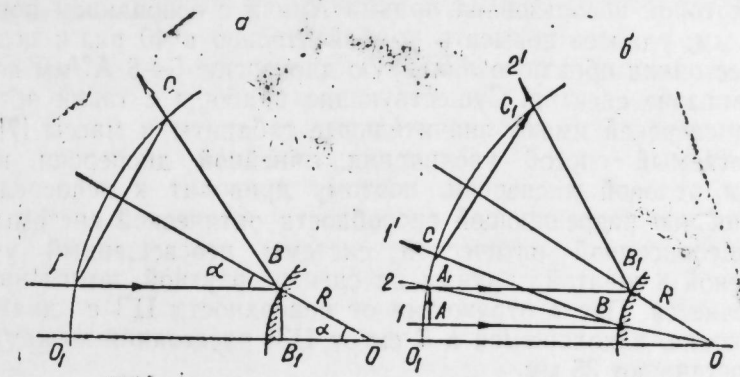
$$D = \frac{dl}{d\lambda} = f_2 \frac{d\varphi}{d\lambda}, \quad (1)$$

где dl и $d\varphi$ — линейное и угловое расстояние между спектральными линиями с длиной волны λ и $\lambda + d\lambda$ в фокальной плоскости, f_2 — фокусное расстояние камерного объектива.

Из (1), видно, что увеличения линейной дисперсии можно добиться двумя способами; 1) увеличением фокусного расстояния камерного объектива. Этот способ часто используется при создании спектральных приборов с большой дисперсией, но всегда приводит к увеличению габаритов прибора; 2) увеличением угловой дисперсии системы. Для приборов с призмой угловая дисперсия ограничена размерами и материалом призмы. Для приборов с дифракционной решеткой повышение угловой дисперсии возможно при переходе к спектрам высоких порядков. Однако в этих случаях происходит переналожение разных длин волн спектров более высоких порядков и уменьшается свободный спектральный интервал. Использование скрещенной дисперсии также связано с усложнением оптической системы и увеличением габаритов прибора.

Выбранный нами способ повышения угловой дисперсии оптиче-

ской системы [6] основан на отражении спектра от сферической поверхности. Спектр видимого света, сформулированный с помощью классической оптической системы, фокусируется на фокальной плоскости камерного объектива, где под углом к распространению луча расположено цилиндрическое зеркало (ЦЗ), образующая цилиндрической поверхности которого расположена в плоскости, перпендикулярной плоскости дисперсии диспергирующего элемента. Параллельные лучи с определенной дисперсией отражаются от поверхности ЦЗ под различными углами, вследствие чего угловое расстояние между лучами с длиной волны λ и $\lambda + d\lambda$ увеличивается, что и обеспечивает повышение линейной дисперсии системы.



Отклонение луча от первоначального направления (а) и повышение дисперсии спектра (а) при отражении от поверхности цилиндрического зеркала

Из рисунка а с помощью элементарных расчетов получается, что отклонение луча от начального направления $\Delta H = AC$ при отражении от поверхности ЦЗ с радиусом кривизны R на расстоянии от ЦЗ L выражается формулой

$$\Delta H = \frac{2LH}{R}, \quad (2)$$

где $H = BB_1$ — высота рабочей поверхности ЦЗ от оси.

На рисунке б, изображено отражение области спектра, ограниченной лучами 1 и 2 от поверхности ЦЗ с радиусом кривизны R . Учитывая $L \gg R$, можно допустить $AB = A_1B_1 = L$. Для лучей 1 и 2 выражение (2) будет в виде

$$AC = \frac{2L}{R} O_1A; \quad A_1C_1 = \frac{2L}{R} O_1A_1$$

Расстояние между лучами 1' и 2' dl_2 состоит из суммы расстояний между лучами 1 и $2d_1$ и разницы их отклонений ($A_1C_1 - AC$)

$$dl_2 = dl_1 + \left(\frac{2L}{R} A_1O_1 - \frac{2L}{R} AO_1 \right) = dl_1 + \frac{2L}{R} (A_1O_1 - AO_1)$$

Учитывая, что $A_1O_1 - AO_1 = dl_1$, получаем

$$dl_2 = dl_1 \left(\frac{2L}{R} + 1 \right). \quad (3)$$

Разделив (3) на dl получаем выражение линейной дисперсии

$$D_2 = D_1 \left(\frac{2L}{R} + 1 \right). \quad (4)$$

Отсюда следует, что после отражения от ЦЗ с радиусом кривизны R линейная дисперсия оптической системы на расстоянии L повышается в $\left(\frac{2L}{R} + 1 \right)$ раза. Верность выражения (4) легко проверяется с помощью геометрической оптики и ее можно использовать как формулу для повышения дисперсии при разработке спектральных приборов по предлагаемой схеме.

С помощью ЦЗ диаметром 4 мм на расстоянии $L=36$ мм линейную дисперсию оптической системы в качестве диспергирующего элемента, на которой использована призма Амиchi с основанием основной призмы 70 мм, удалось повысить приблизительно в 40 раз и получить на этом расстоянии обратную линейную дисперсию $6 \div 8 \text{ \AA/mm}$ во всем видном диапазоне спектра. Существующие приборы с такой обратной линейной дисперсией имеют значительные габариты и массы [7].

Предлагаемый способ увеличения линейной дисперсии вызван увеличением угловой дисперсии, поэтому приводит к непосредственному повышению разрешающей способности оптической системы. На выходе вышеописанной оптической системы неосвещенный участок между зеленой и желтой линиями на спектре ртутной лампы визуально не замечается. После отражения от поверхности ЦЗ с диаметром 5 мм на экране, находящемся в 5 см от ЦЗ, расстояния между этими линиями составляют 35 мм.

Предлагаемым способом можно повысить дисперсию любого спектрального прибора. Для этого нужно приспособить ЦЗ на выходную щель прибора, линзой сфокусировать луч с повышенной дисперсией на новую выходную щель и проградуировать прибор. Заслуживает внимания еще то, что выбирая для покрытия ЦЗ материал с хорошей отражательной способностью, можно повысить дисперсию (разрешающую способность) приборов, предназначенных для работы в УФ- и ИК-диапазонах оптического спектра.

Результаты наших исследований позволяют считать, что предложенный способ повышения дисперсии является эффективным и на его основе можно создать малогабаритные спектральные приборы с высокой разрешающей способностью. Экономичность таких приборов особенно значительна в бортовых системах исследования.

Литература

1. Скокол И. В. Оптические спектральные приборы. — М., 1984.
2. Международная заявка РСТ (WO) № 83/04093.
3. Заявка Франции № 2441155, № 2526942.
4. Авт. св. СССР № 1173200.
5. Патент ГДР № 41439.
6. Дилбазов Т. Г. Устройство для спектрометрических измерений. Положительное решение на заявку № 4172443.
7. Тарасов К. И. Спектральные приборы. — М., 1977.

Научно-производственное объединение
космических исследований

Поступило 29.1.1988

Т. Г. Дилбазов, Н. Ф. Мирзяева

ДИСПЕРСИЯСЫ АРТЫРЫЛМЫШ ОПТИК СИСТЕМ

Мәғаладаң силиндрлік күзкүшүн көмөжі илә оптик системин дисперсијасының артырылмасы үсулу шары едилмишdir. Бу үсулла жүксек аյырдемдә габилиїттінә малик кичик олчұлуда спектрал қиһазлар дүзәлтмәжін мүмкүнлүjү геjd едилмишdir.

T. G. Dilbazov, N. F. Mirzoeva

OPTICAL SYSTEM WITH Elevated DISPERSION

The method of increasing optical system dispersion by means of cylindrical mirror is described. It is noted that on the basis of this method compact high-resolution devices can be developed.

ФИЗИКА ПОЛИМЕРОВ

Р. М. АЛИГУЛИЕВ, Д. М. ХИТЕЕВА, В. А. ОГАНЯН, Р. А. НУРИЕВ

К ВОПРОСУ О САМООРГАНИЗАЦИИ ДИССИПАТИВНЫХ СТРУКТУР ПРИ СТЕКЛОВАНИИ

(Представлено академиком АН Азербайджанской ССР М. А. Даиним)

С целью выявления механизма процесса стеклования и особенностей явлений, протекающих при этом, были исследованы аморфные и кристаллические полимеры различных классов, резко различающиеся между собой в структурно-морфологическом отношении. К обсуждению результатов были привлечены также данные, опубликованные в литературе отечественными и зарубежными авторами.

Объектами исследований служили ПЭНП, ПЭВП и их композиции с минеральными и полимерными наполнителями, ПС, ПК, ПВХ, ПВДФ и его сополимеры, ПАН, ПИБ, ЦЭГ, сополимеры стирола с акрилонитрилом САН, СКЭП, полисульфонны, а также олигомеры α -олефинов. В связи с необходимостью решения в рамках настоящей работы вопроса о природе кинетической единицы стеклования, молекулярная масса олигомеров олефинов подобрана таким образом (табли-

Характеристика объектов исследования и термодинамические параметры процесса стеклования

Материал	$M_w \cdot 10^{-3}$	Т-ра стеклования, К	Энергия активации, кДж/моль	Энтропия активации, Дж/моль·К
ПЭГ	150	194	187	-308
ПИ	230	198	255	-316
ПАН	180	353	491	-509
ПВХ	320	356	221	-320
ПК	210	393	657	-411
ПС	270	373	165	-123
Олигомер	0,32	179	90	-280

ца), чтобы охватить интервал, начиная от размеров цепи, соизмеримых с сегментом Куна до размеров статистического сегмента и несколько выше. Характеристики процесса стеклования исследовали методами низкотемпературно ИК-спектроскопии [1], механической и диэлектрической релаксации [2].

В работе [3] нами было показано, что в процессе стеклования зачастую игнорировался вклад энтропийного фактора в энергетические характеристики процесса, входящего в уравнение Больцмана-Аррениуса, принятого в качестве основополагающего при исследовании релаксационных свойств полимеров:

$$\tau_1 = B_1 \exp \frac{u_1}{kT}, \quad (1)$$

поскольку $u_1 = \Delta H + T \Delta S$, то

$$\tau_1 = B_1 \exp \frac{\Delta S}{k} \exp \frac{\Delta H_1}{kT}. \quad (2)$$

Анализ многочисленных экспериментальных данных позволил рассчитать активационные параметры процесса стеклования полимеров с различным строением макроцепи и морфологии, включая энтропию активации ΔS (таблица). Как видно из данных таблицы, роль энтропийных вкладов в наблюдаемый процесс стеклования чрезвычайно высока и вследствие этого требует своего специального рассмотрения. Следует отметить, что оценка вклада энтропийного фактора отличается новизной и в литературе не освещалась, несмотря на важность данной характеристики для понимания механизма явлений, протекающих в процессе стеклования. Высокое отрицательное значение энтропийного фактора не может быть объяснено с классических термодинамических позиций.

Поскольку главным качеством процесса стеклования является его неравновесность, то считаем обоснованным провести анализ с привлечением закономерностей неравновесной термодинамики [4]. Согласно последней, изменение энтропии dS за интервал времени dt можно разбить на сумму двух вкладов

$$dS = d_1 S + d_2 S \quad (3)$$

Здесь $d_1 S$ — поток энтропии, обусловленный обменом энергией и веществом с окружающей средой, а $d_2 S$ — производство энтропии внутри системы, обусловленное необратимыми процессами. Из второго закона термодинамики следует:

$$d_2 S \geq 0 \quad (4)$$

(знак равенства соответствует равновесию). Для изолированной системы $d_1 S = 0$ и из (4) получаем

$$dS = d_1 S \geq 0 \quad (5)$$

Таким образом, открытые системы отличаются от изолированных наличием в выражении для изменения энтропии члена, соответствующего обмену. Члена $d_1 S$ не имеет определенного знака в противоположность величине $d_2 S$, которая никогда не бывает отрицательной. Это позволяет представить стеклование как такой процесс, в котором система достигает состояния с более низкой энтропией по сравнению с начальной:

$$\Delta S = \int_{\text{по пути}} dS < 0 \quad (6)$$

Это состояние, чрезвычайно маловероятно с точки зрения равновесного соотношения

$$P \propto \exp \left(-\frac{E}{kT} \right)$$

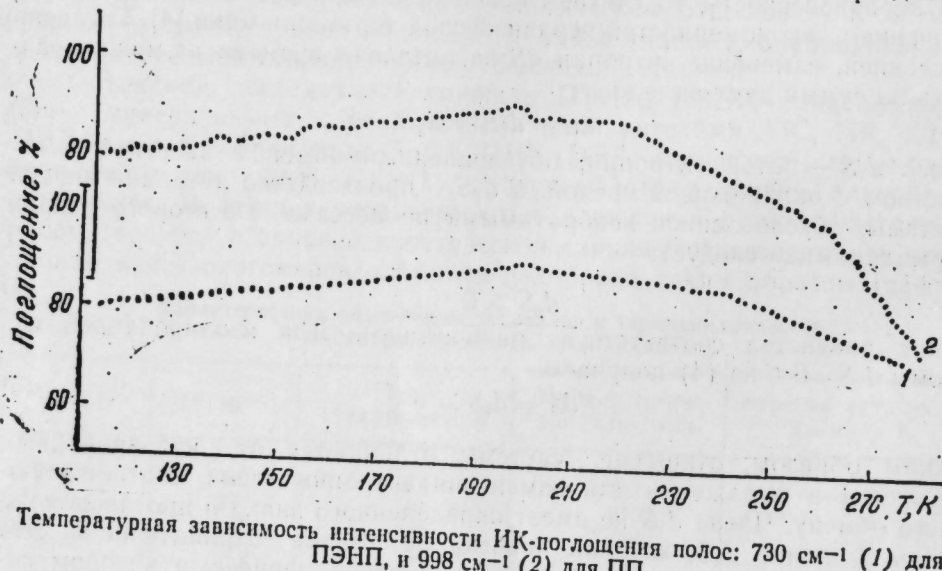
(где k — постоянная Больцмана, P — вероятность обнаружения системы на уровне с энергией E), может существовать неопределенно долго

при условии достижения системой стационарного состояния, в котором $dS=0$ или

$$d_1S = -d_2S < 0. \quad (7)$$

Таким образом, если в систему поступает достаточно большой отрицательный поток энтропии, в ней может поддерживаться некоторая упорядоченная конфигурация, причем как следует из соотношения (7), такая подпитка должна происходить в неравновесных условиях, в противном случае как d_2S , так и d_1S обратятся в нуль. Из этого вытекает существование принципа, согласно которому неравномерность может служить источником упорядоченности.

Таким образом, отрицательная величина энтропийного фактора, рассчитанного по данным диэлектрической и механической релаксаций, свидетельствует о самоорганизации статистических сегментов с образованием надмолекулярных диссипативных структур в процессе стеклования полимеров разных классов. Поскольку за процесс стеклования ответственны аморфные зоны полимера, то процессы самоорганизации протекают именно в этих зонах. Возникновение флюктуационных высокоупорядоченных надмолекулярных образований подтверждается



данными низкотемпературной ИК-спектроскопии. Из представленного рисунка видно, что в области стеклования наблюдается повышение интенсивности ИК-поглощения характеристических полос, отражающих образование упорядоченных структур. В частности, для полиэтиленов различных марок такой характеристической полосой является полоса при 730 см^{-1} , а для изотактического полипропилена — полоса при 998 см^{-1} . Следует отметить, что факт повышения интенсивности полосы 730 см^{-1} для ПЭ в области стеклования экспериментально наблюдался авторами [5], которые констатировали, что данный эффект оказался неожиданным, поскольку при тепловом расширении надмолекулярные силы ослабевают, а потому при повышении температуры индуцированные межмолекулярным взаимодействием дипольные моменты уменьшаются. Интенсивность полосы, которая усиливается ди-

поль-дипольным взаимодействием, по этой причине должна была бы уменьшиться. Авторы ограничились констатацией экспериментально наблюдаемого факта.

Образование диссипативных надмолекулярных структур является определяющим фактором специфики стеклования и непоморно высокого энергетического барьера процесса. Предложенная концепция о сложном характере процесса стеклования, когда в качестве релаксаторов выступает не единичные сегменты, а диссипативные надмолекулярные структуры флюктуационной природы, соответствует современным взглядам на формирование структуры и морфологических особенностей в высокомолекулярных системах. Образование структур подобных типа приводит к обращению в нуль конформационной энтропии (ΔS_k) статистического сегмента в связи с резким ограничением его кинетической подвижности. Отсюда следует довольно неожиданный вывод о том, что термодинамическая температура стеклования есть не что иное, как экспериментально определяемая по скачку теплоемкости температура стеклования полимера, а не находится, согласно известной теории Гиббса-Ди Марцио, на $50 \div 100^\circ$ ниже. Указанные надмолекулярные образования на шкале подвижности диссипативных структур занимают промежуточное положение между кооперативным движением сегментов и подвижностью физических микроблоков, ответственных за медленные λ -переходы. Таким образом, основным явлением, в основе стеклования, является самоорганизация диссипативных флюктуационных структур, являющихся релаксаторами нового типа. В рамках предложенной концепции снимаются противоречия между термодинамическими и кинетическими подходами к процессу стеклования высокомолекулярных систем.

Литература

- Алигулиев Р. М., Оганян В. А., Нуриев Р. А. — Тез. III Республиканская конф. по высокомолекулярным соединениям. — Баку, 1986, с. 90.
2. Алигулиев Р. М., Хитеева Д. М., Мамедов А. А., Оганян В. А. — Докл. АН АзССР, 1983, т. 39, № 2, с. 37.
3. Алигулиев Р. М., Хитеева Д. М., Оганян В. А. — Высокомолек. соед., 1988, сер. Б, т. 30, № 4, с. 268.
4. Николис Г., Пригожин И. Самоорганизация в неравновесных системах. М.: Мир, 1979, 512 с.
5. Харт В., Кениг Дж. — Новейшие инструментальные методы исследования структуры полимеров. Под ред. Кенига Дж. — М.: Мир, 1982, с. 109.

ВНИИОлефин и ОЗ

Поступило 25. X 1988

Р. М. Элигулиев, Д. М. Хитеева, В. А. Оганян, Р. Э. Нуриев

ШУШЭЛЭШМЭДЭ ДИССИПАТИВ ГУРУЛУШУН ӨЗҮҮН ТЭШКИЛЕТМЭ МЭСЭЛЭСИ ҮАГГЫНДА

Енергетик содди олан шүшэлэшмэ процессидэ ентропија факторунун бөјүк мэнфи кэмијэт олдугу мүэйјэн едилмийшдир ки, бу да классик термодинамика баҳымындан изалт олуул биљмир. Гејри-таразлыгы термодинамика ганууларындан истифадэ етмэжийн шүшэлэшмэ концепцијасыны эссландырмага вэ ашагы температурлу ИГ-спектрометрија методунун көмөн илэ мухтәлиф синифли полимерләрдэ кедэн шүшэлэшмэ процессидэ сатистик сегментләрни өзүүн ташкилетмэ надиссонин молекулјар үстүү диссипатив гурлуушун яралмасы јолу илэ баш вердијини сүбт этимэй имкан вершишдир. Мүэйјэн едилмийшдир ки, термодинамик шүшэлэшмэ температур T_0 тәчрүби ѡлла истилек тутумунун сыйрајышына эсасон тә'ин олуул шүшэлэшмэ температурундан $T_{\text{ш}}$ башга бир шеј дејилдир.

SELF-ORGANIZATION OF DISSIPATIVE STRUCTURES IN GLASS TRANSITION

It has been established that the entropy factor contributing to the energetic barrier of glass transition has a high yet negative value, which cannot be explained from the standpoint of classical thermodynamics. An analysis with the employment of non-equilibrium thermodynamic considerations has made it possible to put forward a new glass transition concept and to prove, by using IR technique, that self-organization of statistical segments with formation of supermolecular dissipative structures occurs directly in the course of glass transition of various polymers. It has been shown that thermodynamic glass-transition temperature T_0 is nothing but glass transition temperature T_g which can be experimentally determined from a thermal capacity jump.

УДК 678.792.3.048

ОРГАНИЧЕСКАЯ ХИМИЯ

Н. Ф. ДЖАНИБЕКОВ, С. Р. РАФИЕВА, М. Х. МАМЕДОВ,
Л. Д. ПОШЕЛЮК, Е. И. МАРКОВА

ИССЛЕДОВАНИЕ СТАБИЛИЗИРУЮЩИХ СВОЙСТВ
ДИЗАМЕЩЕННЫХ ДИТИОФОСФАТОВ НА ПОЛИПРОПИЛЕНЕ
МЕТОДОМ ДИФФЕРЕНЦИАЛЬНОГО ТЕРМИЧЕСКОГО АНАЛИЗА

(Представлено академиком АН Азербайджанской ССР В. С. Алиевым)

Метод дифференциального термического анализа (ДТА) и термогравиметрии (ТГ), являющийся чувствительным методом фазового анализа и термической характеристики веществ, известен и как чувствительный объективный метод оценки термической стабильности полиолефинов [1, 2], эффективности фенольных стабилизаторов в качестве антиоксидантов в полимерных композициях [3, 4], позволяющий проследить протекание деструкционных процессов в полимерах под влиянием различных факторов воздействия.

Целью настоящей работы явилось исследование температурных изменений полипропилена (ПП) и его композиций с дизамещенными дитиофосфатами, а именно, с ди(3,5-ди-трет. бутил-4-гидроксифенил) — (2,6-ДТФ) и 2,2-тиобис-0,0-ди-4,6-ди-трит. бутилфенил-(4,6ТБФ) дитиофосфатами цинка, кадмия, олова и меди в процессе тепловой и световой деструкции, изучение зависимости стабилизирующей эффективности соединений от природы металла, входящего в соединение и его лигандной части.

ЭКСПЕРИМЕНТАЛЬНАЯ ЧАСТЬ

Исследования проводились на дериватографе фирмы «МОМ» (Венгрия) при следующих условиях: навеска образца — 0,2 мг, скорость нагрева — 10°/мин, чувствительность весов — 0,5 мг, время нагрева — 100 мин, эталон Al_2O_3 , среда — воздух атмосферный. Объектом исследования служила промышленная марка ПП и его композиции с 2,6ДТФ и 4,6ТБФ-металлов, введенными в полимер в концентрации 0,5 и 1,0 мас. %.

Ди(3,5-ди-трет. бутил-4-гидроксифенил)дитиофосфаты, получающиеся взаимодействием 2,6-ди-трет. бутилфенола с пятисернистым фосфором при 393—403 К и соотношении компонентов 4:1, с последующей нейтрализацией полученной дитиофосфорной кислоты 10%-ным раствором едкого натра и дальнейшей обменной реакцией полученной натриевой соли с хлоридами металлов [5], представляют собой кристаллические вещества белого (Cu^{+2} — светло-коричневого) цвета, с

температурами плавления выше 200°, растворимы в ацетоне, хлороформе, диметилформамиде; практически не растворимы в воде.

2,2-тиобис-0,0-ди-4-ди-трет. бутилфенилдитиофосфаты получали аналогично солям ди-(3,5-ди-трет. бутил-4-гидроксифенил) дитиофосфатов, но при соотношении компонентов (тиобисфенола и P₂S₅) 2:1. Соли представляют собой также кристаллические вещества белого (Cu²⁺ — темно-зеленого) цвета с температурами плавления: Zn — 92°, Cd — 114°, Sn — 179°, Cu — 130°C, растворимы в диоксане, хлорформе, толуоле, не растворимы в воде.

Исследование полимерных композиций методом ДТА

Композиция	Т-ра первого эндотермического пика, °К	Т-ра первого экзотермического пика, °К	Т-ра начала потери массы, °К	Т-ра массы до 25 %, °К
До старения				
ПП нестабилизированный	438	490	517	587*
ПП+2,6 ДТФ—Zn	438	495	541	625
ПП+2,6 ДТФ—Cd	438	494	540	624
ПП+2,6 ДТФ—Sn	438	497	542	629
ПП+2,6 ДТФ—Cu	438	423	458	593
ПП+4,6 ТБФ—Zn	438	495	540	623
ПП+4,6 ТБФ—Cd	438	493	540	620
ПП+4,6 ТБФ—Sn	438	496	541	625
ПП+4,6 ТБФ—Cu	438	502	540	600
После 250 ч термостарения				
ПП неstab.	423	430	437	523*
ПП+2,6 ДТФ—Zn	438	499	540	623
ПП+2,6 ДТФ—Cd	438	490	531	601
ПП+2,6 ДТФ—Sn	438	497	542	625
ПП+2,5 ДТФ—Cu	424	416	446	530
ПП+4,6 ЕБФ—Zn	438	503	545	635
ПП+4,8 ТАФ—Cd	438	495	539	610
ПП+4,6 ТБФ—Sn	438	498	545	650
ПП+4,6 ТБФ—Cu	423	418	448	540
После 250 ч светостарения				
ПП неstab.	420	416	420	436*
ПП+2,6 ДТФ—Zn	429	471	517	579
ПП+2,6 ДТФ—Cd	437	483	520	580
ПП+2,6 ДТФ—Sn	438	491	540	603
ПП+2,6 ДТФ—Cu	438	488	538	601
ПП+4,6 ТБФ—Zn	424	417	440	493
ПП+4,6 ТБФ—Cd	437	480	509	580
ПП+4,6 ТБФ—Sn	438	490	515	605
ПП+4,6 ТБФ—Cu	438	420	439	595

* — Потеря веса 40% после 50 ч старения.

Композиции ПП с дитиофосфатами металлов приготавливались смешением порошкообразного ПП с вышеуказанными солями в растворе ацетона при перемешивании до удаления последнего. Образцы нестабилизированного ПП и его композиций как до, так и после определенных периодов старения (для ПП после каждого 10, для композиций — после каждого 50 ч) подвергались дериватографическим исследованиям. Термостарение образцов проводилось терmostатиро-

ванием в термошкафу при 373 К, светостарение — облучением лампой ПРК-2М при 333 К. Данные исследований представлены на рис. 1 и 2 и в таблице.

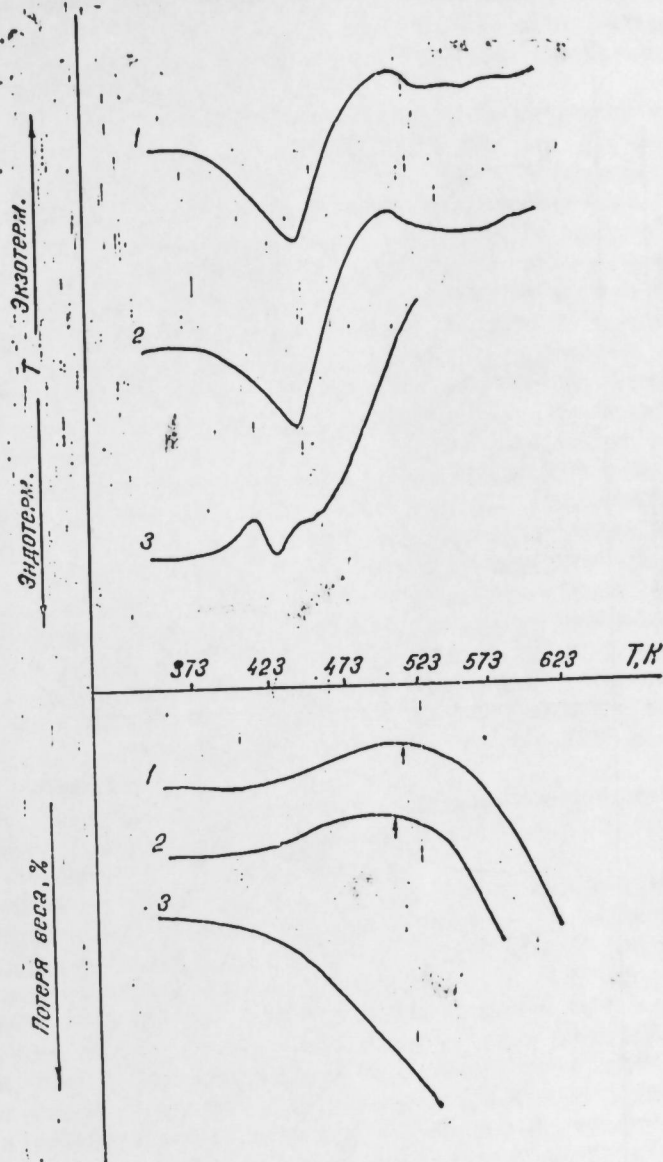


Рис. 1. Дериватограммы исходного полипропилен: 1 — исходный образец; 2 — после термостарения; 3 — после светостарения лампой ПРК-2М

На рисунках в качестве примера приведены дериватограммы нестабилизированного ПП и его композиций с тиобисдитиофосфатом цинка. Результаты исследований, приведенные в таблице, даны после циклов теплового и светового старения, когда в дериватограммах наблюдались ощутимые различия в характере кривых ДТА и ТГ от дериватограмм исходных образцов.

Как показали исследования дериватограмм нестабилизированного ПП (рис. 1, кр. 1 и таблица), на кривой ДТА в области 438 К наблюдается эндотермический пик плавления, после которого идет плавный энзотермический подъем до 490 К, характеризующий начальный

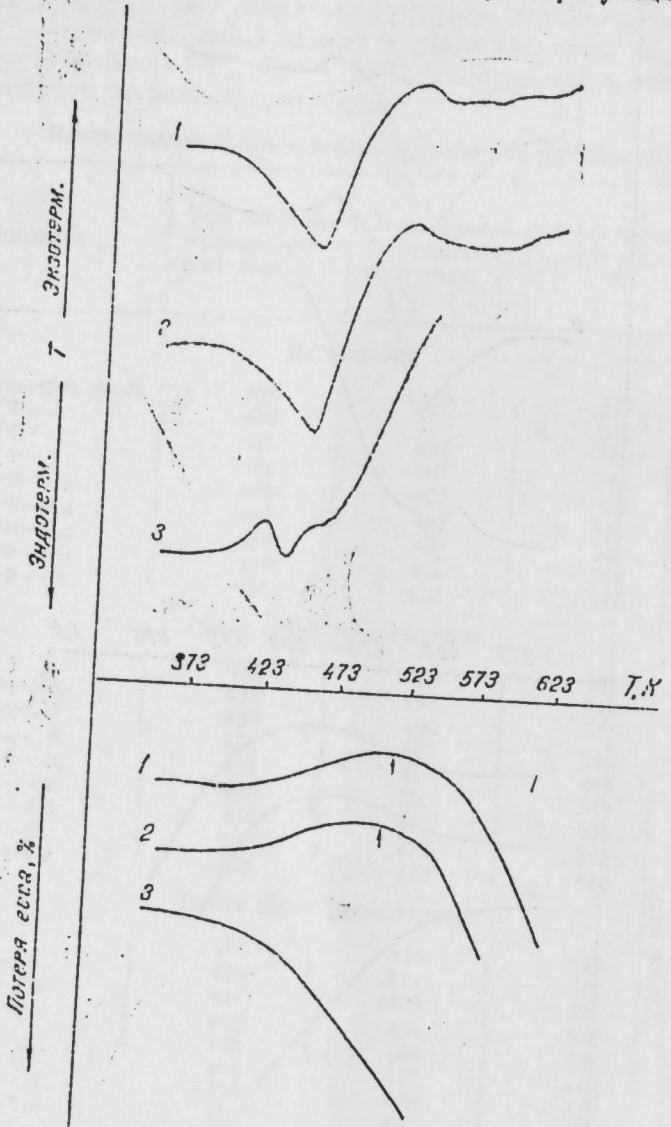


Рис. 2. Дериватограммы полипропилена стабилизированного 2,2'-бис-0,0-ди-4,6-ди-триэтилбензилфенилдитиофосфатом цинка:
1 — исходный образец; 2 — после термостарения; 3 — после светостарения лампой ПРК-2М

период окисления, на кривых ТТ, характеризующийся увеличением веса образца. В дальнейшем происходит резкое падение веса, что говорит о деструкции ПП и при 597 К образец теряет более 40 % от первоначального веса.

Дериватограммы стареющего ПП (50 ч термовоздействия) по характеру резко отличаются от дериватограмм исходного (кр. 2). Плавление наблюдается при 423 К, что на 15° ниже, при значительно более низких температурах происходит окислительные процессы, деструкция протекает с большей скоростью, но еще сопровождается предварительным окислением. Однако сопоставление кривых говорит о том, что ПП уже достигает 48 %.

Еще большая разница между дериватограммами доходного ПП и после 50 ч облучения его лампой ПРК-2М (кр. 3). Облученный ПП имеет т. пл. 420 К, что на 18° ниже, чем у исходного. Уменьшение температуры плавления и появление экзотермического пика (416 К) перед плавлением указывает, что полимерная макромолекула уже деструктирована. Интерпретация данных ТГ показывает резкое ведение веса уже при 420 К и при 436 К потеря веса составляет уже 40 %.

Введение в полимер солей меняет характер дериватограмм (см. рис. 2). Эндотермический пик плавления у исходного образца композиции ПП с 4,6ТБФ—Zn сохраняется при 438 К, процесс окисления начинается при более высоких температурах, протекает с меньшей скоростью, деструкция начинается также при более высоких температурах (540 К), чем у исходного ПП. После 250 ч термовоздействия композиция достаточно стабильна (кр. 2). Температура плавления сохраняется при 438 К. На кривых ТТ наблюдается незначительный подъем, характеризующий окисление, протекающее при более высоких температурах (495 К), чем даже у исходного образца ПП. При 623 К образец теряет около 25 % своей массы, тогда как исходный ПП уже при 587 К теряет 40 % своего веса. После 250 ч облучения образца характер дериватограмм меняется (кр. 3), снижается температура плавления (429 К), на кривой ТТ не наблюдается экзотермического подъема, характеризующего окисление, и при 579 К образец теряет до 25 % своего веса.

Как показали исследования, характер дериватограмм композиций ПП с другими солями дитиофосфатов мало отличается друг от друга, что видно из данных таблицы.

Интересен факт, что соли цинка обоих типов дитиофосфатов более эффективны против термовоздействия и обладают невысоким светостабилизирующим действием. После 250 ч световоздействия у указанных образцов падает температура плавления, температура потери веса образца до 25 % значительно ниже, чем у всех остальных соединений (см. таблицу). Комплексы меди обладают обратным эффектом, они более эффективны в качестве светостабилизаторов и обладают очень незначительным термостабилизирующим эффектом.

На эффективность действия в некоторой степени влияет наличие в молекуле 2,2-тиобис-0,0-дитиофосфатов дополнительной мостиковой серы, соединяющей ароматические ядра. Однако это действие очень незначительно (всего на 3—7° и после термовоздействия). Это объясняется, по всей вероятности, наличием мостиковой серы между ароматическими ядрами в молекуле тиобис-дитиофосфатов, а светостабилизирующий эффект этих соединений может быть объяснен образованием нового гетероцикла с участием сульфидной серы и возможностью взаимодействия ее с электронной оболочкой переходного металла, что в свою очередь, увеличивает и активность самого металла в тушении возбужденных состояний полимера и кислорода. Высокий

светостабилизирующий эффект, дизамещенных дитиофосфатов на базе пространственно-затрудненных фенолов, объясняется тем, что соединения с указанным пространственно-затрудненным фрагментом, который придает им высокий термостабилизирующий эффект, одновременно, как известно, обладают свойствами светостабилизаторов, что отсутствует у тиобисдитиофосфатов.

На основании проведенных исследований можно заключить, что указанные соединения обладают бифункциональным стабилизирующим действием, а метод ДТА дает возможность быстро определить эффективность добавок и направленности их стабилизирующей активности.

Литература

1. Kramer E.—Osterr. Kunstst. Z., 1984, 15, № 3—4, 32—35.
2. Gupta R. N., Sci. Programme, Supl. Bucharest, s.s., 46—49.
3. Jatccha Cr., Unnati M., Balcerowich W.—Polym. Degrad. and Stab., 1984, 7, № 3, 189—192.
4. Маркова Е. И., Ахмедзаде Д. А., Джанабекова Н. Ф.—Вопросы нефтехимии Сб. трудов ИНХП.—Баку, 1982, вып. XIII, с. 197—204.
5. Маркова Е. И., Ахмедзаде Д. А., Джанабекова Н. Ф.—Азерб. хим. журн., 1984, № 1, с. 135—138.

Институт нефтехимических процессов АН АзССР

Поступило 5 XI 1988
Н. Ф. Чәнибәев, С. Р. Рафиева, М. Х. Мамедов, Л. Д. Полешук,
Е. И. Маркова

ДИФЕРЕНСИАЛ ТЕРМИК АНАЛИЗ МЕТОДУ ИЛЭ ИКИЛИ ЭВӘЗ ОЛУИМУШ ДИТИОФОСФАТЛАРЫН ПОЛИПРОПИЛЕНДЕ СТАБИЛЛӘШДИРИЧИ ХАССӘЛӘРНИН ТӘДГИГИ

ДТА методу илэ полипропилен вә онун икили эвәз олумыш дитиофосфат металла-рыны, хүсусыла, ди (3,5-үчлү бутил-4-индроксиенил)-2,6 ДТФ вә 2,2-тиобис 0,0-ди-2,6-ди үчлү бутилфенил-4,6 ТБФ-ни синк, кадмиум, галај вә мис дитиофосфатларыны композициясы толгиг олумышшудур. Эсасландырылышылык ки, икили эвәз олумыш дитиофосфатларын синк дузу истилија гарышы јүксәк стабилли олса да, ишига гарышы ашагы стабилләшdir. Мис комплексләри исә акына, ишига гарышы јүксәк стабилли, истилија гарышы исә ашагы стабилләшdir. Галај вә кадмиум дузлары озунү бифункционал характерда апарыр. Ашкара шахарылыб ки, полимер материалларынын гочалма вә стабилләшмә процессларини ДТА методу илэ өйткәнләсін чох элевершилләшdir.

N. F. Dzhanibekov, S. R. Rafiyeva, M. Kh. Mamedov,
L. D. Poshelyuk, E. I. Markova

STUDY OF STABILIZING PROPERTIES OF DISUBSTITUTED DITHIOPHOSPHATES ON POLYPROPYLENE USING METHOD OF DIFFERENTIAL THERMAL ANALYSIS

It was established that disubstituted dithiophosphates of zinc at higher thermal stabilizing activity were characterized by low light stabilizing effect. Cupric complexes are characterized by higher light stabilizing effect but they protect weakly the polymer from thermal effect. Tin and cadmium dithiophosphates show bifunctional action. It was found out the DThA method was the most suitable for preliminary estimation of processes of ageing and stabilization of polymeric materials.

АЗЭРБАЙЧАН ССР ЕЛМЛӘР АКАДЕМИЯСЫНЫН МӘРҮЗӘЛӘРІ

ДОКЛАДЫ АКАДЕМИИ НАУК АЗЕРБАЙДЖАНСКОГО ССР

ТОМ XLV ЧИЛД

№ 5

1989

УДК 547.362

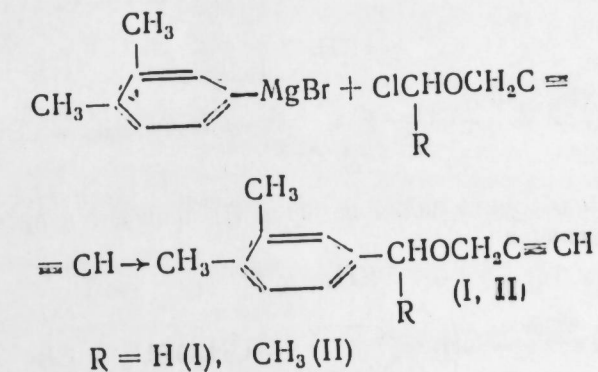
ОРГАНИЧЕСКАЯ ХИМИЯ

Д. С. ДЖАФАРОВ, А. Г. САЛД ОМАР, У. Б. ИМАШЕВ, С. Ф. КАРАЕВ,
чл.-корр. АН АзССР М. М. ГУСЕПНОВ

СИНТЕЗ И ПРЕВРАЩЕНИЯ ПРОПАРГИЛОВЫХ ЭФИРОВ КСИЛИЛ-И МЕТИЛКСИЛИЛКАРБИНОЛОВ

Ацетиленовые эфиры ароматических спиртов ингибируют кислотную коррозию металлов, способствуют флотации угля, обладают бактериостатическими свойствами и широко используются в органическом синтезе [1—4].

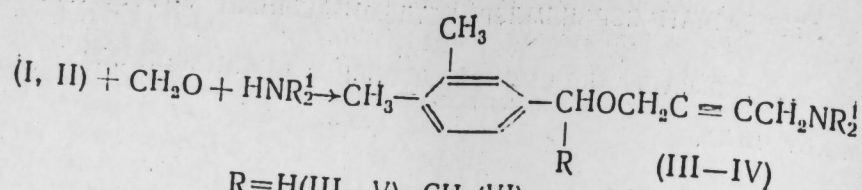
В связи с этим нами изучены условия синтеза и химические превращения индивидуальных пропаргиловых эфиров ксилил-и метилксилкарбинолов (I, II). Установлено для синтеза последних с выходом 51—56% пригодна конденсация хлорметил-и а-хлорэтил пропаргиловых с реагентом Гриньяра из 3,4-диметилбромбензола



Следует отметить, что необходимым условием генезиса исходного магнийорганического соединения в диэтиловом эфире является предварительная активация бромксилола с применением небольших количеств молекулярного брома.

ИК-спектры подтверждают строение полученных соединений (I, II). В них имеются характеристические полосы поглощения внеплоскостных деформационных колебаний связей C—H двух соседних H-атомов бензольного кольца (820 cm^{-1}) валентных-C—H (3030 cm^{-1}) и плоскостных C=C (1600 cm^{-1}) колебаний, этинильной группы (2100 и 3295 cm^{-1}) и простой эфирной связи (1085 cm^{-1}).

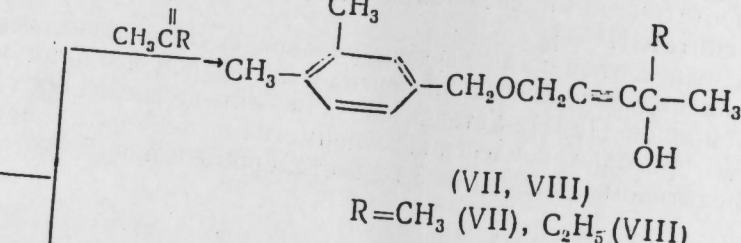
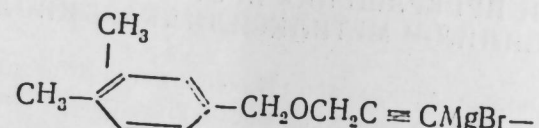
Благодаря наличию «кислого» ацетиленового атома водорода эфиры (I, II) легко подвергаются С-аминометилированию в условиях реакции Манніха



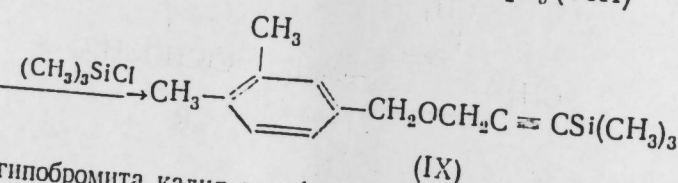
$R = H (III-V), CH_3 (VI)$

$R_2^1 = C_2H_5 (III, VI), C_4H_9 (IV), -(CH_2)_5 - (V)$

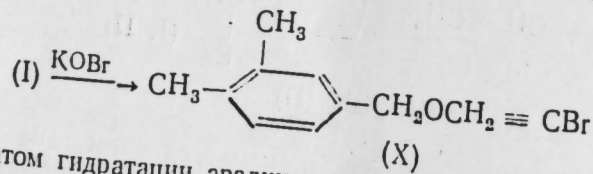
Аралкилпропаргиловый эфир (I) под действием этилмагнийбромида образует соответствующий реагентом Иоцича, конденсация которого с электрофильными реагентами (метилкетоны, триметилхлорсиран) приводит к образованию соответствующих C_{sp} -замещенных производных



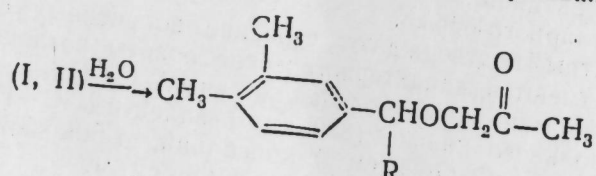
$R = CH_3 (VII), C_2H_5 (VIII)$



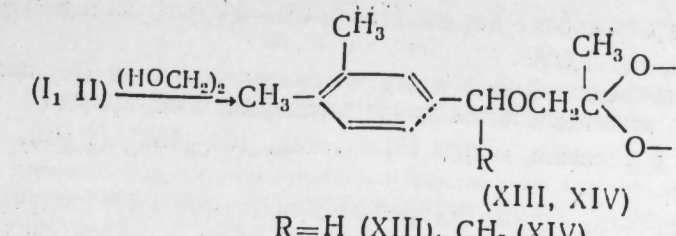
Действие гипобромита калия на эфир (I) приводит к продукту заместительного бромирования



Результатом гидратации аралкилпропаргиловых эфиров (I, II) в присутствии оксида ртути и серной кислоты является образование ацетонилоксипроизводных

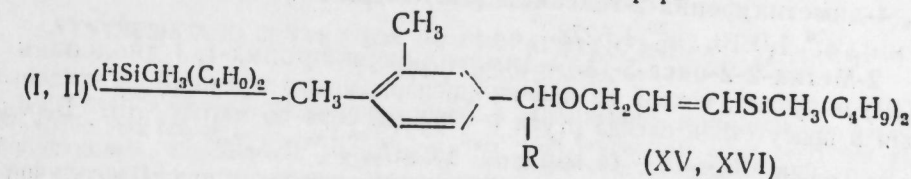


$R = (H) (XI), CH_3 (XII)$
Циклоприсоединение этиленгликоля к тройной связи эфиров (I, II) дает циклические кетали



$R = H (XIII), CH_3 (XIV)$

Катализитическое гидросилилирование соединений (I, II) метилдибутилсиланом дает соответствующие кремнийаллиловые эфиры



$R = H (XV), CH_3 (XVI)$

Химический состав полученных ароматических соединений (I-XV) подтвержден элементным анализом, их строение—данными молекулярной рефракции и колебательных спектров.

Экспериментальная часть

4-Окса-5-(3,4-диметил)фенил-1-пентин (I) получали исходя из 3,4-диметилфенилмагнийбромида и пропаргилоксиметилхлорида в условиях метода [5]. Выход—56%, т. кип. 125—126° (4 мм), d_4^{20} 0,9974, n_D^{20} 1,5242.

Аналогичным путем синтезирован 4-окса-5-(3,4-диметил)фенил-1-гексин (II). Выход—51%, т. кип. 112—113° (3 мм), d_4^{20} 1,0054, n_D^{20} 1,5336.

Взаимодействие аралкилпропаргиловых эфиров (I, II) с параформом и вторичными аминами осуществляли в присутствии однохлористой меди в растворе диоксана. При этом с выходом 66—72% получены следующие ацетиленовые аминоэфиры:

1-диэтиламино-5-окса-6-(3,4-диметил)фенил-2-гексин (III), т. кип. 173—174° (3 мм), d_4^{20} 0,9709, n_D^{20} 1,5138;

1-дибутиламино-5-окса-6-(3,4-диметил)фенил-2-гексин (IV), т. кип. 196—197°С (3 мм), d_4^{20} 0,9692, n_D^{20} 1,5204;

1-морфолино-5-окса-6-(3,4-диметил)фенил-2-гексин (V), т. кип. 200—201°С (3 мм), d_4^{20} 1,0083, n_D^{20} 1,5276;

1-диэтиламино-5-окса-6-(3,4-диметил)фенил-2-гептин (VI), т. кип. 159—160°С (3 мм) d_4^{20} 0,9681, n_D^{20} 1,5130;

2-метил-6-окса-7-(3,4-диметил)фенил-3-гептин-2-ол (VII) получали конденсацией ацетона с реагентом Иоцича из арилпропаргилового эфира (I) по методу [5]. Выход—64%, т. кип. 152—153°С (4 мм), d_4^{20} 1,0340, n_D^{20} 1,5280.

Аналогичным образом, используя вместо ацетона метилэтанол, получен 3-метил-7-окса-8-(3,4-диметил)фенил-4-октин-3-ол (VIII). Выход—60%, т. кип. 160—161°С (3 мм), d_4^{20} 1,0297, n_D^{20} 1,5264.

1-Триметил-илил-4-окса-5-(3,4-диметил)фенил-1-пентин (IX) получали, исходя из реагента Иоцича пропаргилового эфира (I) и триметил-

хлорсиана в условиях метода [5]. Выход—54%, т. кип. 146—147° (3 мм), d_4^{20} 0,9534, n_D^{20} 1,5086.

1-Бром-4-окса-5-(3, 5-диметил)фенил-1-пентин (X) получали с выходом 65% взаимодействием аралкилпропаргилового эфира (I) с гипобромитом калия в условиях метода [5]. Т. кип. 164—165° (4 мм), d_4^{20} 1,3269, n_D^{20} 1,5504.

4-Окса-5-(3, 4-диметил)фенил-2-пентанон (XI) получали гидратацией соединения (I) в присутствии оксида ртути и серной кислоты по методу [5]. Выход—46%, т. кип. 138—139° (3 мм), d_4^{20} 1,0484, n_D^{20} 1,5136.

Аналогичным образом, гидратацией соединения (II), получен 4-окса-5-(3, 4-диметил)фенил-2-гексанон (XII). Выход—44%, т. кип. 133—134° С (3 мм), d_4^{20} 1,0610, n_D^{20} 1,5278.

2-Метил-2-2-окса-3-(3, 4-диметил)фенилпропил-1, 3-диоксолан (XIII) получали, исходя из аралкилпропаргилового эфира (I) и этиленгликоля в присутствии оксида ртути и фторида бора по методу [5]. Выход—42%, т. кип. 162—163° (4 мм), d_4^{20} 1,0867, n_D^{20} 1,5198.

Аналогичным образом из аралкилпропаргилового эфира (II) получен 2-метил-2-2-окса-3-метил-3(3,4-диметил)фенил пропил-1, 3-диоксолан. Выход—40%, т. кип. 169—172° (3 мм), d_4^{20} 1,0905, n_D^{20} 1,5266.

1-Метилдибутилсилил-4-окса-5-(3, 4-диметил)фенил-1-пентен (XV) получали присоединением метилдибутилсилана к эфиру (I) в присутствии катализатора Слайера по методу [6]. Выход—65%, т. кип. 159—160° (2 мм), d_4^{20} 0,8957, n_D^{20} 1,4820.

Аналогичным путем, исходя из эфира (II) и метилдибутилсилана, получен 1-метилдибутилсилил-4-окса-5-(3, 4-диметил)фенил-1-гексен (XVI). Выход—62%, т. кип. 165—166° (2 мм), d_4^{20} 0,9083, n_D^{20} 1,4908.

Выводы

1. Конденсация реагента Гриньяра из 3,4-диметилбромбензола с пропаргилоксиалкилхлоридами приводит к образованию индивидуальных пропаргиловых эфиров ксилил- и метилксилосилкарбинолов.

2. Реализованные превращения последних с участием активных центров этинильной группы иллюстрируют их возможности применения в органическом синтезе.

Литература

1. Караев С. Ф., Гараева Ш. В.—Усп. химии, 1980, № 9. 2. Егоров В. В., Плодобаев Н. И., Хабиб Рахман Тухи, Мамедов Э. А., Караев С. Ф.—Защита металлов, 1987, т. 23, № 2, с. 342. З. А. с. ССР № 1256791 (1986). Способ флотации угля (В. Н. Петухов, С. Ф. Караев, А. С. Кязимов, Т. В. Михайлова). Опубл. в Б. И. № 34, 1986. 4. Караев С. Ф., Теймурова Р. А., Хабибова А. К. Всесоюзн. совещ. Перспективы расширения ассортимента химических реактивов... Тез. докл., с. 158, ЯрГИИ.—Ярославль, 1987. 5. Караев С. Ф., Джадаров Д. С., Аскеров М. Э.—ЖОРХ: 1980, т. 16, вып. 5, с. 928—933. 6. Караев С. Ф., Казиева С. Т., Шихиев И. А., Надберг Ц. М.—ЖОРХ, 1978, т. 14, вып. 3, с. 556—569.

АзИНЕФТЕХИМ им. М. Азизбекова и
Уфимский нефтяной институт

Поступило 16.II.1989

Ч. С. Чәфәрөв, Ә. Г. Сәид Әмәр, У. Б. Имашев, С. Ф. Гараев,
М. М. Һүсейнов

КСИЛИЛ ВӘ МЕТИЛКСИЛИЛКАРБИНОЛЛАРЫН ПРОПАРКИЛ ЕФИРЛӘРИНИН СИНТЕЗИ ВӘ ЧЕВРИЛМӘЛӘРИ

Мәғаләдә 3,4 диметилбромбензолун Гринյар реактиви илә пропаркил спиртинин хлор-метил вә хлор-етил ефиirlәrinин конденсасијасынан ксилил ва метилксилосилкарбинолларын пропаркил ефиirlәrinин эмәлә қалдији көстәрилмишdir. Соңra исә алымыш ароматик ефиirlәrdәki актив мәркәз олар етинил группуну иштиракы илә мухтәлиф үзүү синтезләр апарылмышдыр.

D. S. Japharov, A. G. Said Omar, U. B. Imashev, S. F. Karaev,
M. M. Guseinov

SYNTHESIS AND CONVERSION OF PROPARGYLIC ETHER XYLYL AND METHYLXYLYLCARBINOLS

Condensation of reagents Grignard from 3,4 dimethylbrom benen with propargyloxyalkylchlorides brings to the formation of individual propargylic ether xylyl and metylxylylcarinols. The obtained conversion of the latter with the help of the active centres of ethynyl groupil illustrates their possibility of application in organic synthesis.

УДК 541.183.5:546.791.73.56

НЕОРГАНИЧЕСКАЯ ХИМИЯ

А. Н. НУРИЕВ, Г. А. АКПЕРОВ, Р. М. МАМЕДОВ

РОЛЬ ЯВЛЕНИЯ НЕОБРАТИМОСТИ ПРИ ОДНОВРЕМЕННОЙ СОРБЦИИ УРАНА, КОБАЛЬТА И МЕДИ ИЗ КАРБОНАТ-СОДЕРЖАЩИХ РАСТВОРОВ ТИПА МОРСКОЙ ВОДЫ ГИДРОТИРОВАННЫМ ОКСИДОМ ТИТАНА (IV)

(Представлено академиком АН Азербайджанской ССР Т. Н. Шахтахтинским)

Вода океана — практически неисчерпаемый источник многих элементов, в частности, урана, меди и кобальта, содержание которых в океане оценивается $4,2 \cdot 10^9$, $4,1 \cdot 10^9$, $7,6 \cdot 10^7$ т, соответственно. Работа посвящена вопросу комплексного извлечения урана, меди, кобальта из морской воды и более подробному изучению механизма сорбции указанных элементов гидроксидным титан-цирконийсодержащим сорбентом.

Процесс сорбции урана, меди, кобальта проводили в лабораторных условиях в температурном интервале 20—65 °C из модельных растворов типа морской воды ($\text{pH } 7,85 \pm 0,05$) при исходных концентрациях урана $2,62 \cdot 10^{-5}$ — $8,40 \cdot 10^{-4}$, меди — $6,29 \cdot 10^{-5}$ и кобальта $6,79 \cdot 10^{-5}$ моль/л. Карбонатсодержащий (типа морской воды) раствор природного урана, меченного в целях аналитического контроля радионуклидом уран-233, приготавливали введением трикарбонатуранилата в натуральную морскую воду (Каспийское море) по методике [1], а растворы меди и кобальта приготавливали растворением в морской воде соответствующих количеств сульфата меди и хлорида кобальта. Эксперименты по сорбции проводили в статических условиях, в термостатируемых с помощью термостата *ut-1*, стеклянных ячейках, при постоянной скорости перемешивания. В качестве сорбента использовали титан-цирконийсодержащий гидроксидный сорбент с размером частиц $\sim 0,8$ — $1,0 \cdot 10^{-2}$ см. Концентрацию урана в растворах контролировали α -радиометрическим методом на приборе 2451-1-ИМ «Протока» и методом спектрофотометрии на приборе СФ-26 по реакции с арсеназо III [2], а концентрации кобальта и меди спектрофотометрически с помощью реагентов диэтилдитиокарбонат натрия и нитрозо-R-соль [3].

Для выявления стадийности сорбции урана, меди, кобальта на гидратированном оксиде титана (IV) после 8-часового процесса сорбции проводили 3 раза по 1 ч десорбцию свежей, натуральной морской водой. Такой цикл сорбция-десорбция (десорбция 3 раза по 1 ч) повторяли 5 раз.

Для описания кинетики сорбции урана применяли уравнение Ерофеева-Колмогорова [4], с использованием соотношения Соковича [5]

$$\alpha\tau = 1 - e^{-kt^n},$$

Кинетические и термодинамические параметры процесса сорбции урана, меди и кобальта гидроксидом титана

Элемент	Исходная конц. элемента в р-ре $C_{\text{р.о.}}$, моль/л	N цикла	Кинетические параметры			Термодинамические параметры		
			d , град $^{-1}$	ΔG^{\ddagger} , кДж·моль $^{-1}$	ΔH , кДж·моль $^{-1}$	ΔS , Дж·моль $^{-1}$ град $^{-1}$	$\Delta G^{\circ} 298,16$, кДж·моль $^{-1}$	
Уран	2,62 · 10 $^{-5}$	1	-5,30	830,61	20,00	38,07	203,8	-22,69
	"	2	-4,81	1114,02	21,12	45,54	222,5	-20,80
	"	3	-11,22	924,36	35,40	45,00	217,9	-19,98
	"	4	-10,17	582,10	30,00	37,77	193,1	-19,82
	"	5	-10,67	715,06	32,30	33,62	179,3	-19,85
Медь	8,4 · 10 $^{-4}$	1	-8,58	87,20	21,93	28,96	149,8	-15,70
	"	2	-9,51	252,90	25,60	27,16	141,4	-15,01
	"	3	-11,47	933,07	36,08	26,46	136,3	-14,17
	"	4	-10,17	542,80	29,64	25,45	132,6	-14,10
	"	5	-10,19	503,60	29,37	25,05	130,2	-13,80
Кобальт	6,29 · 10 $^{-5}$	1	0,264	2843	21,36	29,66	190,6	-27,17
	6,79 · 10 $^{-5}$	1	0,367	2647	22,74	42,43	210,9	-20,45

$K = n \cdot \kappa^{1/n}$

На основании экспериментальных зависимостей* константы скорости процесса сорбции от температуры, используя известное соотношение

$$K = Z \cdot e^{-\frac{E_{\text{АКТ.}}}{RT} \cdot \frac{\Delta S}{R}}, \quad (\ln K = C - d/T),$$

рассчитывали величину свободной энергии активации (ΔG^\ddagger). Как видно из представленных в таблице результатов, значения величины Δ и ΔG^\ddagger процесса сорбции урана увеличиваются как в случае первого раствора ($C_{p,0} = 2,62 \cdot 10^{-5} M$), так и в случае четвертого ($C_{p,0} = 8,4 \cdot 10^{-4} M$), достигая примерного постоянства в 3–5 циклах сорбции-десорбции. В этой связи параметр, по-видимому, можно отнести к свободной энергии активации хемосорбционной реакции. Рассчитанные на основании этих значений с помощью уравнения

$$\ln K = -\frac{\Delta G^\ddagger}{RT}$$

для первого и четвертого растворов при 25°C величины константы скорости ионообменной стадии реакции сорбции оказались равны соответственно $2,0 \cdot 10^{-6} \text{ с}^{-1}$ и $2,8 \cdot 10^{-6} \text{ с}^{-1}$. Эти значения существенно меньше полученных нами для первого цикла сорбции, равных $3,1 \cdot 10^{-4} \text{ с}^{-1}$ и $1,4 \cdot 10^{-4} \text{ с}^{-1}$, соответственно. При этом скорость хемосорбционной стадии сорбции уменьшается в ряду: $U > \text{Cu} > \text{Co}$ в соответствии с изменением величин $\Delta G_{298,16}^\ddagger$ (таблица).

При изучении термодинамики расчет величин энталпии и энтропии процесса сорбции урана, меди и кобальта на гидроксиде титана проводили на основании температурных зависимостей равновесного коэффициента распределения с помощью известного соотношения:

$$\ln K_d = \frac{\Delta S}{R} - \frac{\Delta H}{RT}$$

Как следует из приведенных результатов (таблица), значения энтропии и энталпии реакции сорбции урана монотонно линейно уменьшаются в зависимости от номера цикла. Уменьшается при этом и рассчитанная на их основе величина $\Delta G_{298,16}^0$ (рис. 1).

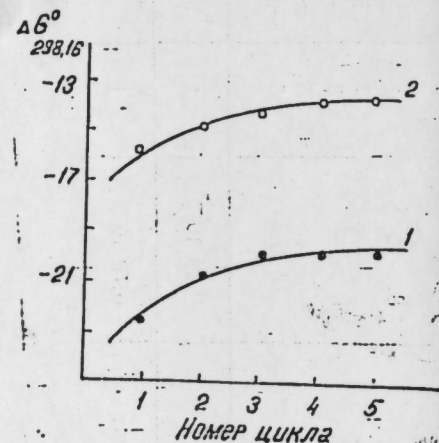


Рис. 1. Зависимости свободной энергии реакции сорбции урана от номера цикла: 1 — $2,62 \cdot 10^{-5}$; 2 — $8,4 \times 10^{-4} M$

* Математическую обработку экспериментальных данных проводили методом наименьших квадратов.

Уменьшение доли сорбированного урана, меди, кобальта (рис. 2, 3) и значения свободной энергии реакции сорбции от цикла к циклу (с 3 по 5 циклы практически не изменяются) указывают на то, что процесс сорбции исследуемых металлов в 3–5 циклах становится одностадийным и, вероят-

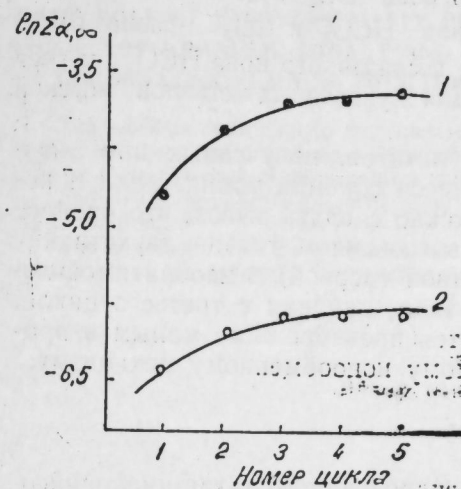


Рис. 2. Зависимости доли сорбированного урана от номера цикла при 20°C : 1 — $2,62 \cdot 10^{-5}$; 2 — $8,4 \cdot 10^{-4} M$

но, протекает по ионообменному механизму. Из полученных в 3–5 циклах величин $\Delta G_{298,16}^0$ можно рассчитать величины равновесного коэффициента распределения для обратимой ионообменной стадии сорбции ($K_{d,1}$) с помощью соотношения:

$$\ln K_d = -\frac{\Delta G_{298,16}^0}{RT}$$

При температуре 25°C для раствора с концентрацией урана ($C_{p,0} = 2,62 \cdot 10^{-5}$ моль/л) величина $K_{d,1} = 3,04 \cdot 10^3$, а для раствора с концентрацией

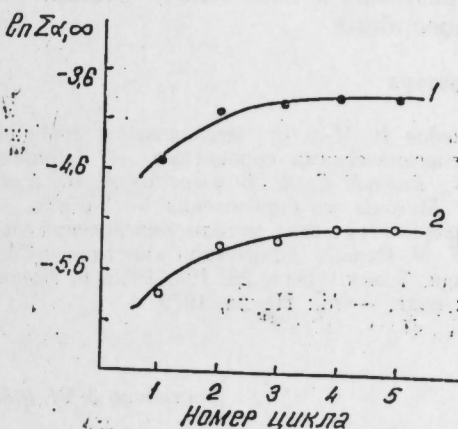


Рис. 2. Зависимости доли сорбированных меди (1) и кобальта (2) от номера цикла при 20°C

урана ($C_{p,0} = 8,4 \cdot 10^{-4}$ моль/л) $K_{d,1} = 2,86 \cdot 10^2$. Эти значения заметно меньше определенных нами в первых циклах и равны соответственно $9,44 \cdot 10^3$ и $5,63 \cdot 10^2$. В соответствии с изменением величин $\Delta G_{298,16}^0$ сорбции указанных элементов уменьшается в ряду: $\text{Cu} > \text{U} > \text{Co}$. Кроме того, были прове-

дены эксперименты по установлению влияния различных ионов (Na^+ , K^+ , Zi^+ , Mg^{2+} , Ca^{2+} , Fe^{2+} , Mn^{2+} , HCO_3^-) на десорбцию исследуемых металлов. Установлено, что в процессе десорбции никакие другие ионы, кроме иона HCO_3^- , не заменяют в сорбente уран, медь и кобальт. При этом 2 гэкв иона HCO_3^- соответствует 1 гэкв иона UO_2^{2+} , Co^{2+} и Cu^{2+} . Известно, что [6] в морской воде сумма ионов HCO_3^- и CO_3^{2-} равна 0,146 г/л, в которой 84% приходится на долю несвязанного иона HCO_3^- , за счет которого в основном и происходит десорбция указанных металлов морской водой.

Следовательно, на основании результатов, полученных при изучении кинетики и термодинамики процесса сорбции урана, меди и кобальта в циклах сорбция-десорбция, можно сделать вывод, что процесс сорбции этих металлов гидротированым оксидом титана двухстадийный и состоит из обратимой ионообменной (первой) и необратимой хемосорбционной (второй) стадии. При этом, начиная с третьего цикла, вклад второй стадии процесса становится пренебрежимо малым и процесс протекает в основном по обратимому ионообменному механизму.

Выводы.

1. Изучены сорбционные свойства гидроксидного титан-цирконийсодержащего сорбента, применительно к задаче совместного извлечения урана, кобальта и меди из растворов типа морской воды. На основании температурных зависимостей константы скорости реакции сорбции и коэффициентов распределения оценена энергетика процесса сорбции указанных металлов.

2. В соответствии с изменениями от цикла к циклу кинетических и термодинамических параметров сорбции руана, меди и кобальта в процессе проведения циклов сорбция-десорбция был сделан вывод о механизме сорбции указанных металлов гидротированым оксидом титана, состоящий из первоначальной обратимой ионообменной стадии и последующей необратимой стадии хемосорбции.

Литература

1. Масоедов Б. Ф., Новиков Ю. Т., Мамедов Р. М. и др. Исследование сорбции урана из карбонатсодержащих растворов неорганическими сорбентами. — Радиохимия, № 5, 1984, с. 597—600. 2. Марков В. К., Верный Е. А., Виноградов А. В., Елисон С. В., Клыгин А. Е., Моисеев И. В. Уран. Методы его определения. — 2-е изд. — М.: Атомиздат, 1964, с. 251. 3. Сендел Е. Колориметрические методы определения слепов металлов. — М.: Мир, 1964. 4. Еремин Е. Н. Основы химической кинетики. — М.: Высшая школа, 1976. 5. Соколович Г. В. Уч. зам. Томск. ун-та, 26, 103, 1955. 6. Попов Н. И., Федоров К. Н., Орлов В. М. Морская вода. — М.: Наука, 1979.

Институт неорганической и физической химии АН АзССР

Поступило 3. VI. 1988

Ә. Н. Нуриев, Һ. Ә. Экбэрөв, Р. М. Мәммәдов

ДӘНІЗ СУЈУ ТИПЛІ КАРБОНАТ МӘҮЛУЛЛАРЫНДАН УРАНЫН, ҚОБАЛТЫН
ВӘ МИСИН ҮНДРАТЛАШМЫШ ТИТАН ОКСИДИ (IV) ВАСИТЕСІЛӘ БИРКӘ
СОРБСИЯСЫНДА ДӘҢМӘМӘК ҚАДИСӘСІНИН РОЛУ

Мөгөлэдэ дэний сууидан уранын, мисни, кобалтны биркэ чыхарылмасы вэ бу металларын һидратлашмыг титан-сирконийн эсасында һазырланмыг сорбентлэ сорбција

механизмнин тәдгігі верилмешdir. Көстәрilmешdir ки, дәнис сујуидан уранла бир-лиқда мисин вә кобалтың да сорбсијасы мүмкүндүр. Мүэлжін едилмешdir ки, сорбсија механизми дөнәп (иондәжишмә) вә дөмәjән (кимjәви сорбсија) мәрһәләсіндән ибарәт-дир.

A. N. Nuriev, G. A. Akperov, R. M. Mamedov

THE ROLE OF IRREVERSIBILITY PHENOMENON AT SIMULTANEOUS SORPTION OF URANIUM, COBALT AND COPPER FROM SEA WATER TYPE CARBONATECONTAINING SOLUTIONS BY HYDRATED TITANIUM OXIDE (IV)

The work is dedicated to the question of complex extraction of uranium, cobalt and copper from sea water and more detailed study of sorption mechanism of the named metals by hydroxylic titanium-zirconium containing sorbent.

Showed the possibility of joint sorption from sea water of copper and cobalt along with uranium.

The conclusion has been made about the sorption mechanism of the named metals consisting of the reversible ion-exchange and irreversible chemisorption stages.

Н. И. КУЛИЕВА

УСЛОВИЯ ЗАЛЕГАНИЯ И ЗАКОНОМЕРНОСТИ
РАСПРОСТРАНЕНИЯ СКОПЛЕНИЙ БИТУМОВ В
АЗЕРБАЙДЖАНЕ

(Представлено академиком АН Азербайджанской ССР Ш. Ф. Мехтиевым)

Важнейшие, относительно хорошо изученные, скопления битумов на территории Азербайджана расположены в пределах Апшеронского, Шемахинско-Кобыстанского, Нижнекуринского, Прикаспийско-Кубинского нефтегазоносных районов и в междуречье Куры и Иори. Эти скопления в основном приурочены к отложениям продуктивной толщи, сарматского яруса, чокракского горизонта и майкопской свиты, являющиеся одновременно нефтегазоносными отложениями. Встречаются залежи битумов, приуроченные как к более молодым образованиям, вплоть до современных, так и более древним — эоценовым и меловым отложениям. Среди отмеченных битуминозных отложений особо следует выделить отложения сарматского яруса, с которым связаны наиболее богатые скопления битумов в районе междуречья Куры и Иори. Во всех нефтегазоносных районах республики наряду со скоплениями битумов встречаются залежи тяжелой высоковязкой нефти, приуроченные к тем же перечисленным нефтегазоносным отложениям. Многочисленные скопления битумов представлены выходами битумонефтенасыщенных пород на поверхности Земли. Однако в нефтегазоносных отложениях битумопроявлений в промышленных масштабах не отмечено. Среди упоминаемых отложений регионально битуминозными являются породы ПТ, сарматского яруса и майкопской свиты. С отложениями апшеронского яруса, чокракского горизонта и меловыми отложениями обычно связаны локальные битумопроявления.

Все известные скопления битумов Азербайджана представлены в жидкой, полужидкой, полутвердой и твердой консистенциях. Они, как правило, характеризуются высоким содержанием смол (10—60%) и асфальтенов (5—75%). Содержание серы в них не столь высоко — 2—4%, а в некоторых разновидностях и того меньше.

Изученные битумы относятся к мальтам, асфальтам, асфальтитам, яш-кирам и кирам. В некоторых месторождениях встречается гильсонит. Отмечены проявления и греелита. В связи с тем, что понятия мальтит, асфальт, асфальтит общеизвестны, на их определении мы останавливаться не будем. Термины же яш-кир и кир, применяющиеся издавна в Азербайджане и нашедшие также в последнее время применение в литературе по геологии битумов в других регионах страны, нуждаются в некотором разъяснении. Представления Ш. Ф. Мехтиева о терминах

кир и яш-кир изложены в одном из томов многотомного издания «Геология Азербайджана» [3]. Под термином кир следует понимать битуминозную породу темных оттенков, состоящую преимущественно из пропитанных битумом суглинков, содержащих битум от 2 до 30% и более. В отличие от кира яш-кир является вязкой текучей битуминозной породой, состоящей из битуминизированной песчано-глинистой массы буровато-черного цвета. При удалении воды яш-кир приобретает темноватый цвет и качество его повышается. От асфальта яш-кир отличается низкой температурой плавления.

Ш. Ф. Мехтиев выделяет также забитуминизированные пески, т. е. песчаные породы пропитанные битумом и являющиеся продуктом окисления нефти. Этот термин в определенной мере можно считать аналогом термина закированные пески. Следует также отметить, что на территории Азербайджана, в частности на Апшеронском полуострове, кроме обычных битумов встречаются альгариты, т. е. эластичные, местами полупрозрачные пластинки, внешне схожие с желатином и своим происхождением обязаны выделению углеводородных газов [1]. В некоторых скоплениях битумов, в частности в Киркишлакском и Ахтарман-Пашалинском месторождениях, встречаются битумы, близкие к гильсониту. Встречаются также высококарбонизированные разновидности битумов наподобие греелита. Такое образование известно в Энгихаранском месторождении, расположенном недалеко от Шемахи.

Кроме скоплений битумов и высокобитуминозных пород, все породы, развитые на территории Азербайджана, независимо от их генезиса и литофаunalных особенностей в тех или иных количествах содержат рассеянные битумы.

Наконец, выделяются пиробитуминозные (горючие) сланцы. В Азербайджане они известны в отложениях, начиная от сарматского яруса до меловых отложений включительно (нижний турон, альб) в пределах Шемахинско-Кобыстанского и Нижнекуринского нефтегазоносных районов. Крупные месторождения горючих сланцев известны в Шемахинском (у с. Диаллы) и в Кубинском районах (сарматский ярус). В Кобыстане пиробитуминозные сланцы известны в отложениях коунской свиты. Встречены они в разрезе сумагитской свиты (палеоцен) северо-западного Апшерона.

Все важнейшие битумопроявления связаны с терригенными (песчано-алевролитовыми) породами. Встречаются также битумопроявления и крупные скопления битумов в карбонатных породах, в отложениях сарматского яруса на территории западного Азербайджана, которые нередко прослеживаются на значительные расстояния (десятки километров). Так, в частности, в междуречье Куры и Иори в пределах Чатминского антиклиниория мощные пласти битуминозных песков и песчаников прослеживаются почти на 100 км. Известняки сарматского яруса характеризуются довольно стабильной битуминозностью. Характер битумонасыщения песчаных коллекторов и известняков находится в зависимости от конкретных условий. Песчаные пласти, как правило, характеризуются сплошным насыщением битумом. Встречаются и слабонасыщенные пласти. Карбонатные породы местами характеризуются сплошным насыщением, а местами насыщены в основном их трещины. Насыщенность различных отложений, развитых в Азербайджане, битумами, как правило, обуславливается фильтрационно-емкостными свойствами пород, слагающих эти отложения. Карбонатные коллекторы сарматского яруса характеризуются как сплошным насыщением, так и

насыщением их трещин. В пределах Южно-Каспийского битумо нефте газоносного бассейна скопления битумов преимущественно приурочены к разрывным нарушениям, связанны с системами дислокации, как спроведливо сказано об этом в работе [2]. По условиям залегания скопления битумов на территории Азербайджана в одних случаях схожи с залежами нефти, т. е. представлены такими же пластовыми и другими видами залежей как и нефть, в других — они проявляются в виде гнезд, линз, вкраплеников, натеков и покровов.

Большинство местоскоплений битумов, расположенные на территории Ашхеронского, Шемахино-Кобыстанского нефтегазоносных районов носят пластовый характер. Коллекторы, состоящие из песков и песчаников, заключены между мощными пластами глин и являются экранами (покрышками). Такие местоскопления битумов образуются в результате окисления нефти или гравитационной дифференциации ее и потери легких составных частей. Типичным многопластовым месторождением битума является Кирмакинское месторождение, и расположенное в районе одноименной долины, где обнажаются нефтеносные пластины нижнего отдела ПТ. Залежи битума, образовавшиеся здесь за счет окисления нефти, представляют собой часть нормальной пластово-сводовой залежи.

В пределах Кирмакинского месторождения битумов расположено большое количество колодцев, с которых добывалась тяжелая высоковязкая нефть, из последней образовались скопления высоковязких битумов (мальта, яш-кир, кир), достаточно устойчивых механическому воздействию и разрушению.

В ряде месторождений битумов Азербайджана наряду с пластовыми залежами встречаются также линзовидные. Это обычно небольшие по размерам линзы, состоящие из более пористых и проницаемых участков битуминозного пласта. Часто эти линзы оказываются со всех сторон окруженными водой. Подобные линзовидные залежи встречаются и в Кирмакинской долине.

Изучение строения скоплений битумов и залежей тяжелой нефти показывает, что сверху вниз по разрезу нефтегазоносных отложений, как правило, количество залежей уменьшается. Кроме того, количество битумов обычно сопоставимо с качеством нефти, из которой они образовались.

В пределах Ашхеронского полуострова известно 11 месторождений битумов: Бинагадинское, Кирмакинское, Дыгинское, Фатманское, Хурдаланское, Зигиль-Пиринское, Путинское, Бог-богинское, Кейрекинское, Гекмалинское и Шубанинское. В пяти из них битум представлен асфальтом, в двух — асфальтом и яш-киром, в двух — яш-киром и в двух — забитуминизированными песками. В Кирмакинском месторождении встречается асфальтит. В подавляющем большинстве это небольшие линзы и прожилки. Кроме этих, хорошо изученных месторождений, следует упомянуть еще об одном месторождении битума на о. Артема.

В Нижне-Куринском нефтегазоносном районе также известен ряд скоплений битумов. В частности, Ахтарма-Пашалинское месторождение характерно присутствием одновременно асфальтита, яш-кира, и гильз заполняющих трещины разрывных нарушений, на других — в виде больших покровов (площадью в 1 га и немногим больше).

Недалеко от этого месторождения расположено Каламадынское,

битумы которого в основном аналогичны битумам Ахтарма-Пашалинского (за исключением гильсонита, который здесь не обнаружен).

В этом же районе находится Кыррыхское месторождение, состоящее из закированных, или иначе говоря, забитуминизированных песков ПТ мощностью около 2 м, которые ниже переходят в яш-кир.

В Шемахино-Кобыстанском районе наиболее известными являются Киркишлакское, Клычское, Матрасинское, Энгехаранское, Чархансое и др. месторождения битумов. Условия залегания битумов в этих месторождениях аналогичны месторождениям Ашхеронского нефтегазоносного района. Здесь имеет место прежде всего пластовое залегание битумов, затем встречаются жилы и прожилки, гнезда и линзы, а также натеки и покровы.

Наиболее ценные в Кобыстане Киркишлакское месторождение содержит битум, приближающийся по составу к гильсониту. Он залегает здесь в основном в виде линз неправильной формы.

На территории Клычского месторождения, являющимся в общем пластовым, битумы залегают также в виде кирзовских покровов. Битуминозные пластины нижнего отдела ПТ здесь поставлены на голову и являются достаточно мощными (до 15 м).

В Энгехаранском месторождении битум сильно карбонизирован и по своей характеристике приближается к греелитам.

Имеется месторождение битума и в Прикаспийско-Кубинском районе. В частности, можно указать на Чандагарское месторождение, расположенное на одноименной площади. Это месторождение именуют также Сиазанским. Оно приурочено к Сиазанской моноклинали. Битумы на этой площади встречаются в виде прожилков, гнезд и вкраплеников в иловых глинах.

В районе междуречья Куры и Иори расположено крупнейшее месторождение битумов. Здесь на территории Чатминского антиклинария мощные пластины песчаников и известняков сарматского яруса являются битуминозными и прослеживаются на многие десятки километров, местами до 100 км.

Как видно из изложенного, на территории Азербайджана имеется значительное количество месторождений битумов. Кроме того имеются весьма солидные ресурсы тяжелой высоковязкой нефти, однако, к сожалению, они до сих пор не вовлечены в промышленную разработку.

Одной из важнейших задач по использованию альтернативных источников углеводородного сырья следует считать всестороннее изучение месторождений битумов и тяжелых высоковязких нефтей и определение путей их использования. Имеются все основания полагать, что наряду с получением нефтепродуктов, применяя низкопробный битум в дорожном строительстве, можно организовать добычу из месторождений битумов в Азербайджане и ряда малых химических элементов, столь необходимых для народного хозяйства.

Литература

1. Абрамович М. В. Естественные нефтегазопроявления в Азербайджане. В кн.: Геология Азербайджана месторождение нефти и газа. — Баку: Изд-во АН АзССР, 1954, с. 38—46.
2. Валеев Р. Н., Юдин Г. Т., Гисматуллин Р. М., Штепнольц В. П: Битумо нефтегазоносные бассейны. В кн. Геология битумов и битумомещающих пород. — М.: Наука, 1979, с. 3—14.
3. Мехтиев Ш. Ф. Битумы, битуминозные породы и торфы. В кн.: Геология Азербайджана. Нерудные полезные ископаемые. — Баку: Изд-во АН АзССР, 1957, с. 76—85.

Институт геологии

Поступило 14. IX 1988

Н. И. Гулијева

АЗӘРБАЙЧАНЫН БИТУМ ЖАТАГЛАРЫНЫН ВӘ БИТУМЛУ СУХУРЛАРЫНЫН
ЛАТЫМ ШӘРАЛТИ ВӘ ПАЙЛАНМА ГАНУНАУЈГУНЛУГЛАРЫ

Мәгәләдә Азәрбајҹан әразисинде јајылмыш битум жатаглары вә битумлу сухурларын тәдгигат иетиңеләри арашдырылыш, оиларын јајылмасында мүшәниде олунан ганунаујгунлуглар мүәյҗән едилемшидир.

N. I. Kulieva

MODE OF OCCURRENCE AND DISTRIBUTION RELATIONSHIPS OF THE
BITUMEN ACCUMULATIONS IN AZERBAIJAN

The results of bitumen and bituminous rock deposit studies at the Azerbaijan territory are analyzed and generalized in the paper. The author deals in considerable detail with the problems concerned with the mode of occurrence and distribution relationships of the bitumen deposits in a republic.

АЗӘРБАЙЧАН ССР ЕЛМЛӘР АКАДЕМИЯСЫНЫН МӘРҮЗӘЛӘРИ
ДОКЛАДЫ АКАДЕМИИ НАУК АЗЕРБАЙДЖАНСКОЙ ССР

ТОМ XLV ЧИЛД

№ 5

1989

МАГМАТИЗМ

УДК 551.263 (551.201)

А. Д. ИСМАИЛ-ЗАДЕ

ИНДИКАТОРНАЯ РОЛЬ КАЙНОЗОЙСКИХ ВУЛКАНИЧЕСКИХ
ФОРМАЦИЙ В ГЕОДИНАМИЧЕСКИХ РЕКОНСТРУКЦИЯХ
МАЛОГО КАВКАЗА

(Преоставлено академиком АН Азербайджанской ССР Э. Ш. Шихалибейли)

Альпийский этап тектоно-магматического развития Малого Кавказа рассматривается, исследователями в аспекте сложных геодинамических процессов, обусловленных эволюционным соотношением океанической коры Тетиса с континентальными окраинами древних литосферных плит Евразии (EA) и Афроаравии (AA). При этом, если юрско-меловой стадии характерно проявление рифтогенного (океанического) и островодужного вулканизма [1, 2], то для палеогеновой отмечается либо субдукционный режим [2], либо режим активных континентальных окраин [3], либо сложное сочетание континентального рифтогенного и окраинно-континентального режимов [4].

Проведенное нами геохимическое исследование выделяемых в центральной части Малого Кавказа кайнозойских вулканических формаций позволило выявить структурно-магматическую зональность в их размещении в пределах отмеченных окраин и эволюционное преобразование режима развития последних в поздней фазе коллизионного ($P_1 - P_3^1$) и ранней ($N_1 - N_2$), поздней ($N_2^3 - Q$) фазах постколлизионного периодов. Важнейшими элементами этой зональности является биполярность магматизма относительно зоны сопряжения континентов в кайнозое—Анкаван-Зангезурской зоне. Так, в палеогеновом периоде в вулканическом поясе по северному обрамлению AA континента (Еревано-Ордумбадская зона) наблюдается смена известково-щелочной серии дифференцированный базальт-андезит-дацитовой формации с толентовыми базальтами [4] островодужного (по K, Rb, Sr, ЛРЗ, отличные от базальтов океанов) на юг субщелочной серией [4]. По южному обрамлению EA континента (Севано—Акериинская зона) аналогично дифференцированная формация с более высокими содержаниями Rb, Ba, Sr и ЛРЗ в базальтах, соответствующая известково-щелочной серии повышенной сменяется к северу (Казахский прогиб) субщелочной трахиандезито-базальтовой серией.

В целом для палеогенового периода на обеих континентальных окраинах устанавливается формирование двух симметрично расположенных близких по составу и зональных по строению вулканических поясов, развивающихся в режиме субдукции, отвечающих режиму активных континентальных окраин (АКО) андийского типа.

В неогеновом периоде отмечаются два типа формаций: известково-щелочная андезит-дацит-риолитовая, развитая в палеогеновых прогибах обеих АКО, и субщелочные трахиандезит-трахириолитовая (P_3 —

N_1) и трахиандезит-фонолитовая ($N_1 - N_2$) [5], развитые в пределах Даралагезского поднятия ЕО зоны. Средние члены первой формации характеризуются повышенными значениями K, Rb, Ba, ЛРЗ, пониженными ТРЗ и Co, Ni, Cr и в целом, соответствуют остаточным выплавкам палеогеновых очагов, подвергненных дифференциации в коровых условиях. В субщелочных же формациях основные и средние дифференциаты по высокому содержанию K, Rb, Ba, Sr, ЛРЗ, Co, Ni, Cr и менее ТРЗ соответствуют субщелочным базальтам щелочно-базальтоидных формаций, отвечающих образованием рифтогенных зон, возникших в пределах активных окраин в результате смены знака напряжения. В СА зоне с данным периодом связана щелочная базальт-фонолитовая формация [6], отличающаяся последовательностью накопления K, Rb, Ba, Sr ЛРЗ и ТРЗ при понижении Co, Ni, Cr, связанная с периодом ослабления напряжений сжатия в конце коллизионного периода и поступлением глубинного щелочно-базальтоидного расплава в пределы консолидированной части коры [6].

В целом необходимо отметить, что на кайнозойском этапе обе континентальные окраины Малого Кавказа являлись активными и формировались в усложняющихся режимах от простой геодинамической обстановки АКО в палеогене до сложной, состоящей из совмещения геодинамических обстановок остаточных субдукционных процессов АКО и континентального рифтогенеза в неогене.

Граница между АКО в результате коллизии вырисовывается по Анкаван-Зангезурской геосутурной шовной зоне, относительно которой наблюдается биополярный вулканизм на обеих АКО и вдоль которой в антропогене отмечается вулканизм от щелочно-базальтового до известково-щелочного и субщелочного составов. Данную зону, очевидно, необходимо считать южной границей Закавказского массива.

Литература

1. Лордхипанидзе М. Б., Азмишвили Ш. А., Асанидзе З. Б. Эволюция активных окраин океана Тетис (на примере Кавказа). 27 МГК, т. 3, М., 1984, с. 72—84. 2. Зонношайч О. П., Сазостчя Л. А. и др. Кайнозойская тектоника платформы и геологическая история срединного отрезка Альпийско-Гималайского пояса.—М., 1979, с. 51—124. 3. Исмаил-Заде А. Д. Эволюция вулканизма Малого Кавказа в период столкновения и плит. «5th Meet. Eur. Geol. Soc. (MEGSS): Orogeny, Magmatism and Metallogeny Eur., Dubrovnik, 6—9 Oct., 1987. Abst.», р. 46. 4. Рустамов М. И. Новые данные об эволюции палеогенового магматизма Малого Кавказа. В сб. Эволюция магматизма главнейших структур Земли.—М., 1983, с. 87—88. 5. Остроумова А. С. Щелочные вулканические формации складчатых областей.—Л., 1967, 279 с. 6. Джербашян Р. Т., Мелексян Б. М. Геохимические и петрогенетические особенности щелочей вулканической серии Памбакского хребта. В кн. Магматизм и металлогенез Арм. ССР.—Ереван, 1979, с. 56—66.

*Институт геологии
АН АзССР*

Поступило 24.VII 1988

А. Ч. Исмаїл-задә

КИЧИК ГАФГАЗЫН КЕОДИННИМІК ДӘЛІШМӘЛӘРІНДЕ ҚАЙНАЗОУ ВУЛҚАНИК ФОРМАСИЈАЛАРЫНЫҢ КӨСТӘРІЧИ РОЛУ

Кичик Гафгазын каңазој вулканник формасијасынын петрологи-кеокимјөвн тәдѓигаты онунуң рекионун қеодинамикасында индикатор ролу ојнамасыны мүәїїзен етмидир.

Вулканизмін тәкамүлінүй континенталда актив, неокенде рифтокен-континентал вә антропокенде исә бу икі актив зоналарын ғовушдугу саңаға пикнишағы мүәжіл олғы-мушудур.

Айкаван-Зәңкәзүр тәмас зонасынын ишбәтән палеокен-неокен вулканизмин икигүтб-
лу олмасы тә'жін едилмишdir. Апарылмыш петрологи тәдгигатларын інтичеси көстә-
рир ки, Айкаван-Зәңкәзүр тиши зонасыны Загафгазијада аралыг массивинин сәрһәдди
кими гәбулу тәқлиф олуна биләр.

A. D. Ismail-Zade

THE INDICATOR ROLE OF CENOZOIC VOLCANIC FORMATIONS IN THE GEODYNAMICAL RECONSTRUCTIONS OF THE LESSER CAUCASUS

The indicators and their role in the geodynamic of the region have been revealed by the petrological-geochemical researches of Cenozoic volcanicity formations of the Lesser Caucasus. The volcanicity evolution from the active continental outskirts regime in paleogene to difficult riftogen and outskirts-continental combination in neogene and activation of conjugate zones in anthropocene has been determined.

The volcanicity bipolarity in paleogen-neogen, relatively Ankavan-Zangezur's structure zone has been revealed and the latest are supposed to consider the south outskirts of Transcaucasian massif.

УДК 582.581.46

СИСТЕМАТИКА РАСТЕНИЙ

С. Г. МУСАЕВ, Р. К. ДЖАВАДОВА

НОВОЕ МЕСТОНАХОЖДЕНИЕ ВИДОВ РОДА ЧИНА (*Lathyrus L.*)
ДЛЯ ФЛОРЫ АЗЕРБАЙДЖАНА

(Представлено академиком АН Азербайджанской ССР В. И. Ульянищевым)

При обработке гербарного материала, хранящегося в гербарии Института ботаники АН АзССР, и литературных данных нами восстановлены 2 вида для флоры Азербайджана и выявлены новые местонахождения 5 видов рода *Lathyrus L.*

1. *Lathyrus laxiflorus* (Desf.) O. Kuntze (-*Orobos laxiflorus* Desf.)
Ч. рыхлоцветковая.

Этот вид, по А. А. Гросгейму [1, 2, 3, 4], широко распространен в Талышской группе районов, южной части Малого Кавказа, Кура-Араксинской низменности и северо-восточной части Большого Кавказа (в пределах Азербайджанской ССР). Однако, при обработке флоры Азербайджана И. И. Карагиным [5, 6] по неясным причинам не были приняты и учтены данные А. А. Гросгейма.

2. *Lathyrus vernus* (L.) Bergpp. (-*Orobos vernus* L.)—Ч. весенняя.

Распространение данного вида указано А. А. Гросгеймом [1, 2, 3, 4] для Прикаспийской низменности (в частности в Дивичинском районе), но не учтено и не приведено по флоре Азербайджана.

На основании литературных данных виды *L. laxiflorus* и *L. vernus* восстановлены как новые для флоры Азербайджана.

3. *Lathyrus annuus* L.—Ч. однолетняя.

Данный вид во флоре Азербайджана широко распространен, но в Гобустане и в восточной части Большого Кавказа (в пределах Азербайджанской ССР) не приводится. Однако в гербариях (ВАК) имеются следующие экземпляры: Ахсунинский р-н, окр. г. Ахсу, IV 1932, А. Гросгейм; Шемахинский р-н, окр. г. Шемахи, 17. VI 1929, М. Сахокия; Кусарский р-н, ст. Кусарчай, на сухих залежах, 13. V 1935, Г. Гурвич и Р. Жукова; ст. Хачмас, вдоль водоканала Шоллар, в саду, 12. V 1938, С. Закарян.

4. *Lathyrus cicera* L.—Ч. красная.

Вид до сих пор не приводится для Кура-Араксинской низменности, но имеются сборы из нижеуказанных мест: Геокчайский р-н, окр. г. Геокчая, в залежах, 4. V 1936, А. Гросгейм; Агдашский р-н, пос. Ханабад, в ущельях р. Аджиганчай, 13. V 1940, А. Гросгейм; Боз-даг, по берегам Турнанчай, в ущельях, 3. V 1940, М. Шевяляков.

5. *Lathyrus hirsutus* L.—Ч. шершавая.

Во флоре Азербайджана [5] не приводится для Гобустана, но имеются сборы из следующих мест: Шемахинский р-н, на горе Лютер,

26. VII 1928, М. Сахокия; Апшерон, окр. пос. Алтыагадж, в лесу, 12. V 1928, М. Сахокия, между Шемахой и Ахсу, на сухих склонах, 2. VII 1936, Г. Гурвич, Шемахинский р-н, местечко Чухурюрд, в саду, 11. VIII 1936, Г. Гурвич, окр. сел. Дадагюнашли, на сухих склонах, 12. VII 1936, Г. Гурвич.

6. *Lathyrus sphaericus* Retz.—Ч. шаровидная.

Данный вид для флоры Кура-Араксинской низменности (окр. Геокчая и Агдаша) приводится впервые: Геокчайский р-н, между г. Геокчая и Агдаш, на галечниках, 7. V 1940, А. Гросгейм; окр. Геокчая на ирригационных почвах, 5. V 1936, А. Гросгейм.

7. *Lathyrus setifolius* L.—Ч. щетинистолистная.

Во флоре Азербайджана указано, что этот вид в 1936 г. собран В. И. Петровым в Карабахе (место сбора точно не указано). Однако в 1936 г. Рза-заде в южной части Малого Кавказа собрал материал этого вида Зангеланский р-н, окр. сел. Кечили, в саду, 8. VII Р. Рза-заде.

Восстанавливаются как новые виды для флоры Азербайджана *L. laxiflorus*, *L. vernus*, а виды *L. annuus* (Гоб., Диаб., БК куб.), *L. sphaericus* и *L. cicera* (Кура-Аракск. низм.), *L. tuberosus* (Гоб., Кура-Аракск. низм.), *L. setifolius* (МК южн.) приводятся для указанных регионов.

Литература

1. Гросгейм А. А. Род *Lathy:usl.* В кн. Флора Кавказа, т. 5.—Л.: Изд-во АН СССР, 1952, с. 400—408. 2. Гросгейм А. А. Род *Orobos L.* В кн.: Флора Кавказа, т. 5.—Л.: Изд-во АН СССР, 1952, с. 408—412. 3. Гросгейм А. А. Род *Lathyrusl.* В кн.: Определитель растений Кавказа. М.: Изд-во Советская наука, 1949, с. 159—161. 4. Гросгейм А. А. Род *Orobos L.* В кн.: Определитель растений Кавказа.—М.: Советская наука, 1949, с. 161—162. 5. Карагин И. И. Род *Lathyrus L.* В кн.: Флора Азербайджана, т. 5.—Баку: Изд-во АН АзССР, 1954, с. 513—528. 6. Карагин И. И. Род *Orobos L.* В кн.: Флора Азербайджана, т. 5.—Баку: Изд-во АН АзССР, 1954, с. 528—533.

Институт ботаники
АН АзССР

Поступило 12.VII 1988

С. Г. Мусаев, Р. К. Чавадова

LATHYRUS L. ЧИНСИ НӘВЛӘРИНИН АЗӘРБАЙЧАНДА ЈЕНИ
ЈАÝЛМА САҢӘЛӘРИ

Әдәбијаты ва Азәрбайҹан ССР ЕА Ботаника Институтунун һербарисинде сахланылган Құлұлча чинсисінә анык матерналлары өңрәнәркән Азәрбайҹан флорасы үчүн иккى нәв—*L. laxiflorus*, *L. vernus* ва республиканың бағыттаған башынан башынан бирнеше жаңы 5 нәвүн—*L. cicera*, *L. annuus*, *L. sphaericus*, *L. setifolius*, *L. tuberosus* және яңылма саңәләри мүәжжән едилмишdir.

S. G. Musaev, R. K. Javadova

NEW LOCATIONS OF SPECIES OF GENUS LATHYRUS L. IN AZERBAIJAN

Herbarium materials treatment reveals the new species for Azerbaijan flora (*Lathyrus laxiflorus*, *L. vernus*), and new locations of 5 species (*Lathyrus annuus*, *L. cicera*, *L. sphaericus*, *L. setifolius*, *L. tuberosus*) for several republic areas.

АЗЭРБАЙЧАН ССР ЕЛМЛЭР АКАДЕМИЯСЫНЫН МӘРҮЗӘЛӘРИ
ДОКЛАДЫ АКАДЕМИИ НАУК АЗЕРБАЙДЖАНСКОЙ ССР

ТӨМ XLV ЧИЛД

№ 5

1989

УДК 400

ФИЛОЛОГИЯ

Г. АБДУЛЛАБЕКОВА

САДЫК-БЕЙ АГАБЕК-ЗАДЕ — ГЕНЕРАЛ-ВОСТОКОВЕД

(Представлено академиком АН Азербайджанской ССР З. М. Буниятовым)

Азербайджанские ученые XIX в. Мирза Казем-бек, Мирза Джавар Топчибашев, Мирза Казембек Абединов, Мирза Абдулла Гаффаров и др. оставили неизгладимый след в истории науки востоковедения не только Азербайджана, но России и Западной Европы.

К этой плеяде ориенталистов следует добавить еще одного — доселе неизвестного нашей науке азербайджанского ученого Мамед Садык Исмайловича Агабек-заде [1]. Садык-бей родился в 1965 г. в Геокче Бакинской губернии. Он обучался в Бакинском реальном, затем в Константиновском пехотном училище, окончив которое в 1886 г. был принят на III курс Михайловского артиллерийского училища Петербурга. В этом же году, завершив полный курс обучения, он начал службу в чине подпоручика артиллерии на Кавказе. В 1896 г. сдав экзамены при окружном штабе в Тифлисе, был командирован в Петербург, где, успешно сдав конкурсные экзамены, был принят в Институт восточных языков для офицеров. В 1899 г. командирован в Туркестанский край, где продолжал военную службу до 1913 г. В том же году Агабек-заде Садык Исмайлович уходит в отставку в чине генерала. В 1914 г. в начале 1-й мировой войны был призван в армию, и по набору войск служил на Кавказе. По окончании войны жил в Геокче. В начале 1919 г. генерал Агабек-заде был вызван из Геокчая в Баку на должность министра внутренних дел Азербайджанской Республики. В 1920 г. Садык-бей выехал в Стамбул к своему двоюродному брату — Али-беку Гусейн-заде — проф. военно-медицинской комиссии. Садык-бей жил в Стамбуле около года.

Этот год был напряженным для Турции: шла война с Грецией и в такой обстановке найти подходящее место для работы было очень сложно. Обстоятельства складывались так, что необходимо было выехать во Францию. Здесь, в университете, Агабек-заде преподает турецкий и персидский языки, одновременно совершенствует свои знания французского языка.

В начале февраля 1927 г., по приглашению польского ученого-востоковеда, проф. Львовского университета Зигмунта Смогожевского Садык-бей Агабек-заде переходит во Львовский университет им. Яна Казимежа [2]. В сентябре 1939 г. этот университет был реорганизован, он стал называться Государственным украинским университетом им. Ивана Франко и был включен в советскую систему образования по июнь 1941 г.

В начале второй мировой войны Львов был захвачен фашистами.

ми, были расстреляны сотни профессоров, уничтожены духовные ценности университета. Однако в период немецкой оккупации проводилось тайное обучение на гуманитарном факультете под руководством Инглота, Куриловича и Ташицкого. Продолжались занятия и на восточном факультете, где активно и самоотверженно, несмотря на возраст, вместе со своими польскими коллегами читал лекции и азербайджанский ученый Садык-бей Агабек-заде.

Открытое обучение возобновилось только в 1944 г. после освобождения Львова. Позже, в 1945—1946 гг., польские профессора — преподаватели Львовского университета перешли в другой вуз — во Вроцлавский (Оссолинский — университет им. Б. Берута), продолжая развивать традиции, заложенные в Львовском университете. Агабек-заде остался преподавать в Львовском университете.

Садык-бей Агабек-заде преподавал в польском вузе пятнадцать лет: с февраля 1927 по 1943 гг. В феврале 1941 г. азербайджанский востоковед получил звание доцента на кафедре восточных языков университета.

Садык-бей был человеком с широким кругозором, знал турецкий, персидский, французский, польский, украинский, русский, туркменский языки.

За годы своей педагогической деятельности Садык-бей Агабек-заде в университете им. Яна Казимежа издал следующие труды: 1) в 1940 г. им был составлен и издан на русском языке «Учебник туркменского наречия». С приложением «Сборника туркменских пословиц и поговорок»; 2) в 1931 г. — «Учебник турецкого языка» на польском языке; 3) в 1932 г. — «Учебник персидского языка» на польском языке; 4) в 1934 г. — «Грамматика арабского языка» на польском языке.

Этот краткий перечень известных нам трудов азербайджанского ученого-востоковеда, изданных во Львове, сыгравших важную роль в развитии востоковедческой науки, могут пополнить дальнейшие тщательные и скрупулезные поиски, связанные с его биографией, научной и педагогической деятельностью. Садык-бей Агабек-заде подготовил не одно поколение польских востоковедов, среди которых нам известны имена — Теофилия Владарского, Ольги Вощак и Мариана Левицкого. М. Левицкий, в будущем выдающийся ученый проф. Варшавского университета, долгое время работал на кафедре народов Средней Азии.

Научная и педагогическая деятельность Садык-беля была хорошо известна широкому кругу польских и украинских ученых, они давали высокую оценку его трудам; среди них — Т. Ковалевский, Э. Служекевич, А. Зойончковский, А. Крымский и другие.

В 1943 г. 78-летний Садык-бей заболел мучительной болезнью. Он писал: «Эта болезнь истощила меня совершенно. Правая рука отчасти парализована. Не могу свободно писать, глаза ослабли до того, что даже при самых сильных очках разборчиво не вижу». Перед смертью Садык-бей составляет завещание: «Если братья не отыщутся (Садык-бек имел двух младших братьев — Хазрат-бека и Рагим-бека, а детей не имел. — Г. А.), то все оставляю М. Левицкому, чтобы распорядился как хочет».

Год смерти Садык-беля нам неизвестен, как неизвестны и другие эпизоды жизни и научной деятельности азербайджанского ученого-генерала. Вклад Садык-беля Агабек-заде в науку и польское востоковедение несомненен, как несомненен и его вклад в военную, общественную жизнь страны, одного из немногих, вошедших в славную когорту генералов своей Родины.

Выявленный нами в польских архивах материал, впервые представленный к печати, — красноречивое доказательство роли азербайджанских востоковедов в зарождении, утверждении польского востоковедения еще в XIX в. Вклад азербайджанских востоковедов не исчерпывается только научно-педагогической работой, он гораздо больше и значительнее. А значимость заключается в том, что деятельность азербайджанских ученых способствовала не только научному осмыслинию, анализу азербайджанской литературы, эта деятельность способствовала очень важному процессу обогащения польской литературы духовными богатствами азербайджанской культуры, той высокой оценке, которая была дана польскими востоковедами азербайджанской литературе. Эта деятельность азербайджанских ученых способствовала выполнению высокой и благородной миссии сближения двух культур, узнавания и взаимопонимания представителей двух народов и, в итоге их творческой и человеческой дружбы, истоки которой берут свое начало еще в XV в., развиваются и укрепляются в XIX в. и, наконец, утверждаются, набирают новые силы, наполняются новым социальным содержанием в социалистический период.

Выявление представителей славной азербайджанской интеллигенции, незаслуженно забытых и неизвестных, анализ их творческой и научной деятельности, является важной и благородной задачей современных исследователей.

Литература

I. Oddział Archiwum PAN w Krakowie. Spuścizna Mariana Lewickiego. K III—7 I, 107—108. 2. Uniwersytet Lwowski pt. k. Literatura Polska. t. II s. 524. Warszawa, 1985.

Институт литературы АН АзССР

Поступило 28. VII 1988

К. Абдуллаевова

ШӘРГШҮНАС — КЕНЕРАЛ САДЫХ БӘЈ АҒАБӘІЗӘДӘ

Азәрбајҹан шәргшүнаслыг елми тарихинде индијә кими ма’лум олмајан алимләрдән бири Садых бәј Исмајыл оғлу Ағабәізәда олмушдур. 1865-чи илдә Којчајда аиадан олмуш Садых бәј Петербургда артиллерија мәктәбини битирmiş, кенерал рүтбәсінә گәдер јүкәлмишиди. Онын шәргшүнаслыға, шәрг дилчилијине даир бир сырға әсәрләри вардыр. Полјак шәргшүнаслыг елминин инициаторы бәյүк хидмәтләри олмушдур.

G. Abdullaeva

SADIK-BEI AGABEIZADE—GENERAL ORIENTALIST

The article is based on the information about life and activities of general and literary man Sadik bei Agabeyzade. This information was gained by the author during his scientific trip to Poland. There is practically no evidence in Azerbaijan literary criticism about Sadik bei Agabeyzade and that is why the article presents much interest.

М. Т. ГАНБОВА

КРИТЕРИИ ВЫДЕЛЕНИЯ ВНУТРЕННЕГО МОНОЛОГА В ХУДОЖЕСТВЕННОМ ТЕКСТЕ

(Представлено академиком АН Азербайджанской ССР М. Ш. Ширалиевым)

Одной из единиц текста современной художественной литературы, уделяющей большое внимание описанию внутреннего мира персонажа, является внутренний монолог как некоторый относительно законченный отрезок текста, который составляет фрагмент конкретной коммуникации в структуре художественного текста.

При определении сущности внутреннего монолога непременно нужно учесть два важных обстоятельства: отрезок какого композиционного построения можно рассматривать как внутренний монолог и, с другой стороны, решить, является ли структурное оформление отрезков «чужой речи» решающим фактором для причисления отдельных отрезков текста к внутреннему монологу. Мы склонны причислять к внутреннему монологу такое композиционное изображение художественно-трансформированной внутренней речи, в котором план самого персонажа выступает сравнительно самостоятельно и все содержание внутреннего монолога представлено в речевых проявлениях, свойственных персонажу, а не в чередовании его плана с планом автора, временами пересказывающего и комментирующего речь персонажа.

Каковы же критерии выделения внутреннего монолога? При выделении внутреннего монолога следует учитывать комплекс критерий: смысловой, синтаксический, пракматический. При этом, как было указано, ведущим критерием выделения единицы структуры текста следует считать смысловой критерий.

Внутренний монолог предполагает взаимодействие его информационной и формальной структур. Независимость каждой из них относительная, их пронизывают разнонаправленные связи.

Информационная структура есть идеино-тематическое содержание внутреннего монолога, «сложное переплетение отношений и характеров, в основе которых лежит художественный образ» [1]. Микротема имеет непосредственное или опосредованное отношение к основной, центральной линии повествования художественного текста, представляя собой участок этой центральной линии и прямо продвигая повествование или является отступлением от главной темы, пояснением, рассуждением, воспоминанием персонажа, которые обогащают текст подробностями, но не являются строго необходимыми для его продвижения. Внутренний монолог обусловлен в каждом случае объемом и характером частного коммуникативного задания, открывается началом микротемы и кончается ее завершением.

Предложение, содержащее основную мысль внутреннего монолога, будем называть информативным центром, который чаще всего распо-

лагается в начале отрезка текста. При сохранении информативного центра возможно расширение микротемы за счет введения дополнительных фактов, более развернутого изложения или, наоборот, сжатие, конденсация.

Формальная структура — лингвистическая форма, в которую обличена информационная структура внутреннего монолога. Элементы формальной структуры: указатели границ внутреннего монолога, а также морфологическая, лексическая и синтаксическая организация отрезка текста.

Связь информационной и формальной структур внутреннего монолога отличается особенной близостью. Формальная структура неотделима от несущей ее информационной структуры, не может быть выражена другим аналогичным отрезком текста. Изменение языкового оформления влечет за собой изменение информационной структуры. Между формой и содержанием внутреннего монолога существуют сложные взаимоотношения. Выбор языковых средств предопределяется информационной структурой, но в то же время формальная структура также может актуализировать информационную структуру и воздействовать на нее.

Попытка выделить из текста внутренний монолог приводит к обнаружению формальных сигналов верхней и нижней границ монолога.

Нижняя граница внутреннего монолога и переход к иному типу изложения достаточно четко определяется специальными лексическими или грамматическими сигналами (*and this thought made him...; just then...; suddenly...; at this very moment...; at that moment... и т. д.*), которые отмечают возвращение из внутренней речи во внешний план.

Верхняя граница внутреннего монолога, т. е. переход от внешнего плана во внутреннюю речь в основном отмечается авторской сигнальной ремаркой, содержащей глаголы мыслительной деятельности (*he thought, he remembered, he said to himself* и т. д.). Отсутствие авторской вводящей ремарки создает незаметный переход от авторского повествования во внутренний монолог. Осознание читателем того, что он находится в стихии чужого внутреннего мира, приходит ретроспективно, уже в процессе его познания. Маркерами границы внутреннего монолога в данном случае выступают лексические элементы речи персонажа.

Сигналами границ внутреннего монолога являются языковые сигналы — грамматические и лексические, смена временной вехи, разрыв смысловой ткани повествования, которые свидетельствуют о повороте в развитии темы текста (переключение разных речеворческих актов, например, с описания на внутренний монолог, с внутреннего монолога на авторские рассуждения и т. д.).

Сигналы начала и конца внутреннего монолога менее очевидны, в одних случаях они бесспорны, в других — могут не иметь формального выражения, проявляясь лишь в семантической целостности отрезка текста, облекаемого в форму внутреннего монолога.

Итак, границы внутреннего монолога всегда семантичны, так как они охватывают относительно законченный отрезок текста, содержащий некую микротему, представляющую собой часть общей темы повествования. Однако семантические границы внутреннего монолога могут быть отмечены и в основном отмечаются грамматическими и лексическими «формальными» сигналами.

С точки зрения составных частей внутренний монолог — много-

компонентная единица. Она может состоять из одного или двух СФЕ, включающих ряд предложений, объединенных в смысловом и структурном планах. Число СФЕ, входящих во внутренний монолог, заранее не определяется и зависит от смыслового объема микротемы, количества включенных деталей, ассоциативных связей и т. д.

Таким образом, внутренний монолог, обладая определенной информационной структурой, обуславливающей его вхождение в художественный текст, обладает и особой формальной, языковой структурой, с внутренними языковыми скрепами и пограничными сигналами.

Для прономинальной системы внутреннего монолога характерным является прежде всего 3-е лицо ед. числа. Последнее наблюдается в тем случае, когда внутренний монолог изображается в форме несобственно-прямой речи (НПР). Д. Фаульзайт считает, что причина такой продуктивности формы 3-го лица связана с участием автора, который является своеобразным посредником между объектом изображения и читателем. Форма 3-го лица, как отмечает исследователь, предоставляет наиболее широкую пространственную перспективу и не так ограничивает автора в повествовании, как форма 1-го лица [2].

С прономинальной транспозицией сущность НПР связывает Д. Штефан. Вслед за Ш. Балли она понимает прономинальную транспозицию как превращение «думающего «я» в третье лицо» [3].

Типологизирующие тенденции формы 3-го лица проявляются во многих, однако не во всех случаях внутреннего монолога. Иногда более очевидны тенденции индивидуализирующие, особенно, когда 3-е лицо сочетается с эмоционально-экспрессивными лексическими элементами, используемыми в художественной прозе как средство языковой характеристики персонажей.

Внутренний монолог с формами 1-го лица употребляется в том случае, когда формой изображения является прямая речь. Появление во внутреннем монологе 1-го лица связано обычно со сменой повествовательных перспектив. В силу определенных причин, чаще всего психологического или же композиционного порядка, происходит своеобразное скольжение перспективы 3-го лица в перспективу 1-го лица.

Относительно художественно-эстетической значимости формы 1-го лица высказываются различные мнения. Резко отрицательное отношение к этой форме высказывает Н. Саррот. Критикуя поток литературы с повествованием от 1-го лица, Н. Саррот отмечает, что «я» выражает в такой литературе «все» и «ничего» и, по существу, является отражением самого автора, захватившего себе главную роль. Все другие персонажи, которые его окружают, лишаются, как полагает Н. Саррот, своего собственного существования и превращаются в «видение, грязь, намеки или возможности этого всесильного «я» [4]. Несколько иные замечания относительно формы 1-го лица высказывает Д. Фаульзайт. Ее эстетическую значимость он видит в возможности достичь непосредственности и известной драматизации изображаемых событий.

Форма 1-го лица, хотя и употребляется во внутреннем монологе, не может быть отнесена к числу его конститutивных признаков.

Э. Г. Ризель, Е. И. Шендельс, М. Дурцак и другие исследователи обратили внимание также на такой вид внутреннего монолога как фиктивный диалог [5].

Зафиксированная еще в исследованиях Т. Калепки форма 2-го лица характерна для аутодиалогов и фиктивных диалогов: персонаж в процессе такого диалога как бы раздваивается, выступает одновремен-

но в роли «я» и в роли собеседника. Иногда форма 2-го лица в структуре внутреннего монолога соотносится не со своим внутренним «я», а передает мысленное обращение к другому лицу, воображаемый разговор с ним. Создается впечатление особой интимности, устраниния временных и пространственных дистанций. В фиктивных диалогах персонаж как бы готовит себя к предстоящей беседе (которая может и не состояться). Такой воображаемый диалог свойственен процессу устной коммуникации. Его можно мысленно фиксировать, например, во время подготовки к выступлениям, предстоящим серьезным разговорам, встречам и в процессе непосредственной коммуникации.

Фиктивные воображаемые диалоги как вид внутреннего монолога особенно широко использует А. Силлитоу в романе «Ключ от двери». Главный герой произведения Брайан Ситон, будучи солдатом в джунглях Малайи, мысленно присутствует дома, разговаривает с матерью, с отцом, беседует с Полин и т. д. В мысленных ретроспекциях Брайана Ситона, в непрерывной временной транспозиции, в «звучании» воображаемых голосов, передаваемых посредством внутреннего монолога как в фокусе находит отражение прошлое и настоящее персонажа.

Так, морфологическая структура внутреннего монолога характеризуется наличием 3-го, 1-го и 2-го лица, во всех этих случаях структурно-семантическая соотнесенность внутреннего монолога с авторским повествованием может в равной степени представлять ту «сопереживаемость» содержания речи, выраженную явной или завуалированной диалогизацией субъективированного авторского повествования, которая соответствует понятию внутреннего монолога.

Литература

1. Туриева З. Я. Лингвистика текста.—М., 1989, с. 57.
2. Faul seit D. Die Darstellung der Figuren (speziell der Figurenteknik) in den beiden Romantrilogien Feuchtwangers.—Dis.—Leipzig, 1961, s. 5, 8.
3. Stephan D. Der innere Monolog in Hermann Brocks Roman «Der Tod des Vergills».—Dis.—Mainz, 1957, S. 22.
4. Sarraute N. Das Zeitalter des Mißtrauens.—In.: Akzente, 1958, № 1.
5. Durzać M. Der deutsche Roman der Gegenwart, Stuttgart—Berlin—Köln—Mainz, 1971, s. 200.

Азербайджанский педагогический институт
иностранных языков им. 50-летия СССР

Поступило 21. XII 1988

М. Т. Гаибова

БЭДИИ МЭТИДЭ ДАХИЛИ МОНОЛОГУН АШҚАРА ЧЫХАРЫЛМАСЫНЫН КРИТЕРИЯСЫ

Мэгэлэдэ бэдии мэтидэ мэ'на, синтаксик вэ pragmatik нэгтэйн-нээрлэрийн комплекс эсасында ажылан дахили монолог мэ'ярлары да шэр олунур.

Мэтидэн дахили монологун ажырламасы монологу ашафы вэ јухары сэргээдлэрийн формал сигналларынын ашкар едилмэснэ кэтириб чыхырь.

Дахили монологун мэ'на сэргээдлэри өсөсөн грамматик вэ лексик формал сигналларла ишаралэнир.

M. T. Gaibova

THE CRITERIA OF SINGLING OUT THE INTERNAL MONOLOGUE IN A BELLES-LETTRES STYLE

The article looks at the problems relating to the internal monologue in a belles-lettres style which is singled out by a group of criteria such as semantic, syntactic and pragmatic.

The semantic boundaries of the internal monologue is in the main, expressed by grammatical and lexical means. An attempt to single out the internal monologue leads to the revelation of formal signs of the upper as well as the lower limits of the monologue.

Н. М. ГУЛИЈЕВА

АИЛЭ ҮЗВЛЭРИНИН МЭДЭНИ ҺЭЈАТЫНА ТЭСИР КӨСТЭРЭН ВАСИТЭЛЭР*

(Азэрбајчан ССР ЕА академики Э. С. Сумбатзадэ тэгдим өтмийшидир)

Мэдэни һэјатын соморэли тэшклии Совет адамларынын елмиматериаллист дүнжакөрүшлэрийн формалашмасына, ичтиман-сијаси билклэрийн артмасына, онларын мэ'нэви иникишафына, коммунист эхлагы руундээ тэргүй олунмасына тэсир көстэрий. Бүхээд дээшилж үзүүлэхийн ичтиман кејфијэтлэрийн тэзэнүүрлэрийдэ тэчэссүм олнуур. Дэвдэлт вэ тасорууфат ишлэрийн идарэ олунмасында мусбэт рол ойнажыр. Сов. ИКП ХХVI гурултаына Сов.ИКП МК-нын сијаси мэ'рүзээндээ Сов. ИКП МК-нын Баш катиби М. С. Горбачов демшидир: «Биз чохмиллэти сосиалист мэдэнийжтиний наилийжлэлээр илэхаглы олраг фэхр единик» [1]. Азэрбајчаны этнографлары Г. А. Гејбуллајев, М. И. Атакишиева, В. И. Чырагзадэ, Ш. М. Саленовын эсэрлэрийдээ айла үзвлэрийн мэдэни һөялтлэрийн гисмэн дэ олса јер верилмишидир [2]. Лакин онларын эсэрлэри Азэрбајчаны дикээр рајонларына хэсрэг өдөрнийшидир. Гэрб зонасында исэ бу мэсээл өјрэнэйлмэшиг галмышдыр.

Етнографик сэфэрлэрийн итичэлэри көстэрий ки, назырда мадди вэ мэ'нэви мэдэнийжтэй иникишафы итичэснэдээ айла китабханалары, клуб, кинофильмлэр, дэврэ мөтбүат, радио, телевизор, магнитафон, мэншэт чиназлары, айла шэшилжлэлийн истирах, идман, кэзинти, һэјэтжаны сахэдэ биркэ иш вэ с. эсасыл васитэдир.

Үмумтэйсэн мэктэблэрийн шакирдлэрэл эсаслары өјрэдилмэклэ јанаши, мэ'нэви тэргүй дээшилж үзүүлэхийн плана чокишир. Мэктэбэдэ шакирдлэр елм вэ мэдэни мүнласын бэлэглэлийн эсасларын өјрэнээр, айлэдээ эсасы гојуулан мэ'нэви тэргүй мүүллэлмэл тээрэфиидэн мөнх-кэмлэндирлийр, иникишаф итирийлийр. Фикримизи В. И. Лениний «Совет һакимижтэй күтлэлэрийн шүүрлэлүүг илэхагчлудүр» сээлэрийн рэхжээр тутарлаг 1921-чи илдэ Н. Нэгжимановын дедижи: «Биз Азэрбајчандын элэхэзийжтэй яратмалыгын ки, Совет һакимижтэй сүнку илэхагчлудүр тутарлаг 1921-чи илдэ Азэрбајчандын шүүрлэлүүг илэхагчлудүр [3]. 1914—1915-чи иллээр Азэрбајчандын шүүрлэлүүг илэхагчлудүр, көрпэлэр өвлийн, идман, мэжданчалары да дахил олмагла чөмийг 7 мэктэбэгэдэр тарбија мүэссисэсийн [4], 25 китабхана, 18 мини нүхэх китаб [5], 73,1 мини нэхэр шакирднэг тэйсил алдьыгы 976 ибтидан вэ орта мэктэб [6], 1921-чи илдэ исэ чөмийг 90 клуб вар иди [7].

1920-чи ил сентябрьн 19-да Бакыда маариф вэ мэдэнийжтэй ишчилжэрийн биринчи Умумазэрбајчан гурултаы [8] гардаш Совет республикаларында олдуугу кими, Азэрбајчанда да маариф вэ мэдэнийжтэй очагларынын тэшклии едилмэсийн һаггында гарар гэбүл этий. Һэмин гарар тэдричэн һэјата кечирилди.

I-ЧИ ЧЭДВЭЛ

Районлар	Мэктэблэрийн сајы					Иштиракчылар				
	1955	1970	1973	1983	1985	1965	1970	1973	1983	1985
Газах	108	105	98	87	88	27009	33388	36308	21100	20100
Гасым Исмаильов	88	76	62	63	62	14981	17547	19197	12100	11200
Товуз	95	86	78	85	85	21495	29163	33362	23600	22700
Шамхор	108	88	92	78	79	26183	32134	35091	22100	19900

Маариф вэ мэдэнийжтэй иникишафынын итичэснэдээ тэдгиг өдөрнийшидээ рајонлар үзэрэ мэктэблэрийн вэ мэктэблэрийн сајы биринчи чэдэвэлдэ көстэрийн кими олмушидур [9].

* Азэрбајчаны Гэрб зонасы рајонларынын материаллары эсасында.

Іәммиң рајонлар үзэрә аилә үзвләринин мәдәни һәјатына билавасытә тә'сир көстәрән клуб, китабхана, киногургулар вә киносеансларын 1973 ва 1983-чү илләрә аид сајы иккинчи чәдвәлдә гејд едилир [10]. Мухтәлиф иxtисас сабибли аилә үзвләри пешәләринә уйғын олан бәдии китаплары китабханалардан алырлар. Китаплар онларышы һәјат тәччур-бәләринин зәникиләшмәсендә, бәдии-естетик зөвлөләринин инициятафына көмәк еди. Ев-дар гадынларын китапханалардан вахташыры истифадә етмәләре мұасир көнд аиләләринә хас олан хүсусијәттәр.

2-чи чэдэвэл

Мэдэний-маариф мүэссисэлэри

Районлар	Күнгөндөн	1973					1983				
		Китабхана		Ошо жынысында жарылган күндердеги минимум	Китабхана	Китабхана	Күнгөндөн	Китабхана	Күнгөндөн	Китабхана	Күнгөндөн
		каса	жарылган күндердеги минимум			каса		каса		жарылган күндердеги минимум	
Газах	63	67	580	33	710	83	87	726	34	828	
Гасым	33	66	311	25	259	51	85	454	23	432	
Исмаилов											
Товуз	47	62	319	35	658	70	93	535	36	641	
Шамхор	52	56	369	41	625	71	86	472	38	785	
	195	251	1656	134	2252	275	351	2187	121	2686	

Мұасир кәнд үзвләри мәдәни-маариф мұассисаләріндә мөвчүл олан емосионал ваниталарын тә'сир алтында даға да жеткілешір, фәрди исте'дад вә бачарыгларыны ну-мајиши етдирилрәр. Газах раionуында 980, Шамхор раionуында 116, Товуз раionуында 152, Гасым Исаимылов раionуында 160 бәндін өсфәалийәт колективләринин мунтәзәм оларға әндили гарышсында чыхышлары тәшкіл едилүр. Олар кәндін мәдәни вә сосиал инки-шафында хүсуси жер тутур, китап тәблизигини ан мүтәрәгги формаларында олан охучу конфранслары, әдәби-бәндін ахшамлар, тематик кечеләр, театрлашдырылмыш тамашалар, әмәк габагчылары илә көрүшләр кечирилүр. Клуб мұассисаләрін васитасылә әналини мұхталиф групplары арасында кеңирилән мәдәни-күтләви тәдбиrlәрдә јени сосиал-лист адәт вә эң іштәләринин тәблизигинә дингәт артырылып.

Азәрбайҹанын гәрәп рајонлары кәндләриндә мұхталиф мөвзуларда киноларын көстәрілмәсі айнә үзвләриниң мәдәни сәвијјәсисин жүксәлдилмәсисидә, кәнчى иеслин вәтәншәр-вәрлик тәрбијасинда, һәм дә кечимиш вә мусасир нақисаләрini инициаф динамикасының ажаны сурәтдә өјәрәнилмәсисинде мүнгүм рол ојнајыр. 1983-чу илдә киносеансларда Газах рајону уәзә 828000 нафәр, Товуз рајону уәзә 572000 нафәр, Гасым Исмаїлов рајону уәзә 432000 нафәр, Шамхор рајону уәзә 78500 нафәр.

Күнделек дөврү мәтбұатдан вә күтгәлви информасия васитәләріндегі истифада едилмәсін көнд айләләрнин чөмінде зияд һадиселәре гарши мұстәғіл фикир жүргутмәләрнен, ишмәнда мәшгүл олмалары, наряд вә дамадан истифада етмәләрі исә мәненін чөннөткендегі зәңкниләшмәләрнің зәмни жарадыр.

Умумијјэтлә, мусык қаналларин мәдәни јүксәлиши күтләләрин коммунист тәрбијә-
синин даһа јүксәк сөвијјәе чаттырылмасының һәјати зәрурәтә чевирир. Игтисади, социал
ва мәдәни мунасибәтләрин инициишафы натиҷасында кәнд айләләринин мадди күзэрәнү
жахшылашыр, мәдәни сөвијјәси дайма јүксәлир.

Истифадэ олунаи әдәбијатларын сијаңысы

1. Горбачов М. С., Сов.ИКП XXVII гурултајына Сов.ИКП МК-нын сијаси мә'рүзәси.—Бакы, 1986, сәх. 73. 2 Гейбуллаев Г. А. Дис.. кан. исторических наук. Н. А. А. Н. Азерб. ССР, 1958, д. № 2843. Чырагзаде В. А. Автореф. дисс. канд. исторических наук.—Тбилиси, 1979; 3. Газета «Бакинский рабочий», № 227, 5 октября 1921; Гудрэдашлыгы.—Бакы, 1973, сәх. 231. 4. «Азэрбајҹан коммунист» журналы, № 10, 1967-чи ил, сәх. 49. 5. Азербайджан в цифрах. Краткий стат. сборник.—Баку, Азерневш, 1964. 6. Там же стр. 189. 7. Народное хозяйство Азербайджанской ССР в 1962 г. (статистика)

ческий сборник).—Госстатиздат, Азербайджанское отделение.—Баку, 1963, стр. 185, 190, 8. «Коммунист» газеты (рус. языком), 21 октября 1920-го ил. 9. Народное хозяйство Азербайджанской ССР в 1970 г. (статистический ежегодник).—Баку, 19072, стр. 378. Народное хозяйство Азербайджанской ССР в 1983 г. (статистический ежегодник).—Баку, Азернешр 1984, стр. 174; Народное хозяйство Азербайджанской ССР в 1983 г. (статистический ежегодник).—Баку, 1974, стр. 322; Народное хозяйство Азербайджанской ССР в 1985 году (статистический ежегодник).—Баку, Азернешр 1986, стр. 218. 10. Народное хозяйство Азербайджанской ССР в 1973 г. (статистический ежегодник).—Баку, 1974, стр. 340, 338; Народное хозяйство Азербайджанской ССР в 1983 г. (статистический ежегодник).—Баку, Азернешр 1984, стр. 190, 194. 11. 1983-чу илин 12 аяныда кино-театр вә киногургуларда истисмар узәр дөвләт плаинларының јеринә жетирилмәси нағылдан мәлумат. Форма ИП-1 (Газах, Товуз, Гасым Исмаилов вә Шамхор раionлары узәре).

Азәрб. ССР ЕА Тарих Институту
Археологија вə Етнографија сектору

Алынмышдыр 12. IX 1988

Н. М. Кулиева

КУЛЬТУРНАЯ ЖИЗНЬ СЕЛЬСКИХ СЕМЕЙ

Статья написана на основе этнографических материалов западной зоны Азербайджана. В ней отражена культурная жизнь сельских семей. С развитием материальной и духовной культуры в жизни современных сельских семей наряду со школой, сельской и семейной библиотекой, театром, художественно самодеятельным коллективом, периодической печатью, средствами массовых информаций, большую роль играют также семейные торжества, отдых, спорт и культивации.

N. M. Gulieva

THE CULTURAL LIFE OF THE RURAL FAMILIES

This article was written on the base of the ethnographical materials of the Western zone of Azerbaijan. The cultural life is reflected in the article. The family and village libraries, clubs, the activity of the collectives of amateur artistic work the periodical press, the mass information means, at the same time cultural work among the masses, family celebrations good rest, sport and cultural excursions play a rational role in the development of the material and intellectual life of modern rural families.

МҮНДӘРІЧАТ

Ријазијат

<i>Б. А. Искендеров, Л. Ф. Мустафаева.</i> Петровскија көрә коррект тәсілдік үчүн лимит амплитуду принциби	3
<i>А. А. Салимов.</i> Татибаң үмумләшмиш оператору вә онун хассалары	8
Жарымкечиричиләр физикасы	
<i>С. Г. Ибраһимов, Г. Ч. Султанов, Н. Г. Һусейнов, А. С. Шукюров.</i> Спинелләрии $\text{CoGa}_{1-x}\text{Fe}_{0,4}\text{O}_4$ и $\text{CoGa}_{1,4}\text{Fe}_0\text{O}_4$ металлографик вә рентгенструктур анализи	12
<i>Г. Э. Галандаров, Р. Б. Рустамов, Ф. Э. Фәрәзов, А. Н. Һәсәнов, Т. Н. Элиев.</i> $\text{PbSe}_{1-x}\text{Te}_x$ бәрк мәндулунда кечиричиләрни мәхсуси концентрациясы	16
Бәрк чисимләр физикасы	
<i>Ф. М. Ғашымзадә, Д. Э. Һусейнова, А. М. Элиев, А. М. Гулубәјов.</i> Орторомбик SnSe кристалында јүк сыйхылы	19
<i>Т. Н. Дильтазов, Н. Ф. Мирзаева.</i> Дисперсијасы артырылыш оптик системе	24
Полимерләр физикасы	
<i>Р. М. Элигулиев, Д. М. Хитеева, В. А. Оганян, Р. А. Нуриев.</i> Шүшәләшмәде дисипатив гурулушун өзүнү тәшкилеттә мәсәләси һағында	28
Ұзви кимја	
<i>Н. Ф. Чәнибәјов, С. Р. Рафијева, М. Х. Мәмәдов, Л. Д. Пөлемешук, Е. И. Маркова.</i> Дифференциал термик анализ методу илә икили эвэз олуимуш дитиофосфаттарын полипропилене стабиллаштиричи хассаларинин тәдгиги	33
<i>Ч. С. Җәфәров, Э. Г. Саид Өмәр, У. Б. Имашов, С. Ф. Гараев, М. М. Һүсейнова.</i> Кениләр вә метилксилилкарбонолларын пропаркил ефиirlәринин синтези вә چөврilmәләри	39
Гејри-ұзви кимја	
<i>Ә. Н. Нуриев, Ә. Ә. Әкәрәв, Р. М. Мәмәдов.</i> Дәңиз сују типли карбонат мәндулларында уранын, кобальтын вә мисин нидратлашмыши титан оксиди (IV) васитәсилә биркә сорбцијасында дәймәмәк һадисәсинин ролу	44
Нефт қеолокијасы	
<i>Н. Н. Гулијева.</i> Азәрбајҹан битум јатагларынын вә битумлу сүхурларынын затым шәрәнти вә пајланма гапуна уйғынлуглары	50
Магматизм	
<i>А. Ч. Исмаїл-задә.</i> Кичик Гафгазын қеодинамик дәјишимәләриндә кајназој вулканик формасијаларынын көстәрничи ролу	55
Битки систематикасы	
<i>С. Н. Мусаев, Р. К. Чавадова.</i> <i>Lathyrus L.</i> чинеи нөвләринин Азәрбајҹанда жени јајылма саһәләри	58
Филология	
<i>К. Абдуллабәјова.</i> Шәргшүнас—кенерал Садых бәј Агабәјзадә	60
Дилчилик	
<i>М. Т. Гајыбова.</i> Бәдии мәтидә дахили монологун ашкара чыхарылмасынын критеријасы	63
<i>Н. М. Гулијева.</i> Айлә үзвәрлини мәдәни һәјатына тә'сир көстәрән васитәләр	67
70	67

СОДЕРЖАНИЕ

Математика

<i>Б. А. Искендеров, Л. Ф. Мустафаева.</i> Принцип предельной амплитуды для корректных по и И. Г. Петровскому, уравнений	3
<i>А. А. Салимов</i> «Обобщенный оператор титаны и его свойства»	8

Физика полупроводников

<i>С. Г. Ибраһимов, Г. Д. Султанов, Н. Г. Һусейнов, А. С. Шукюров.</i> Металлографический и рентгеновский анализ кобалтгаллиевых шпинелей $\text{CoGa}_{1-x}\text{Fe}_{1,1}\text{O}_4$ и $\text{CoGa}_{1,4}\text{Fe}_{0,6}\text{O}_4$	12
---	----

<i>Г. А. Галандаров, Р. Б. Рустамов, Ф. Э. Фараджев, А. Г. Гасанов, Т. Н. Алиев.</i> Собственная концентрация носителей заряда в твердых растворах	16
--	----

Физика твердого тела

<i>Ф. М. Ғашымзадә, Д. А. Һусейнова, А. М. Алиев, А. М. Кулибеков.</i> Зарядная плотность в орторомбическом SnSe	19
---	----

<i>Т. Н. Дильтазов, Н. Ф. Мирзаева.</i> Оптическая система с повышенной дисперсией	24
--	----

Физика полимеров

<i>Р. М. Алигулиев, Д. М. Хитеева, В. А. Оганян, Р. А. Нуриев.</i> К вопросу о самоорганизации дисипативных структур при стекловании	28
--	----

Органическая химия

<i>Н. Ф. Джанибеков, С. Р. Рафиева, М. Х. Мамедов, Л. Д. Пашелюк, Е. И. Маркова.</i> Исследование стабилизирующих свойств дизамещенных дитиофосфатов на полипропилене методом дифференциального термического анализа	33
--	----

<i>Д. С. Җафаров, А. Г. Саид Өмар, У. Б. Имашев, С. Ф. Гараев, М. М. Һүсейнова.</i> Синтез и превращения проптиловых эфиров кенил-и метилксилилкарбонолов	39
---	----

Неорганическая химия

<i>А. Н. Нуриев, Г. А. Акперов, Р. М. Мамедов.</i> Роль явления необратимости при одновременной сорбции урана, кобальта и меди из карбонат-содержащих растворов типа морской воды гидротированым оксидом титана (IV)	44
--	----

Геология нефти

<i>Н. Н. Кулиева.</i> Условия залегания и закономерности распространения скоплений битумов в Азербайджане	50
---	----

Магматизм

<i>А. Д. Исмаил-задә.</i> Индикаторная роль кайнозойских вулканических формаций в геодинамических реконструкциях малого Кавказа	55
---	----

Систематика растений

<i>С. Г. Мусаев, Р. К. Джавадова.</i> Новое местонахождение видов рода чина (<i>Lathyrus L.</i>) для флоры Азербайджана	58
---	----

Филология

<i>Г. Абдуллабекова.</i> Садык-бей Агабек-заде-генерал востоковед	60
---	----

Языкоизнание

<i>М. Т. Гајыбова.</i> Критерии выделения внутреннего монолога в художественном тексте	63
<i>Н. М. Кулиева.</i> Культурная жизнь сельских семей	67

9. Текст статьи печатается на белой бумаге через два интервала на одной стороне листа стандартного размера, с полями с левой стороны (не более 28 строк на одной странице по 58—60 знаков в строке). В тексте нельзя делать рукописные вставки и вклейки.

Статьи, напечатанные на портативной машинке, не принимаются.

10. Текст статьи должен быть изложен кратко, тщательно отредактирован и подписан авторами в печать. В математических статьях желательно избегать доказательств теорем, лемм и т. п. При использовании в тексте сокращенных названий (кроме общепринятых) необходимо давать их расшифровку.

11. Математические и химические формулы и символы в тексте должны быть вписаны четко. Следует избегать громоздких обозначений, применения, например, дробные показатели степени вместо радикалов, а также \exp . Занумерованные формулы обязательно включаются в красную строку, номер формулы ставится у правого края страницы. Желательно нумеровать лишь те формулы, на которые имеются ссылки. Подстрочные и надстрочные индексы и степени следует отмечать карандашом, дугами сверху и снизу:

$$R^n r_n$$

Греческие буквы нужно обводить (в кружок) красным карандашом. Буквы готического шрифта и рукописные в рукописях не использовать, векторные величины — подчеркивать черным, буквы латинского рукописного шрифта следует отметить на полях (например, Н рукоп.).

Во избежание ошибок следует четко обозначать прописные (заглавные) и строчные буквы латинского алфавита, имеющие сходное начертание (Ca; Kk; Pp; Oo; Ss; Uu; Vv; и т. д.), буквы I(i) и J(j) букву I и римскую единицу I, а также арабскую цифру I и римскую I', (вертикальная черта), I и штрих в индексах, I (латинское эль) и e. Прописные буквы подчеркивают карандашом двумя черточками снизу (С), а строчные — сверху (с).

Следует избегать знаков типа ~ (волна), \odot , \oplus , \otimes ; \square , \exists , \diamond \vee \wedge

(крышки) над и под буквами, а также знаков:

$$\hbar \mathbf{X} \mathbf{\epsilon}, \mathbf{\phi} \dot{\phi}, \ddot{\phi}, \mathbf{\delta}$$

Латинские названия вписываются на машинке.

Слова «теорема», «лемма», «следствие», «определение», «замечание» и т. п. следует подчеркивать штриховой чертой, а текст утверждений типа теорем—волнистой чертой (исключая математические символы).

При выборе единиц измерения рекомендуется придерживаться международной системы единиц СИ.

12. При описании методики исследования следует ограничиваться оригинальной ее частью. При элементном анализе приводить только усредненные данные.

13. Необходимо тщательно проверить написание местных географических названий.

14. Цитированная литература проводится общим списком на отдельной странице: ссылки в тексте даются порядковым номером в круглых скобках над строкой (например, 1). Список литературы оформляется следующим образом:

для книг: инициалы и фамилии авторов, полное название книги, место и год издания;

для журнальных статей: инициалы и фамилии авторов, название журнала, номер тома, номер выпуска, страница и год издания.

Ссылки на неопубликованные работы не допускаются.

15. Все статьи должны иметь резюме на английском языке, кроме того, статьи, написанные на русском и азербайджанском языках, должны иметь резюме на азербайджанском и на русском соответственно.

Публикация статьи в «Докладах» не препятствует напечатанию расширенного ее варианта в другом периодическом издании.

Сдано в набор 5.05.89. Подписано к печати 07.12.89. ФГ 11333. Формат 70×100¹/16. Бумага типографская № 1. Гарнитура шрифта литературная. Печать высокая. Усл. печ. лист 5,85. Усл. кр.-отт. 5,85. Уч.-изд. лист 5,4. Тираж 550. Заказ 445. Цена 70 коп.

Издательство «Элм».
370143 Баку-143, проспект Нариманова, 31 Академгородок, Главное здание
Типография «Красный Восток» Государственного комитета
Азербайджанской ССР по печати.
Баку, ул. Ази Асланова, 80.

70 гэп.
коп.

Индекс
76355